

50376
1978
196

50376
1978
196



THÈSE

présentée à

l'Université des Sciences et Techniques de Lille I

en vue de l'obtention du titre de

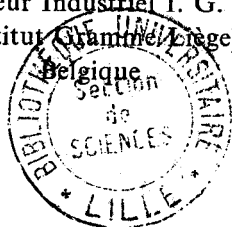
Docteur de l'Université

par

Victor BERWAERTS

Ingénieur Civil U. I. Lv
(Katholieke Universiteit Leuven)
Belgique

Ingénieur Industriel I. G. Lg
(Institut Chimique Liège)



Optimisation Heuristique du cycle de travail d'une perceuse à commande numérique

1978
Soutenue le 30 novembre devant la Commission d'Examen

MM P. VIDAL

Président et rapporteur

L. POVY
R. SOENEN

Examineurs

R. BOLLEN
T. PEETERS

Invités

AVANT - PROPOS

Nous sommes particulièrement sensible à l'honneur que nous fait Monsieur le Professeur Pierre VIDAL , en acceptant la présidence de notre Jury de Thèse.

Qu'il trouve ici l'expression de toute notre gratitude.

Nous sommes également très reconnaissant à Messieurs les membres du Jury , d'avoir bien voulu siéger à cette commission d'examen. Nous les remercions vivement.

Nous exprimons aussi notre reconnaissance à toutes les personnes qui nous ont prêté leur concours.

SOMMAIRE

INTRODUCTION GENERALE.	4
<u>CHAPITRE I : APERCU SOMMAIRE DES METHODES UTILISEES POUR RESOUDRE LE PROBLEME DU VOYAGEUR DE COMMERCE.</u>	
1.1 METHODES UTILISANT DES CORRECTIONS DE L'ITINERAIRE INITIAL.	7
1.2 METHODES UTILISANT DES CONSTRUCTIONS SEQUENTIELLES DE L'ITINERAIRE.	
1.2.1 Principe de la méthode.	8
1.2.2 Méthode de Séparation et Evaluation Progressive S.E.P (Réf.12)	
1.2.2.1 Principe.	9
1.2.2.2 Description de l'algorithme de Little (Réf. 20) . ..	10
1.3 METHODES ENUMERATIVES.	13
1.4 METHODES UTILISANT L'ELIMINATION DE TOURS ELEMENTAIRES.	13
<u>CHAPITRE II : PRESENTATION DE L'ALGORITHME HEURISTIQUE.</u>	
2.1 GENERALITES.	15
2.2 INTRODUCTION PRELIMINAIRE.	16
2.3 PRINCIPE DE L'ALGORITHME HEURISTIQUE.	18
2.4 FORMALISATION MATHEMATIQUE DE L'ALGORITHME HEURISTIQUE.	19
2.5 ORGANIGRAMME SIMPLIFIE OU L'ALGORITHME.	21
2.6 EVALUATION DU TEMPS DE CALCUL NECESSAIRE POUR OBTENIR L'ITINERAIRE.	22
<u>CHAPITRE III : ESSAIS ET RESULTATS.</u>	
3.1 ESSAIS PRELIMINAIRES.	
3.1.1 Commentaires.	24
3.1.2 Résultats.	26
3.2 ESSAIS INDUSTRIELS.	
3.2.1 Commentaires.	48
3.2.1 Résultats.	50
CONCLUSION GENERALE.	63
<u>ANNEXES.</u>	
Annexe A1 : Organigramme détaillé de l'algorithme de Little.	65
Annexe A2 : Programme en basic.	72
Annexe B1 : Organigramme détaillé de l'heuristique réduit.	83
Annexe B2 : Programme en basic.	90
REFERENCES.	94

INTRODUCTION GÉNÉRALE

Le perçage des trous dans les plaquettes à circuits imprimés est une opération relativement longue et coûteuse car le nombre de trous à percer peut atteindre 1500 à 2000 unités/plaquette .

L'utilisation optimale d'une perceuse à commande numérique nécessite de connaître l'itinéraire optimal reliant tous les points à percer de façon à minimaliser la durée de travail. En plus, les plaquettes étant généralement fabriquées en série, il est utile et commode que la broche de la perceuse se trouve au début et à la fin d'un cycle de perçage à l'origine du système d'axes.

Le problème consiste à trouver un certain itinéraire Γ^* , partant du point d'origine fixe et reliant tous les autres points, tel que le coût (durée) de sa réalisation soit minimal. Dans la littérature un problème analogue est connu sous le nom de "Travelling Salesman Problem" et peut s'énoncer, par exemple de la façon suivante :

Trouver l'itinéraire le moins coûteux pour un voyageur de commerce qui partant d'une ville donnée, doit visiter chacune des villes d'une certaine région, puis retourner à son point de départ.

D'une façon générale le "coût" pour aller d'un point p_j à un point p_j (noté $c_{jj} \geq 0$) n'est pas nécessairement le même que celui du parcours inverse :

$$\vec{p}_j p_j \quad (\bar{c}_{jj} \geq 0)$$

Mathématiquement le problème posé peut être défini par une matrice des coûts :

$$[\bar{c}] = \{\bar{c}_{ij}\}$$

Chaque élément \bar{c}_{ij} représente le coût (durée) nécessaire au système de translation de la machine pour effectuer le déplacement (p_i, p_j) . En introduisant une variable bivalente telle que :

$$\begin{aligned} x_{ij} &= 1 && \text{si l'arc } p_i, p_j \text{ existe} && V_{i,j} = 1, 2, \dots, N \\ x_{ij} &= 0 && \text{si l'arc } p_i, p_j \text{ n'existe pas} && V_{i,j} = 1, 2, \dots, N \end{aligned}$$

le problème se résout théoriquement en réalisant le programme suivant :

$$\begin{aligned} [\text{Min}] c &= \sum_{i=1}^N \sum_{j=1}^N \bar{c}_{ij} \cdot x_{ij} \mid (i,j) \in \Gamma^* \\ \sum_{i=1}^N x_{ij} &= 1 && j = 1, 2, \dots, N \\ \sum_{j=1}^N x_{ij} &= 1 && i = 1, 2, \dots, N \\ u_i - u_j + (N-1)x_{ij} &\leq N-2 && (1 \leq i \neq j \leq N-1) \\ x_{ij} &= 0 \text{ ou } 1 && V_{i,j} = 1, 2, \dots, N \\ u_i &\in \mathbb{R} \text{ (nombres réels)} && i = 1, 2, \dots, N \end{aligned}$$

(Réf. 8) .

La solution est donc un certain cycle Hamiltonien Γ^* tel que :

$$[\text{Min}] c = \sum_{i=1}^N (\bar{c}_{ij})(x_{ij}) \mid (i,j) \in \Gamma^*$$

Dans le cas du problème qui nous occupe, la matrice des coûts est une matrice symétrique :

$$\bar{c}_{ij} = \bar{c}_{ji}$$

le nombre d'itinéraires possibles étant donné par la formule :

$$\frac{(N-1)!}{2}$$

et un ou plusieurs de ces parcours fournit la solution optimale. Cette solution optimale au problème posé peut être obtenu théoriquement par des Méthodes de constructions séquentielles de l'itinéraire dont la méthode de la programmation dynamique et la méthode de la Séparation et Evaluation Progressive fournit la solution exacte .

L'utilisation de la programmation dynamique nécessite cependant :

$$(N - 1)(N - 2)2^{N-3}$$

opérations de calcul et exige une capacité de mémoire du calculateur électronique de :

$$(N - 1)2^{N-1}$$

registres (Réf. 30) . Pratiquement cette procédure se limite à des problèmes contenant très peu de points.

La méthode de la Séparation et Evaluation progressive "(Branch and Bound : par exemple l'algorithme de Little)" peut s'appliquer à des problèmes plus importants, mais le temps de calcul nécessaire à l'optimisation est imprévisible et croît vite avec le volume du problème. Sweeney et ses collaborateurs (Réf. 35) ont montré que le temps de calcul est multiplié par un facteur 30 pour une augmentation de 10 points sur l'itinéraire.

De ce qui précède on peut conclure qu'il est pratiquement impossible d'utiliser les méthodes précitées pour aborder des problèmes dans lesquels le nombre de trous à percer dépasse 50 unités .

En pratique on se contente très souvent de trouver à de tels problèmes une "bonne" solution en utilisant des méthodes heuristiques.

Le but du présent travail est de proposer un algorithme heuristique dont les résultats obtenus sur des multiples cas ont été jugés très satisfaisants.

* .

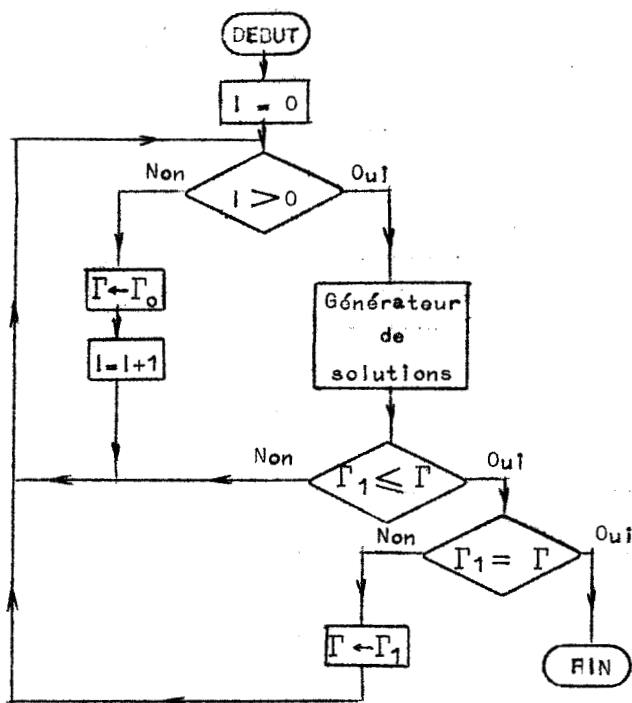
CHAPITRE I

APERCU SOMMAIRE
DES METHODES UTILISEES
POUR RESOUDRE LE
PROBLEME DU
VOYAGEUR DE COMMERCE
————— ***** —————

Les méthodes utilisées pour aborder le problème posé peuvent être classées selon la procédure appliquée en quatre catégories.

1.1 METHODES UTILISANT DES CORRECTIONS DE L'ITINERAIRE INITIAL .

Le point de départ de cette procédure est un itinéraire initial arbitraire Γ_0 passant par tous les points prévus. Un générateur de solutions engendre en partant de Γ_0 un nouveau parcours Γ_1 . Ce dernier est comparé à la solution précédente au point de vue des coûts. Le processus de recherche continue aussi longtemps que la comparaison des coûts se révèle bénéfique. La figure 1.1 de la page suivante montre l'organigramme de cette procédure.



Toutes les techniques basées sur cette méthode donnent des résultats approximatifs.

Des bons résultats ont été enregistrés par LIN (Réf. 33) et REITER-SHERMAN (Réf. 37).

Fig. 1.1

1.2 METHODES UTILISANT DES CONSTRUCTIONS SEQUENTIELLES DE L'ITINERAIRE.

1.2.1 Principe de la méthode.

On choisit un noeud initial arbitraire et à partir de ce sommet une séquence est construite en incluant l'un après l'autre tous les points de l'itinéraire suivant un algorithme donné.

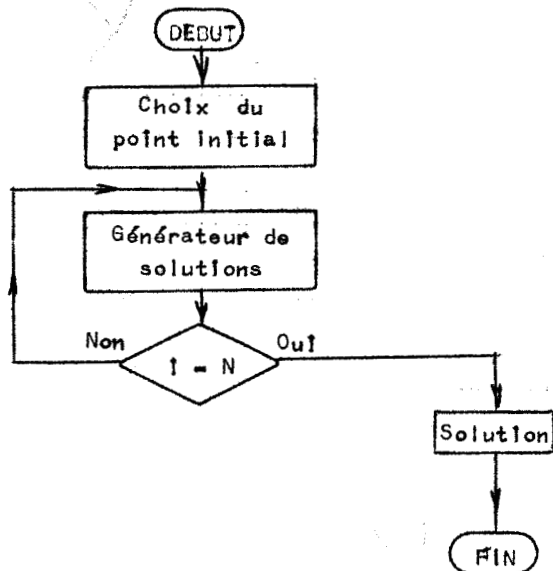


Fig. 1.2

La figure 1.2 ci-contre donne l'organigramme de cette procédure.

Un algorithme simple pour le générateur consiste à utiliser la règle du voisin le plus proche. Les résultats obtenus en adoptant cette règle sont approximatifs. Des résultats très encourageants ont cependant été enregistrés par KARG-THOMPSON (Réf. 31) et par RAYMOND (Réf. 36).

Des résultats exacts peuvent être obtenus en utilisant la programmation dynamique ou la méthode de la séparation et évaluation progressive, par exemple l'algorithme de Little (Réf. 35).

Etant donné que nous avons utilisé l'algorithme de Little comme référence lors de nos essais préliminaires nous nous permettons de rappeler quelques détails de cette méthode.

1.2.2 Méthode de Séparation et Evaluation Progressive S.E.P
(Réf. 12) .

1.2.2.1 Principe.

Soit :

$$E = \{ S_1, S_2, \dots, S_n \}$$

un ensemble de solutions d'un problème.

Attachons à chaque solution S_i une fonction $f(S_i)$ et cherchons le sous-ensemble E_m des solutions correspondant à la valeur optimal de $f(S)$.

On suppose que :

$$E_m \neq \emptyset$$

Soit P_A une propriété permettant de faire une bipartition de E en deux sous-ensembles A et \bar{A} (\bar{A} est le complémentaire de A par rapport à E) et supposons que nous sommes en mesure de trouver une borne inférieure b_0 à la valeur des solutions éléments de E , puis une borne inférieure :

$$b_1 \geq b_0$$

(dans le cas de la recherche d'un minimum) à la valeur des solutions des éléments de A et enfin une borne inférieure :

$$b'_1 \geq 0$$

à la valeur des solutions éléments de \bar{A} .

Si nous utilisons maintenant une deuxième propriété séparatrice P_B , la propriété :

$$P_A \cap P_B$$

(P_A et P_B) est alors associée à l'ensemble :

$$A \cap B$$

de même que :

$$P_A \cap \bar{P}_B$$

à :

$$A \cap \bar{B}$$

etc.

En continuant de la sorte c'est-à-dire en introduisant à chaque pas une nouvelle propriété séparatrice, P_C , P_D etc. on définit de nouveaux sous-ensembles. La relation d'inclusion entre ces sous-ensembles définit une arborescence.

Supposons que, au lieu de décrire l'arborescence complète, ce qui nous obligerait à décrire au pas 2^n sommets pendants de l'arborescence et ne serait guère intéressante, on se limite à décrire à chaque pas uniquement deux sommets et que la règle de choix pour progresser dans les bipartitions successives soit la suivante : soit E_{pn} l'ensemble des sommets pendant au pas n , un sommet pendant pourra être bipartitionné si et seulement si sa borne inférieure n'est pas supérieure aux bornes inférieures des autres sommets appartenant à E_{pn} . On arrête la dichotomie lorsque le sous-ensemble borné, en respectant la règle donnée, ne contient plus qu'un seul élément : alors la borne de cet élément ne peut être que sa valeur et cette valeur correspond à une solution minimale de E pour la fonction $f(S_1)$.

1.2.2.2 Description de l'algorithme de Little (Réf. 20).

J.D.C. Little a établi en 1963 un algorithme sur la recherche des circuits hamiltoniens de valeur minimale.

Nous décrivons ci-après brièvement cette procédure :

- a) Utiliser la technique de Flood sur la matrice des coûts $[\bar{c}]$, il en résulte une matrice $[c]$ et la borne inférieure (R) de la racine de l'arborescence, racine correspondant à l'ensemble de toutes les solutions appelé E

Remarque

La technique de Flood consiste à exécuter les pas suivants :

- Déterminer le vecteur $[\bar{c}^1]$ tel que :

$$[\bar{c}^1]^T = [\bar{c}_1^1, \dots, \bar{c}_m^1]$$

avec : $\bar{c}_i^1 = \min_j \{\bar{c}_{ij}\}$

- Déterminer la matrice $[\bar{c}^{(1)}]_{m \times n}$ tel que :

$$[\bar{c}^{(1)}] = [\bar{c}_{ij}^{(1)}]$$

avec : $\bar{c}_{ij}^{(1)} = \bar{c}_i^1$

$$V_j = 1, 2, \dots, n$$

$$V_i = 1, 2, \dots, m$$

- Calculer $[c_1] = [\bar{c}] - [\bar{c}^{(1)}]$

- Déterminer le vecteur colonne $[\bar{c}^{(c)}]$ tel que :

$$[\bar{c}^{(c)}]^T = [\bar{c}_1^{(c)}, \dots, \bar{c}_n^{(c)}]$$

avec : $\bar{c}_j^{(c)} = \min_j \{c_{1ij}\}$

- Déterminer la matrice :

$$[c_2]_{m \times n} = [\bar{c}_{ij}^{(c)}]$$

avec : $\bar{c}_{ij}^{(c)} = \bar{c}_j^{(c)}$

$$V_i = 1, 2, \dots, m$$

$$V_j = 1, 2, \dots, n$$

- Calculer :

$$[c] = [c_1] - [c_2]$$

$$R = \sum_{i=1}^m \bar{c}_i^{(c)} + \sum_{j=1}^n \bar{c}_j^{(c)}$$

b) Choisir : $c_{x,y} = (c_{ij}^v \mid v = \max\{u\})$

pour réaliser une bipartition de telle sorte que :

$$v = \max\{u\}$$

où :

$$u = (\min\{c_{ik}\} + \min\{c_{lj}\})$$

$$k \neq j \quad l \neq i$$

pour tous les éléments :

$$c_{ij} = 0$$

Ce choix consiste à considérer la propriété \bar{P}_{ij} : le circuit hamiltonien ne passe pas par $(i, j = x, y)$. Il doit donc passer, par définition, par les arcs (i, s) , $s \neq j$ et (r, j) , $r \neq i$; pour i et j tels que :

$$c_{ij} = 0$$

en calculant u on trouve un nombre qui ajouté à la borne correspondant au sommet de l'arborescence à partir duquel on effectue la bipartition donne un nouveau minorant plus élevé ou égal au précédent.

c) Mettre en place un sommet et un arc correspondant à la propriété $P_{x,y}$. La borne inférieure de ce sommet antérieur augmenté de :

$$v = \max\{u\}$$

d) Mettre en place un sommet et un arc correspondant à la propriété $P_{x,y}$. Les circuits passent par (x, y) . Supprimer dans la matrice $[c]$ la ligne x et la colonne y . Placer une valeur infinie dans toutes les cases correspondant à un arc qui réaliserait un circuit de longueur inférieure au nombre de sommet du graphe initial.

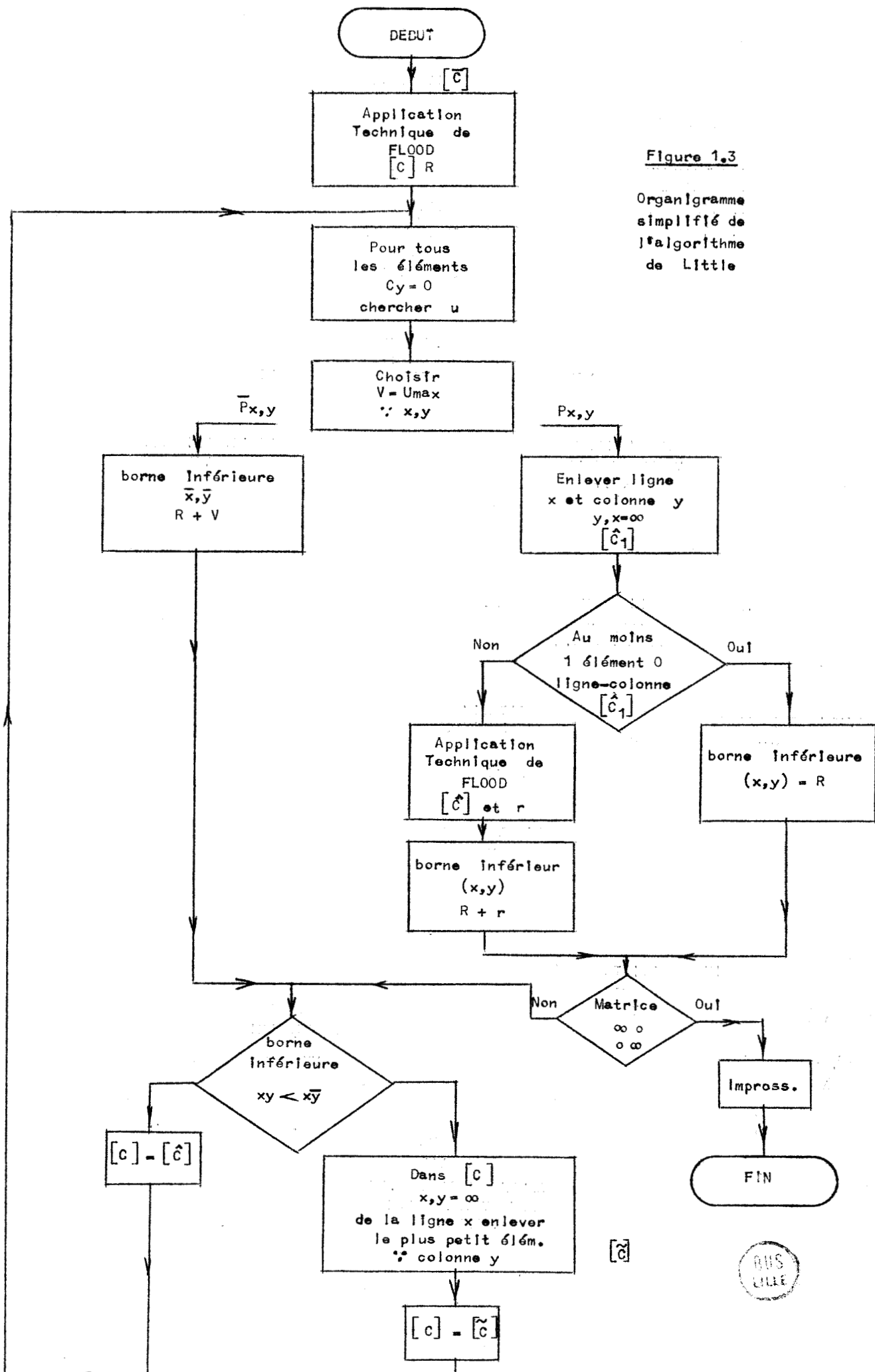


Figure 1.3

Organigramme simplifié de l'algorithme de Little



e) Identique à a)

La somme de tous les éléments soustraits est ajoutée à la borne du sommet antérieur et donne la borne relative au sommet de l'arborescence où la propriété $P_{x,y}$ est vérifiée.

f) Si la matrice obtenue est de la forme :

$$\begin{bmatrix} \infty & 0 \\ 0 & \infty \end{bmatrix} \quad \text{ou} \quad \begin{bmatrix} 0 & \infty \\ \infty & 0 \end{bmatrix}$$

les calculs sont terminés sinon on passe en h)

h) Examiner la valeur des bornes obtenues pour tous les sommets pendants et sélectionner la plus petite borne (s'il en existe plusieurs en choisir une arbitrairement). Si le sommet choisi correspond à (x,y) on passe en b) sinon en i).

i) Dans la matrice correspondante $[c]$, mettre ∞ dans la case (x,y) où x,y sont ceux de $P_{x,y}$. Enlever à la ligne x et à la colonne y leurs plus petits éléments respectifs. On trouve ainsi la matrice $[\tilde{c}]$ et passe ensuite en b).

La Figure 1.3 de la page précédente représente l'organigramme simplifié de l'algorithme de Little. (Le lecteur trouvera en annexe A l'organigramme et le programme complet réalisant la procédure de Little).

1.3 METHODES ENUMERATIVES.

Comme déjà signalé le nombre d'itinéraires possibles peut devenir vite extrêmement grand :

$$(N - 1)! \quad \text{ou} \quad \frac{(N - 1)!}{2}$$

unités. Il n'est pas possible d'évaluer tous ces itinéraires.

Les méthodes énumératives consistent à éliminer un grand nombre de possibilités en incluant dans le générateur de solutions certaines règles et tests qui permettent, dans certains cas, de juger sur la non-optimalité des solutions rejetées.

L'algorithme de ROBERTS et FLORES (Réf. 38) est basé sur cette technique.

1.4 METHODES UTILISANT L'ELIMINATION DE TOURS ELEMENTAIRES. ...

Le point de départ de cette méthode est la solution optimale du problème d'affectation relatif à la matrice des coûts $[c]$. Les éléments diagonaux de la matrice étant égal à l'infini (∞).

Si la solution au problème d'affectation est un contour unique, ce dernier donne également la solution au problème du voyageur de commerce.

Si, par contre, la solution au problème d'affectation n'est pas présentée par un contour unique, elle est alors formée d'un certain nombre de contours élémentaires qu'il s'agit d'éliminer de façon à former un cycle Hamiltonien.

Des solutions exactes ont été obtenues par :

- la méthode de la séparation et évaluation progressive de EASTMAN (Réf. 27) et SHAPIRO (Réf. 39) ,
- la méthode de la programmation linéaire en nombre entiers de DANTZIG , FULKERSON et JOHNSON (Réf. 26) ,
- la méthode de GILMORE-GOMORY (Réf. 29) ; cette dernière procédure utilise une matrice des coûts de structure spéciale .

Signalons pour terminer cet aperçu sommaire que KRUSKAL (Réf. 33) a trouvé une relation entre l'énoncé du problème posé et les arbres minimaux dans un graphe.

*

CHAPITRE II

PRESENTATION

DE

L'ALGORITHME HEURISTIQUE

"Heuristic is a word now commonly in use in this regard but difficult to define well"

(BOWMAN - FETTER) (Réf. 25) .

2.1 GENERALITES SUR LES METHODES HEURISTIQUES.

On entend par heuristique ou méthode heuristique une stratégie, un artifice, une simplification ou une suite de règles, introduites parfois par la seule intuition et l'esprit de création ; permettant de réduire les efforts de recherche des solutions de problèmes complexes en diminuant, par un choix judicieux, le nombre de bonnes solutions pour atteindre ainsi plus vite des solutions pratiques.

Toutefois, ces solutions pratiques ne sont pas nécessairement optimales.

En appliquant une méthode heuristique, l'accent est plutôt mis sur une "bonne solution" peu coûteuse et utilisable que sur une solution optimale. Cette dernière, en effet est dans certains cas difficile à obtenir même en utilisant les technologies modernes.

L'évaluation des techniques heuristiques se fait généralement d'une façon inductive: ces techniques sont appliquées parce-que les expériences montrent qu'elles donnent de très bons résultats pour la résolution de certains problèmes pour lesquels il est difficile d'obtenir à l'heure actuelle des solutions analytiques.

" It (the heuristic approach to solving problem) offers hope where many other analytic approaches, in their current state of development, are not applicable to problems of major interest to management"

A.A KUEHN (Réf. 32) .

2.2 INTRODUCTION PRELIMINAIRE.

Considérons un ensemble E de N points situés dans une surface plane S .

$$E = \{ p_1 , p_2 , \dots , p_N \}$$

Les coordonnées des points sont connues par rapport à la position de repos (origine du système d'axes) de la broche de la machine.

La plaquette à percer étant fixée sur la table de travail de la perceuse possède de ce fait deux degrés de liberté :

- un déplacement suivant l'axe des x ,
- un déplacement suivant l'axe des y .

Pour déterminer le coût d'un déplacement élémentaire considérons deux points arbitraires p_i et p_j situés dans le plan de travail de la machine et évaluons le temps nécessaire au chariot de commande pour accomplir le trajet $p_i \vec{p}_j$ (Fig. 2.1) (page suivante) .

Sur de nombreuses machines actuelles le déplacement du chariot de travail est obtenu à l'aide de deux moteurs d'entraînement tournant à la même vitesse constante :

$$V_x = V_y = V_A$$

On a donc :

$$V_x = \begin{cases} V_A & \text{pour } x_j - x_i > 0 \\ 0 & \text{pour } x_j - x_i = 0 \end{cases}$$
$$V_y = \begin{cases} V_A & \text{pour } y_j - y_i > 0 \\ 0 & \text{pour } y_j - y_i = 0 \end{cases}$$

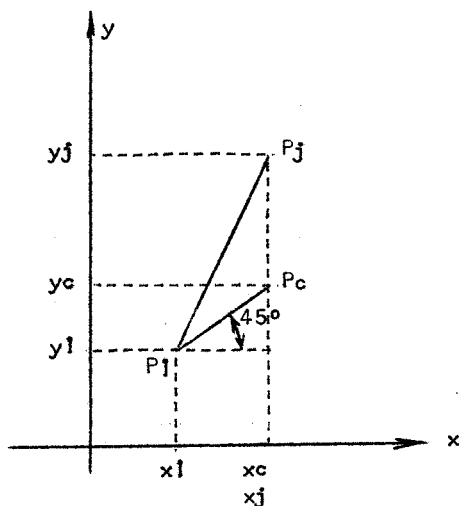


Fig. 2.1

Au début du déplacement,

$$x_j - x_1 > 0$$

$$y_j - y_1 > 0$$

les deux moteurs d'entraînement tournent et :

$$V_x = V_y = V_A$$

Le déplacement résultant de la plaquette se fait dans le sens $\vec{P_1P_c}$

$$\angle_x \vec{P_1P_c} = 45^\circ$$

Le temps nécessaire pour réaliser le parcours $\vec{P_1P_c}$ vaut :

$$T_{\vec{P_1P_c}} = \frac{x_c - x_1}{V_A} = \frac{y_c - y_1}{V_A}$$

Le point p_c étant atteint, on a :

$$x_j - x_1 = 0$$

le moteur d'entraînement suivant l'axe des x s'arrête.

Avant d'atteindre le point final p_j , il est en plus nécessaire de déplacer la plaquette de la quantité $\vec{p_c, p_j}$ c'est-à-dire de :

$$y_j - y_c$$

Le temps correspondant à ce dernier déplacement s'exprime par la formule :

$$T_{\vec{p_c p_j}} = \frac{y_j - y_c}{V_A}$$

La durée totale pour accomplir le trajet prévu vaut donc :

$$T_{\vec{P_1P_j}} = \frac{y_c - y_1}{V_A} + \frac{y_j - y_c}{V_A} = \frac{y_j - y_1}{V_A}$$

Dans les hypothèses émises la durée nécessaire à la machine pour accomplir $\vec{P_1P_j}$ est donc proportionnel à :

$$y_j - y_1$$

D'une façon générale et toujours dans les hypothèses du problème on peut conclure que le temps nécessaire pour relier deux points sera proportionnel au plus grand écart :

$$y_j - y_1 \quad \text{ou} \quad x_j - x_1$$

Il faudra bien se souvenir de cette définition du coût dans l'interprétation des résultats de certains exemples.

2.3 PRINCIPE DE L'ALGORITHME HEURISTIQUE.

Le but poursuivi consistait à trouver en un temps de calcul raisonnable une "bonne solution" au problème posé et si possible la solution optimale.

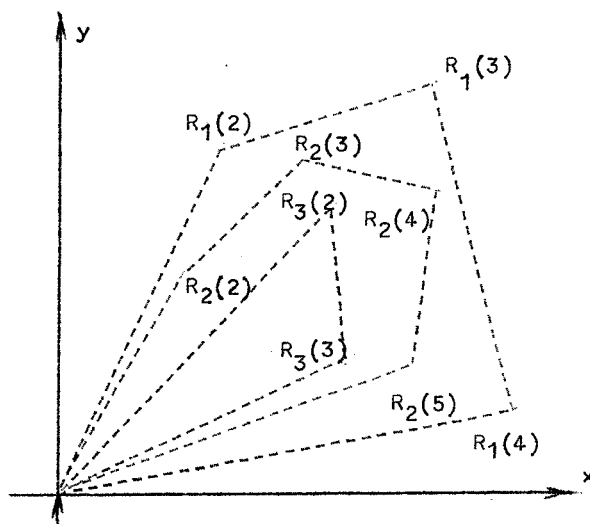
Il s'agit donc de trouver dès le début des opérations de calcul un certain nombre de noeuds (points), situés d'une façon sûre, sur l'itinéraire optimal.

On sait (Réf. 24) que les points formant les extrémités d'un polygone convexe englobant tous les noeuds font partie de l'itinéraire optimal.

De plus, ces points se succèdent sur le parcours optimal dans le même ordre que celui existant sur le polygone.

Le premier pas de l'algorithme proposé consiste donc à trouver les extrémités du polygone convexe global. Pour placer ensuite le plus vite possible les autres noeuds, nous avons groupés les points restants sur des polygones (convexes) de plus en plus petit en excluant des nouveaux polygones les points déjà repris sur les polygones précédents.

Comme les points faisant partie du polygone extérieur font d'une façon sûre partie de l'itinéraire optimal et que les points situés sur le premier polygone intérieur se trouvent le plus près du polygone convexe global, il est logique d'insérer en premier lieu dans le polygone convexe initial les noeuds du premier polygone intérieur. Une fois les extrémités du premier polygone intérieur insérées dans le polygone extérieur, le deuxième polygone intérieur prend la place du premier et l'opération continue jusqu'à épuisement des points.



$R_1(1) = R_2(1) = R_3(1)$ = point de repos de la broche de la perceuse.

Quant à l'insertion des noeuds, deux questions se posent :

- quel noeud insérer ?
- où insérer le noeud ?

Pour répondre à ces deux questions nous nous sommes inspirés des critères avancés par Tc RAYMOND (Réf. 36) (voir aussi le paragraphe suivant) .

La figure ci-contre éclaire ce qui a été énoncé ci-dessus.

2.4 FORMALISATION MATHÉMATIQUE DE L'ALGORITHME HEURISTIQUE.

1. Générer à travers l'ensemble P des noeuds à relier un certain nombre de graphes initiaux G_1, G_2, \dots

$$G_1, G_2, \dots \subset F = P \times P$$

$$(p_1, p_j) \in F, \forall_{p_1, p_j} \in P$$

$$G_1 \triangleq \left\{ R_1(i) \mid R_1(i) \in P \subset E^2 \mid R_1(i) = \sum_{l=1}^a \mu_l R_1(i); \right. \\ \left. \mu_l \geq 0; \forall_l = 1, 2, \dots, a; \sum_{l=1}^a \mu_l = 1 \right\} \subset F$$

$$G_2 \triangleq \left\{ R_2(i) \mid R_2(i) \in P - a \subset E^2 \mid R_2(i) = \sum_{l=1}^b \mu_l R_2(i); \right. \\ \left. \mu_l \geq 0; \forall_l = 1, 2, \dots, b; \sum_{l=1}^b \mu_l = 1 \right\} \subset F$$

$$G_3 \triangleq \left\{ R_3(i) \mid R_3(i) \in P - a - b \subset E^2 \mid R_3(i) = \sum_{l=1}^c \mu_l R_3(i); \right. \\ \left. \mu_l \geq 0; \forall_l = 1, 2, \dots, c; \sum_{l=1}^c \mu_l = 1 \right\} \subset F$$

$$G_4 \triangleq \dots\dots\dots$$

$$G_5 \triangleq \dots\dots\dots$$

Remarquons que les noeuds $R_1(i), R_2(i), R_3(i), R_4(i), \dots$ sont identiques pour :

$$i = 1$$

et se confondent à l'origine des coordonnées dans la surface plane :

$$R_1(1) \equiv R_2(1) \equiv R_3(1) \equiv$$

n'est par conséquent repris qu'une fois dans les graphes, par exemple, dans G_1 .

2. Evaluer les "coûts marginaux" en utilisant la formule :

$$c[R_1(i), R_2(c)] + c[R_1(i+1), R_2(c)] \\ = c[R_1(i), R(1, i+1)] = \lambda_{2c}^{1, i+1} \\ \forall_l = 1, 2, \dots, a \\ \forall_c = 1, 2.$$

$$c[R_1(i), R_2(c)]$$

représente le coût (2.2) entre les noeuds :

$$R_1(i) \quad \text{et} \quad R_2(i)$$

3. Choisir parmi les éléments du vecteur :

$$[\lambda_{2c}^{1,i+1}] \quad V_1 = 1, 2, \dots, a$$

$$V_c = 1, 2$$

l'élément le plus petit et l'élément de valeur juste supérieure, c'est-à-dire :

$$\min_1 \lambda_{2c}^{1,i+1} \quad \text{et} \quad \min_2 \lambda_{2c}^{1,i+1} \quad V_1$$
$$V_c = 1, 2$$

4. Effectuer la différence :

$$V(c) = \min_2 \lambda_{2c}^{1,i+1} - \min_1 \lambda_{2c}^{1,i+1} \quad V_c = 1, 2$$

5. Comparer : $V(1) \hat{a} V(2)$

Si : $V(2) > V(1)$

introduire le noeud $R_2(2)$ à l'endroit calculé dans le graphe G_1 , et éliminer ce même noeud dans le graphe G_2 .

Si : $V(1) > V(2)$

l'élément $R_2(1)$ entrera à la bonne place dans le graphe G_1 et sera éliminé du graphe G_2 .

6. Reprendre les opérations (2), (3), (4) et (5) jusqu'à épuisement du graphe G_2 .

7. Imprimer le graphe G_1 .

8. Calculer le coût de l'itinéraire obtenu G_1 .

9. Remplacer le graphe :

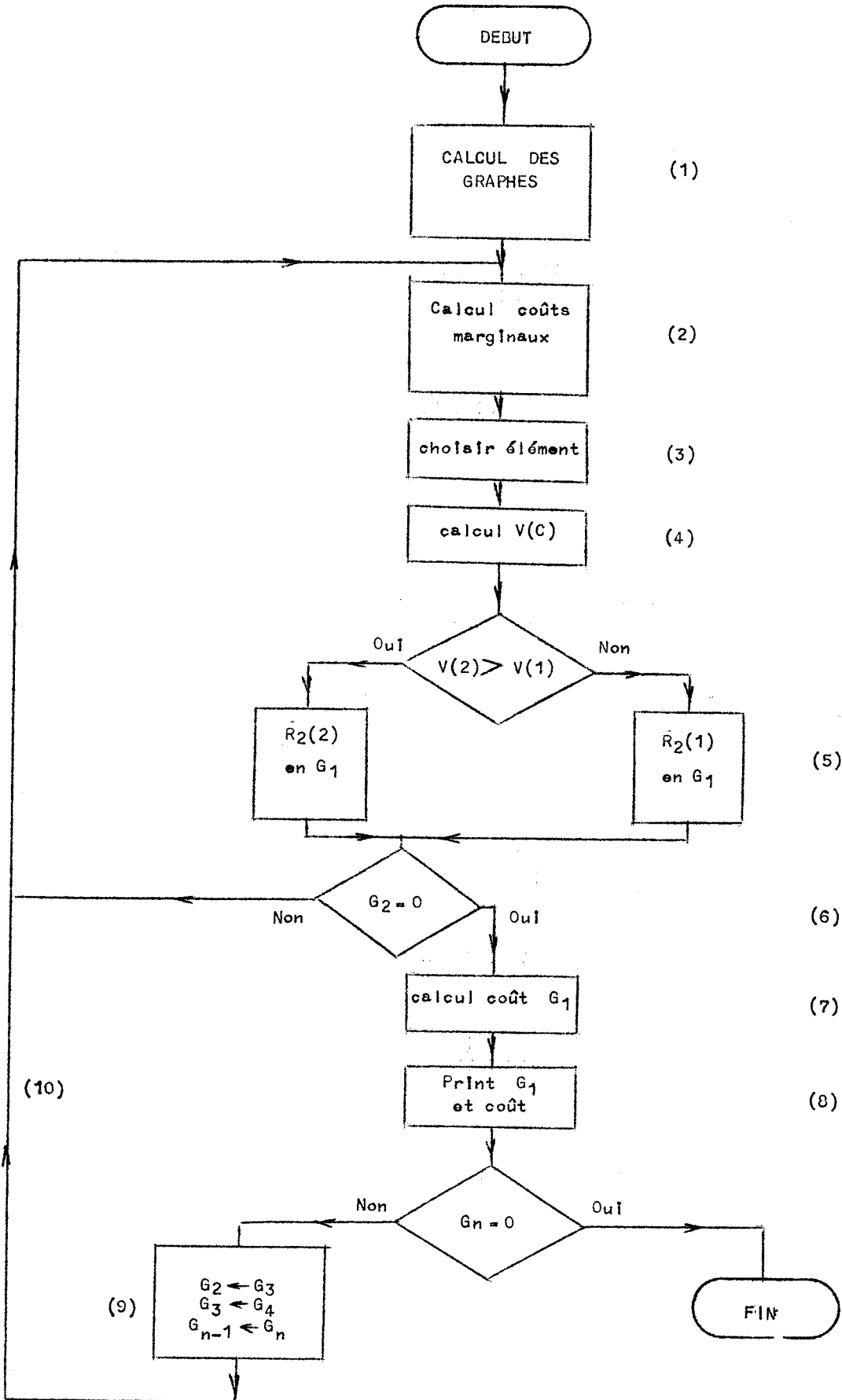
$$G_2 = 0$$

par G_3 , G_3 par G_4 etc.

10. Recommencer le cycle de l'algorithme en (2) et cela jusqu'à épuisement total des graphes.

Le lecteur trouvera en annexe B, l'organigramme et le programme de l'heuristique.

2.5 ORGANIGRAMME SIMPLIFIE OU L'ALGORITHME.



2.6 EVALUATION DU TEMPS DE CALCUL NECESSAIRE POUR OBTENIR L'ITINERAIRE.
(Les graphes étant connus) .

Initialement le nombre de points situés sur le graphe G_1 vaut a unités. Afin de compléter G_1 de façon à former un itinéraire il est donc nécessaire d'introduire encore $(N - a)$ points.

Représentons par t le temps élémentaire nécessaire pour évaluer le coût marginal de deux noeuds de G_2 par rapport au segment $R1(i)$, $R1(i+1)$.

Nous pouvons alors établir le tableau suivant :

Opération N°	Nombre de points sur G_1	Nombre de points à insérer	Temps de calcul
1	a	$N - a$	ta
2	$a + 1$	$N - a - 1$	$ta + t$
3	$a + 2$	$N - a - 2$	$ta + 2t$
⋮	⋮	⋮	⋮
$N - a + 1$	N	$(N - a) - (N - a)$	$ta + (N - a)t$

Le temps de calcul :

$$T = (N - a + 1)ta + t + 2t + \dots + (N - a)t$$

or :

$$t + 2t + 3t + \dots + (N - a)t = \frac{(N - a)(N - a + 1)}{2} t$$

et en posant :

$$\alpha = \frac{a}{N}$$

nous obtenons :

$$T = \left(\frac{1 - \alpha^2}{2}\right)N^2 t + \left(\frac{1 + \alpha}{2}\right) Nt$$

ou avec :

$$A = \frac{1 - \alpha^2}{2} t$$

$$B = \frac{1 + \alpha}{2} t$$

$$T = AN^2 + BN = N^c$$

avec :

$$c = \frac{\log(AN^2 + BN)}{\log N}$$

Le temps de calcul relatif s'exprime par :

$$\frac{T}{t} = \left(\frac{1-\alpha^2}{2}\right)N^2 + \left(\frac{1+\alpha}{2}\right)N = A_1 N^2 + B_1 N$$

avec : $A_1 = \frac{1-\alpha^2}{2}$

et : $B_1 = \frac{1+\alpha}{2}$

Le lecteur trouvera dans le paragraphe essais industriels la courbe tracée par une formule de la forme :

$$T_c = KN^2 + K_1N$$

et les résultats de calcul obtenus.

2.7 PARTICULARITES DE LA METHODE.

2.6.1 Le choix initial n'est ni un contour arbitraire complet (voir 1.1) ni un ou deux points (voir 1.2), mais une suite de noeuds situés sur un graphe orienté.

2.6.2 L'ordre des noeuds situés sur le graphe G_1 :

$$G_1 \triangleq \left\{ R_1(i) \mid R_1(i) \in P \subset E^2 \mid R_1(i) = \sum_{j=1}^a \mu_j R_1(j) ; \right. \\ \left. \mu_j \geq 0 ; \forall j = 1, 2, \dots, a ; \sum_{j=1}^a \mu_j = 1 \right\} \subset F$$

se retrouve dans le contour optimal (Réf. 24) .

2.6.3 Etant donné la définition initiale des graphes, la "consommation" des points se fait de la façon la moins coûteuse d'où un temps de calcul réduit.

2.6.4 Les opérations de calcul à effectuer sont extrêmement simples, le temps de calcul à l'ordinateur se trouve ainsi fortement réduit.

2.6.5 Le nombre d'itinéraires possible passe grâce au choix de G_1 de :

$$\left(\frac{N-1}{2}\right)! \quad \tilde{a} \quad \frac{(N-1)!}{(a-1)!}$$

*

CHAPITRE III

ESSAIS ET RESULTATS

Les essais ont été groupés en deux catégories :

- les essais préliminaires effectués sur un nombre de noeuds très restreint et réalisés sur l'ordinateur PET COMMODORE en utilisant le programme donné en annexe B .
- les essais industriels calculés sur l'ordinateur HP 21 MX en utilisant le programme complet.

3.1 ESSAIS PRELIMINAIRES.

3.1.1 Commentaires.

Les essais 3.1.2.1 jusque 3.1.2.9 représentent un ensemble de 9 noeuds dont l'itinéraire reliant les sommets à été obtenu à l'aide de l'algorithme heuristique. Les graphiques correspondants montrent les itinéraires obtenus de même que les coûts.

Les matrices des coûts $[\bar{c}]$ correspondantes et permettant d'utiliser la méthode de la séparation et l'évaluation progressive sont également données.

Les résultats obtenus en appliquant l'algorithme de Little sont figurés sous forme de l'arborescence des graphes Es. 1, ..., Es. 9 et sous forme de graphiques.

Nous constatons que les résultats obtenus avec les deux méthodes concordent parfaitement.

Ce résultat inattendu est probablement dû au nombre très restreint de noeuds à relier - la position des sommets dans le plan étant, en effet, tout à fait arbitraire.

L'identité des résultats relevée ne peut pas être généralisée car nous savons que l'heuristique utilisé ne garantit en aucun cas l'optimalité de l'itinéraire obtenu.

Comme c'était à prévoir nous avons observé que le temps de calcul

$$T_c$$

nécessaire à l'évaluation de l'itinéraire dépend du facteur :

$$\alpha = \frac{a}{N}$$

et il est nullement fonction de la position des points.

Le graphique de l'exemple 3.1.2.10 représente l'itinéraire obtenu pour un ensemble de 25 points. Nous remarquons qu'il y a des croisements dans l'itinéraire obtenu. A première vue on pourrait conclure à la non-optimalité du résultat relevé, notons que cette conclusion pourrait être trop hâtive. En effet les éléments c_{ij} représentent dans le problème qui nous occupe des durées et non des distances (2.2).

D'ailleurs le temps nécessaire pour faire l'itinéraire :

$$\vec{n}, 25, 10, 18$$

$$c = 7$$

est exactement le même que celui nécessaire pour parcourir un éventuel autre itinéraire :

$$\vec{11}, \vec{10}, \vec{25}, \vec{18}$$

$$c = 7$$

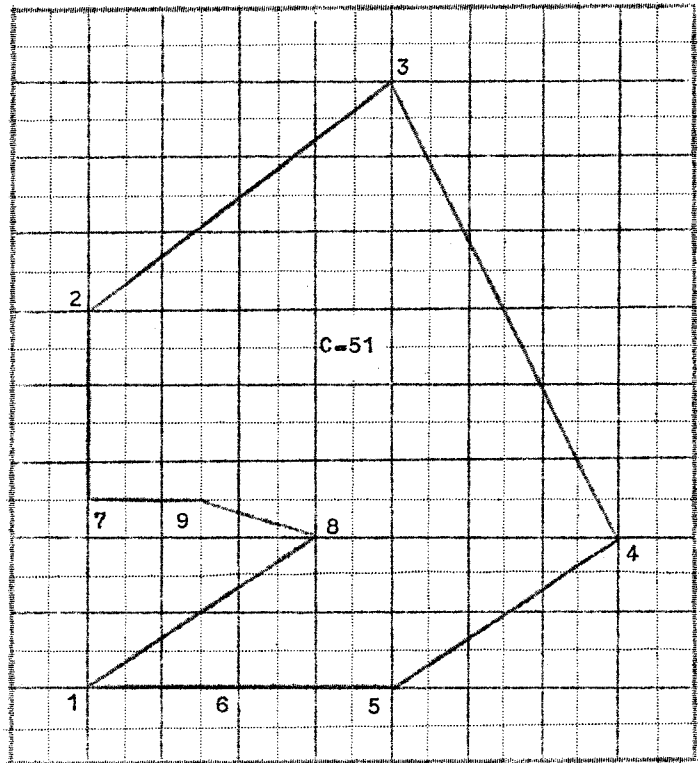
3.1.2 Résultats.

3.1.2.1 Essai 1 .

3.1.2.1.1 Application de l'algorithme heuristique.

Coordonnées des points

1	0	0
2	0	10
3	8	16
4	14	4
5	8	0
6	4	0
7	0	5
8	6	4
9	3	5



Itinéraire obtenu

1 - 8 - 9 - 7 - 2 - 3 - 4 - 5 - 6 - 1

Coût = 51

Matrice des coûts

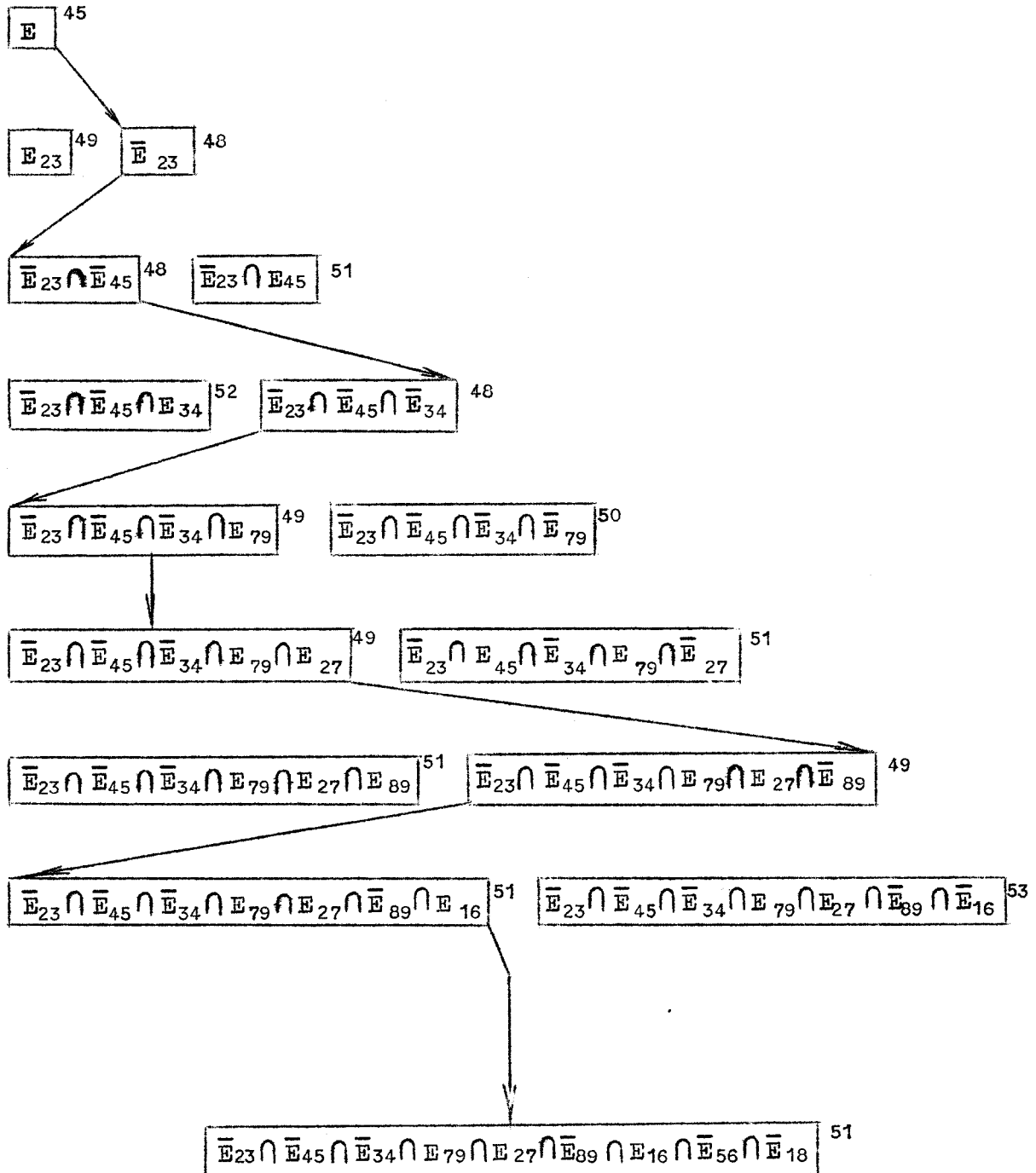
[C] =

	1	2	3	4	5	6	7	8	9
1	∞	10	16	14	8	4	5	6	5
2	10	∞	8	14	10	10	5	6	5
3	16	8	∞	12	16	16	11	12	11
4	14	14	12	∞	6	10	14	8	11
5	8	10	16	6	∞	4	8	4	5
6	4	10	16	10	4	∞	5	4	5
7	5	5	11	14	8	5	∞	6	3
8	6	6	12	8	4	4	6	∞	3
9	5	5	11	11	5	5	3	3	∞



3.1.2.1.2 Application de l'algorithme de Little.

Arborescence du graphe Es. 1

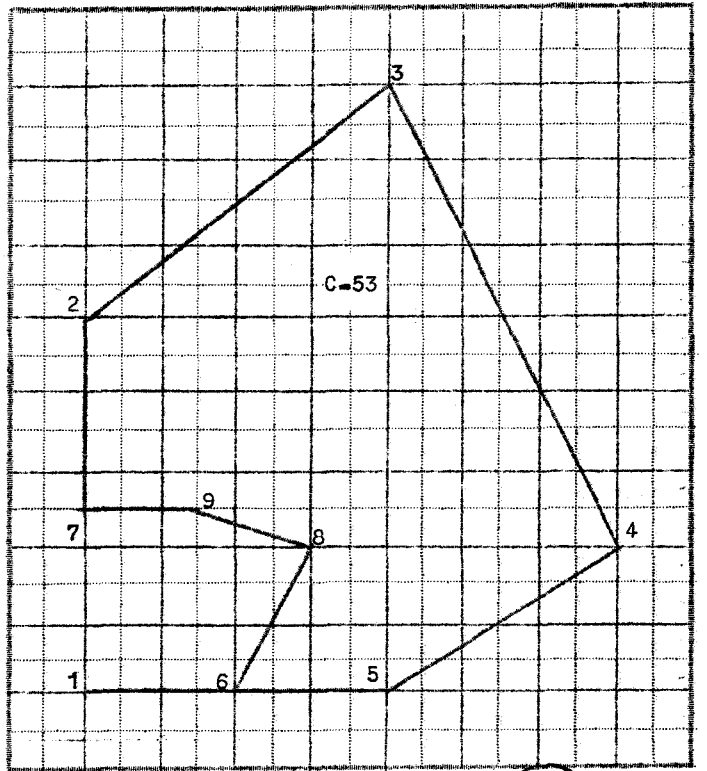
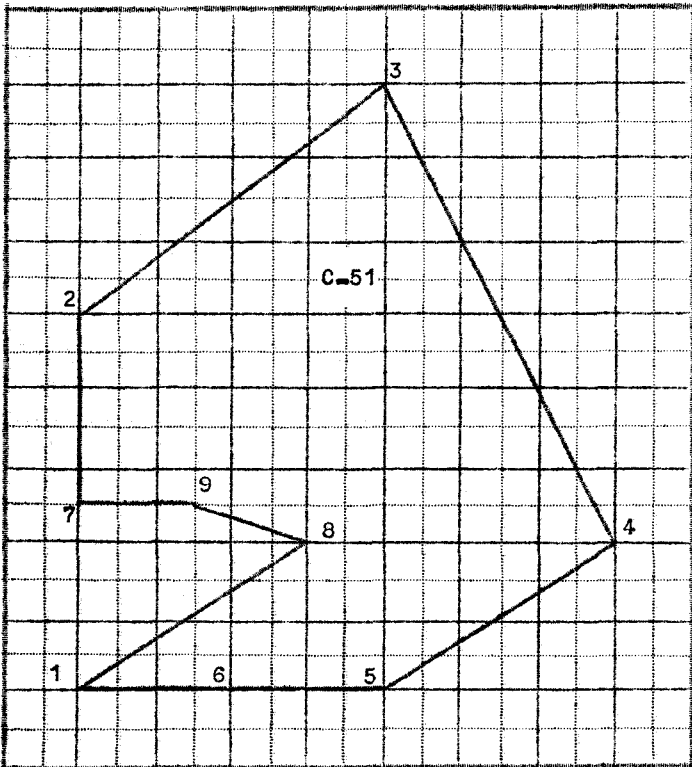
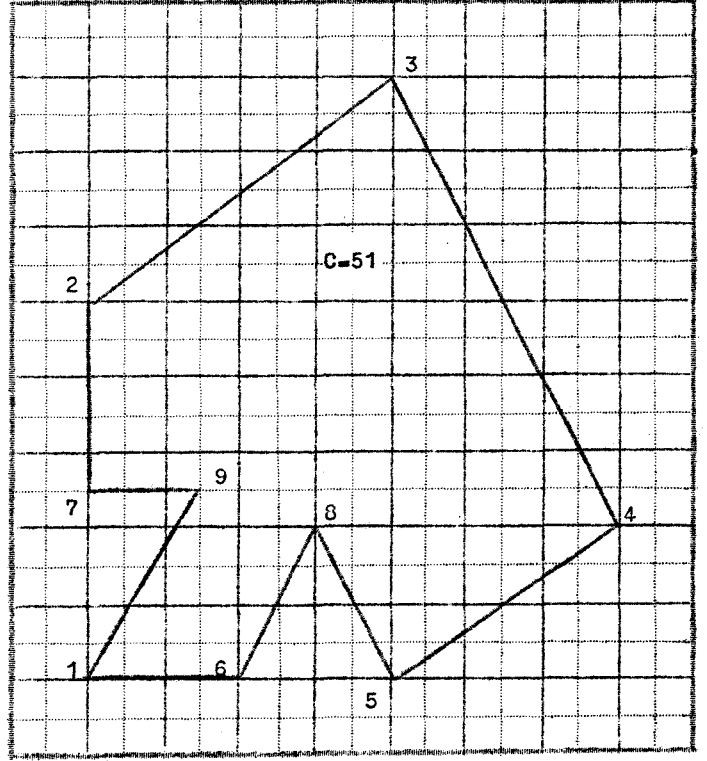
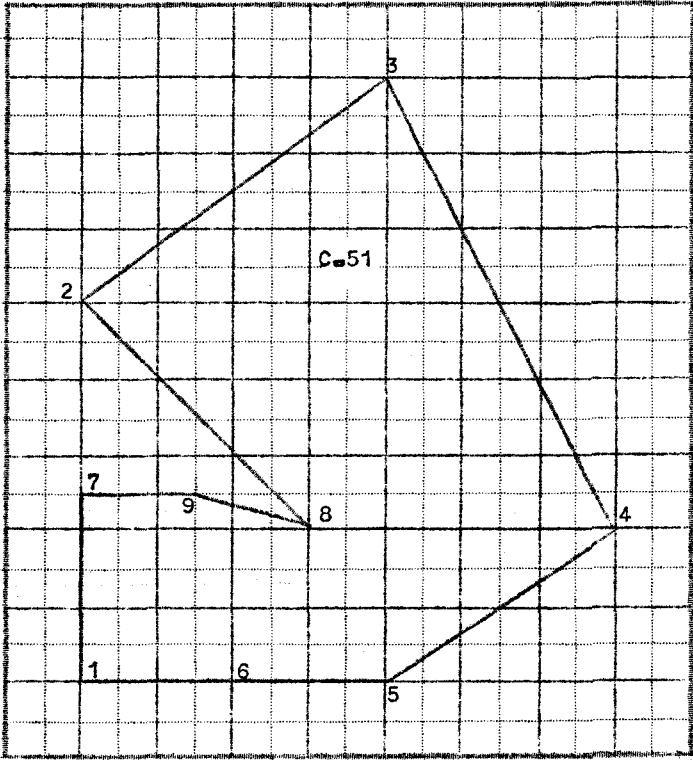


Itinéraire optimal

23 - 54 - 43 - 79 - 27 - 89 - 16 - 65 - 81

Coût = 51





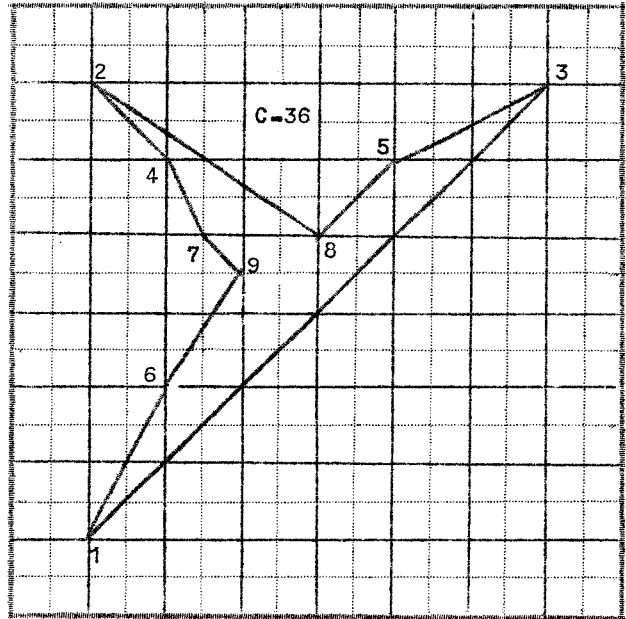
BUS
LILLE

3.1.2.2 Essai 2 .

3.1.2.2.1 Application de l'algorithme heuristique.

Coordonnées des points

1	0	0
2	0	12
3	12	12
4	2	10
5	8	10
6	2	4
7	3	8
8	6	8
9	4	7



Itinéraire obtenu

1 - 6 - 9 - 7 - 4 - 2 - 8 - 5 - 3

Coût = 36

Matrice des coûts

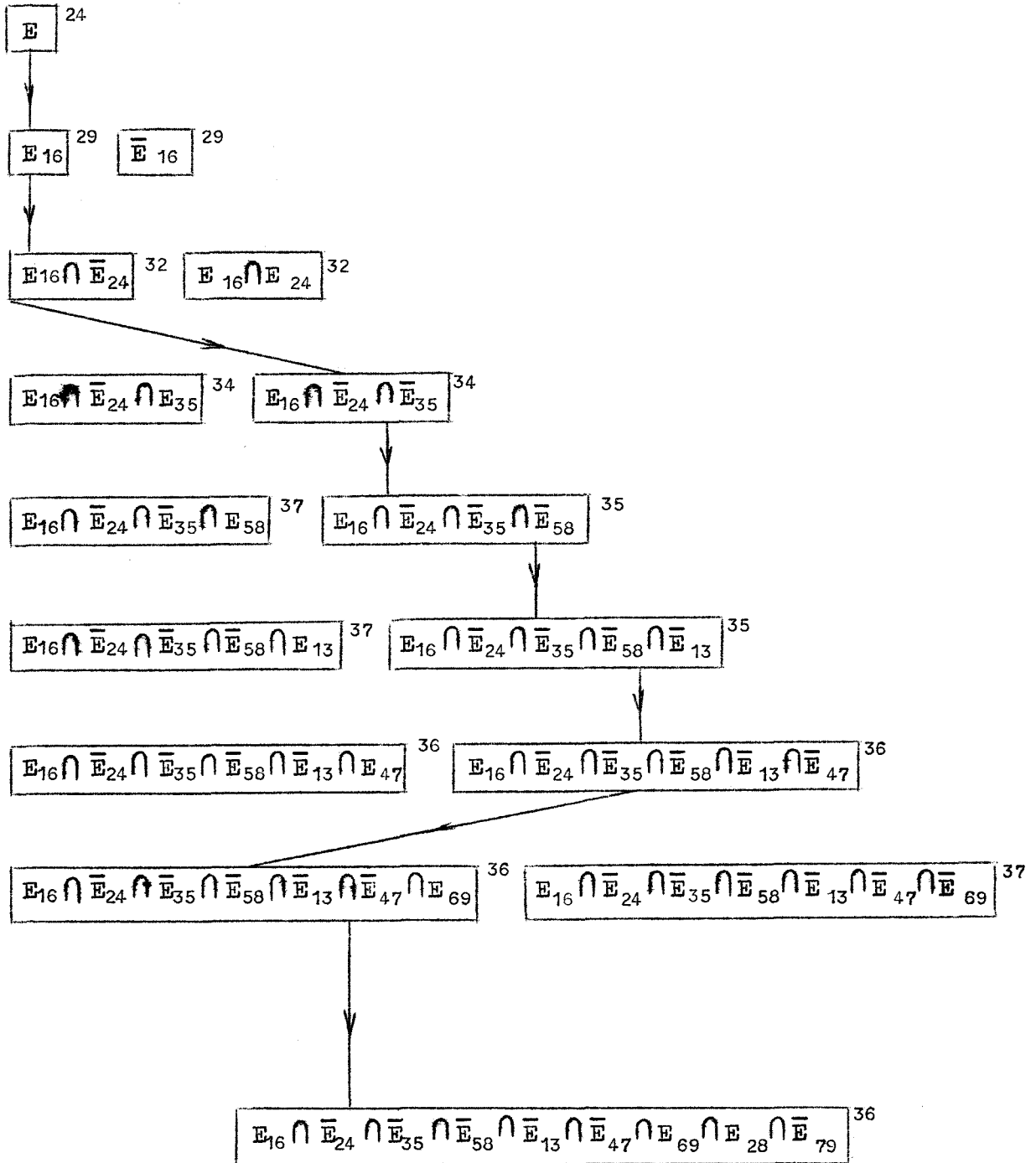
[C] =

	1	2	3	4	5	6	7	8	9
1	∞	12	12	10	10	4	8	8	7
2	12	∞	12	2	8	8	4	6	5
3	12	12	∞	10	4	10	9	6	8
4	10	2	10	∞	6	6	2	4	3
5	10	8	4	6	∞	6	5	2	4
6	4	8	10	6	6	∞	4	4	3
7	8	4	9	2	5	4	∞	3	1
8	8	6	6	4	2	4	3	∞	2
9	7	5	8	3	4	3	1	2	∞



3.1.2.2.2 Application de l'algorithme de Little.

Arborescence du graphe Es. 2

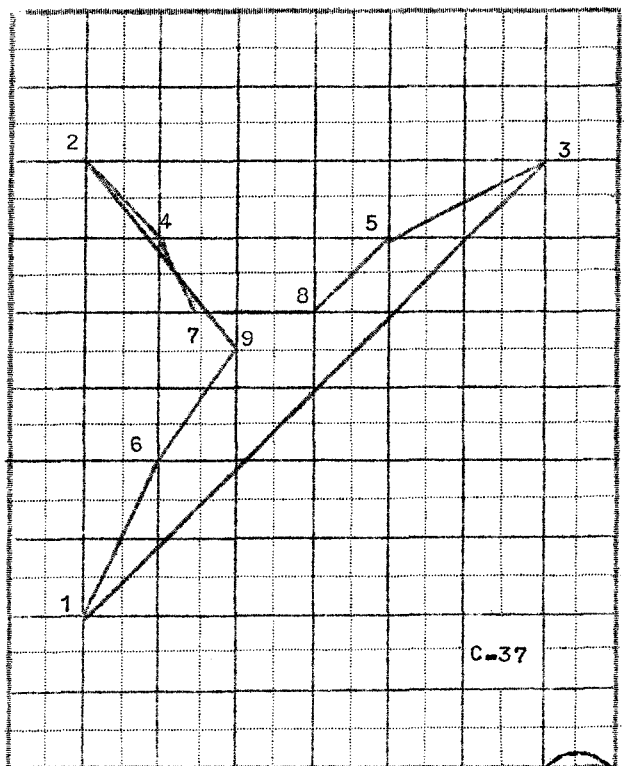
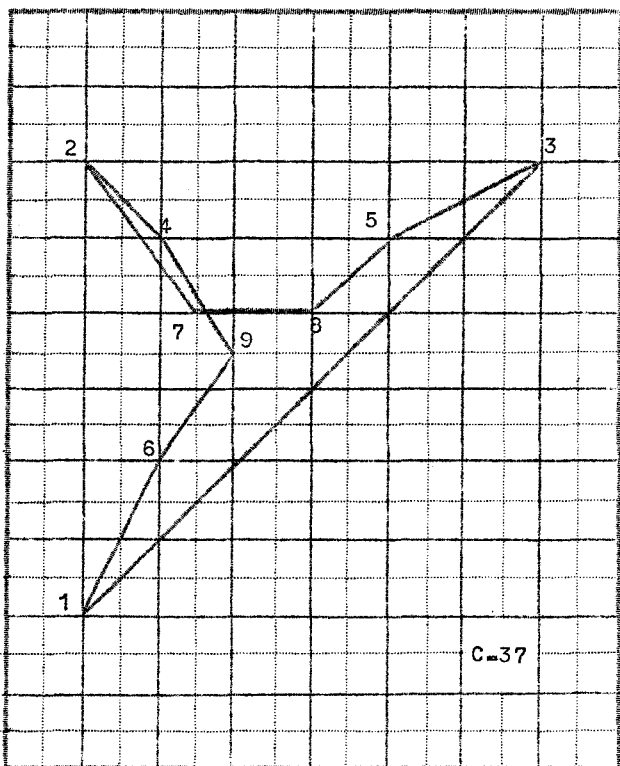
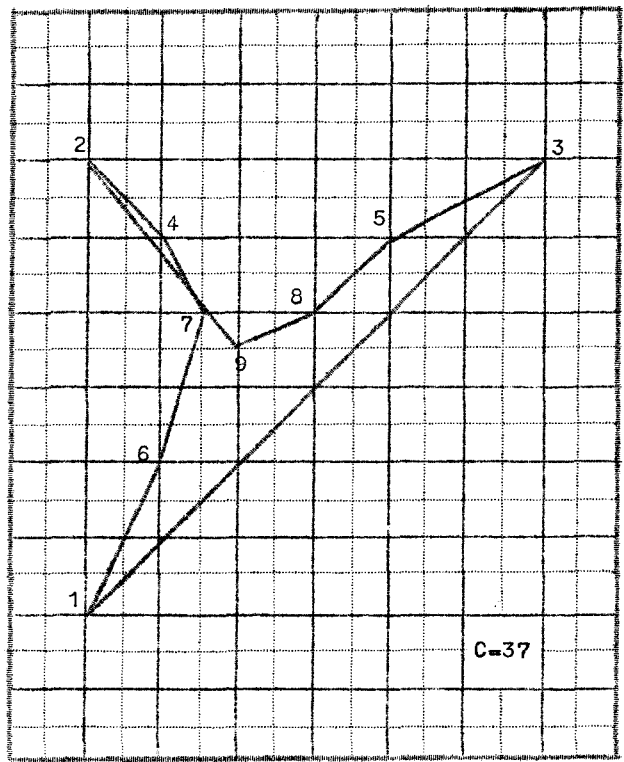
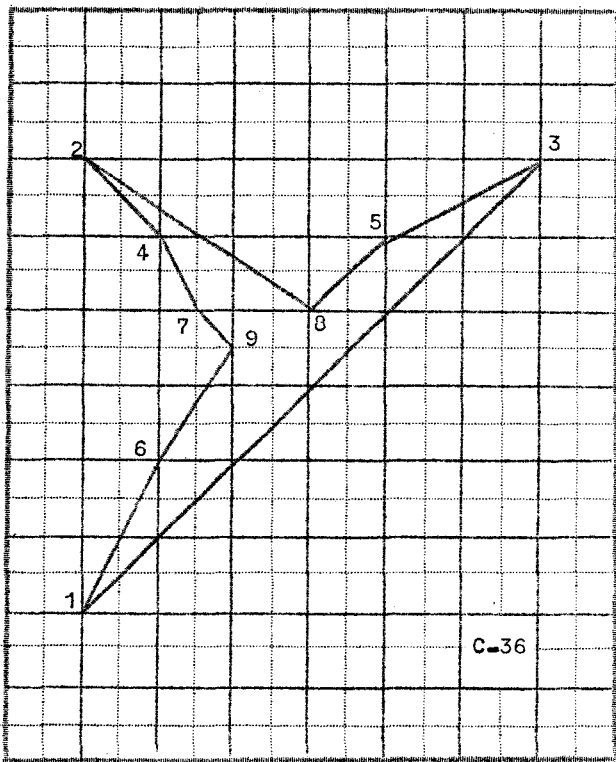


Itinéraire optimal

16 - 42 - 53 - 85 - 31 - 74 - 69 - 28 - 97



Coût = 36



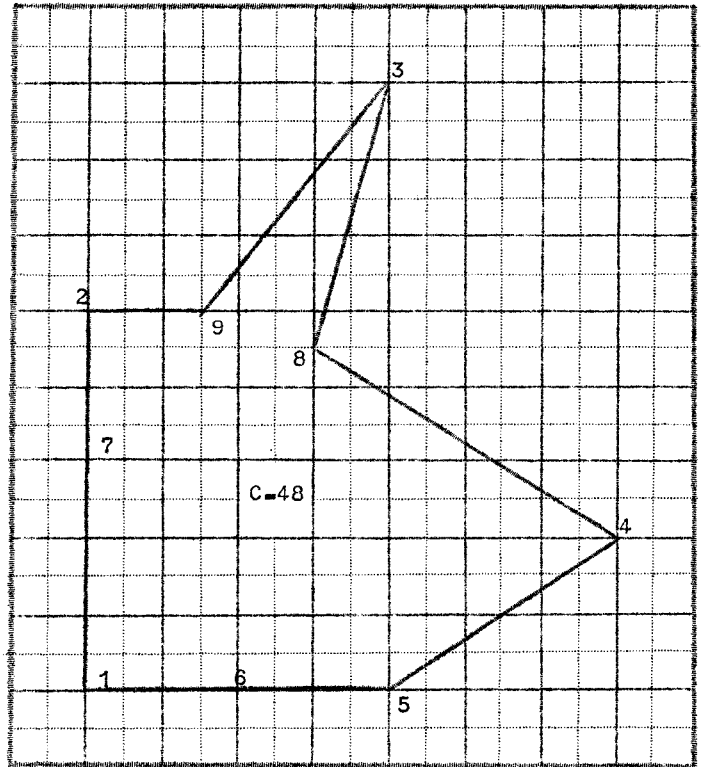
BIRD'S LILLIE

3.1.2.3 Essai 3 .

3.1.2.3.1 Application de l'algorithme heuristique.

Coordonnées des points

1	0	0
2	0	10
3	8	16
4	14	4
5	8	0
6	4	0
7	0	5
8	6	9
9	3	10



Itinéraire obtenu

1 - 7 - 2 - 9 - 3 - 8 - 2 - 5 - 6 - 1

Coût = 48

Matrice des coûts

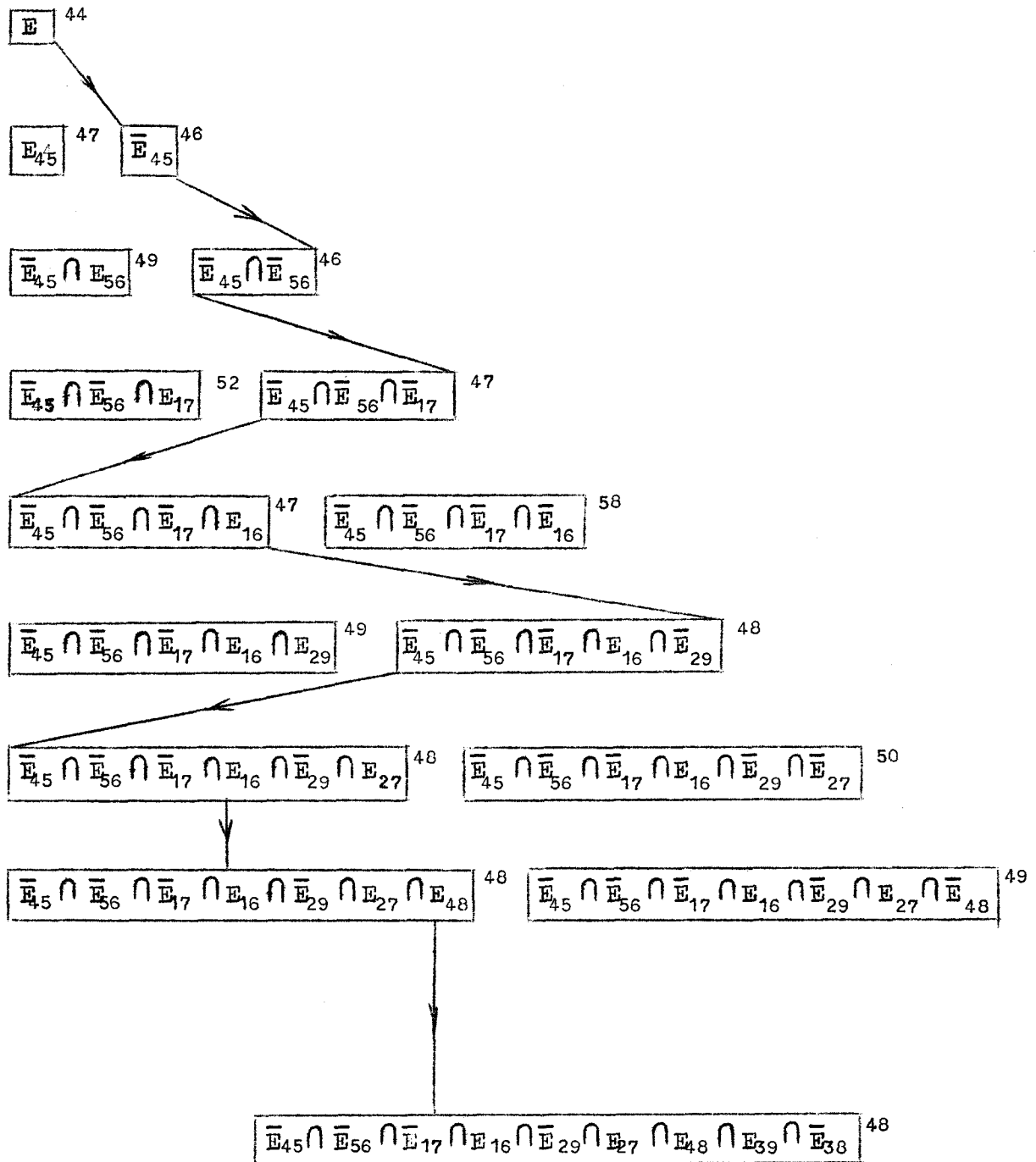
$[\bar{C}] =$

	1	2	3	4	5	6	7	8	9
1	∞	10	16	14	8	4	5	9	10
2	10	∞	8	14	10	10	5	6	3
3	16	8	∞	12	16	16	11	7	6
4	14	14	12	∞	6	10	14	8	11
5	8	10	16	6	∞	4	8	9	10
6	4	10	16	10	4	∞	5	9	10
7	5	5	11	14	8	5	∞	6	5
8	9	6	7	8	9	9	6	∞	3
9	10	3	6	11	10	10	5	3	∞



3.1.2.3.2 Application de l'algorithme de Little.

Arborescence du graphe Es. 3



Itinéraire optimal

54 - 65 - 71 - 16 - 92 - 27 - 48 - 39 - 83

Coût = 48

(même figure que la précédente)

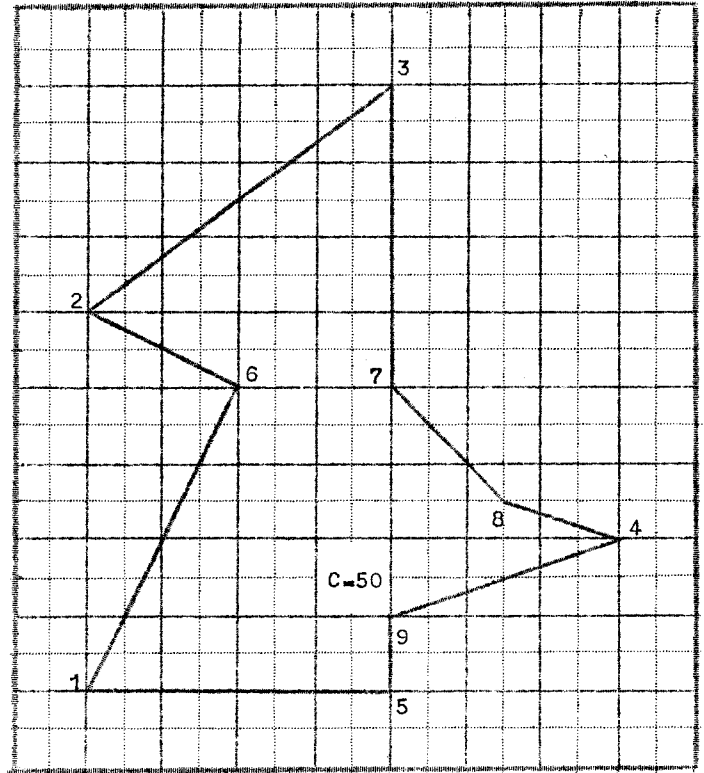


3.1.2.4 Essai 4 .

3.1.2.4.1 Application de l'algorithme heuristique.

Coordonnées des points

1	0	0
2	0	10
3	8	16
4	14	4
5	8	0
6	4	8
7	8	8
8	11	5
9	8	2



Itinéraire obtenu

1 - 6 - 2 - 3 - 7 - 8 - 4 - 9 - 5 - 1

Coût = 50

Matrice des coûts

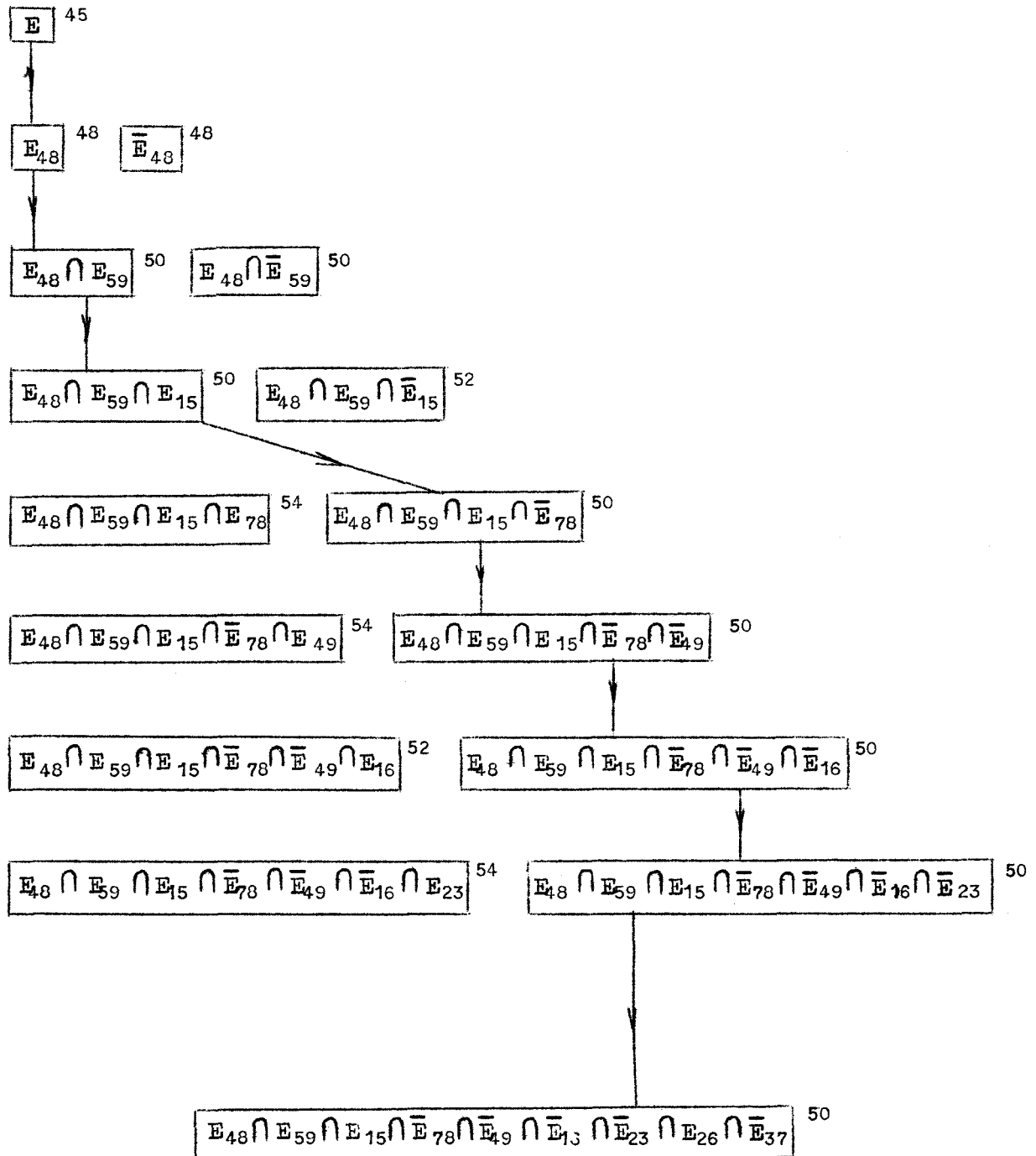
$[\bar{C}] =$

	1	2	3	4	5	6	7	8	9
1	∞	10	16	14	8	8	8	11	8
2	10	∞	8	14	10	4	8	11	8
3	16	8	∞	12	16	8	8	11	14
4	14	14	12	∞	6	10	6	3	6
5	8	10	16	6	∞	8	8	5	2
6	8	4	8	10	8	∞	4	7	6
7	8	8	8	6	8	4	∞	3	6
8	11	11	11	3	5	7	3	∞	3
9	8	8	14	6	2	6	6	3	∞



3.1.2.4.2 Application de l'algorithme de Little.

Arborescence du graphe Es. 4

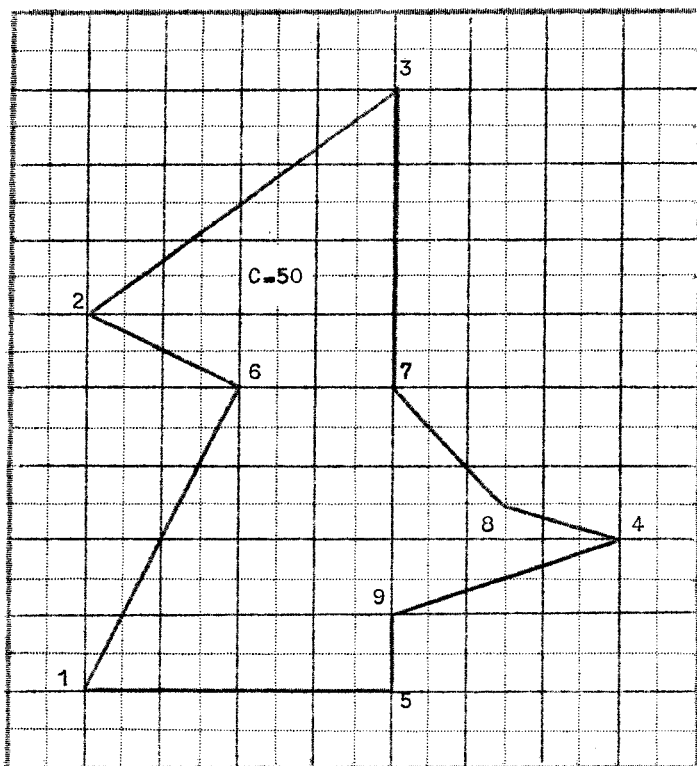
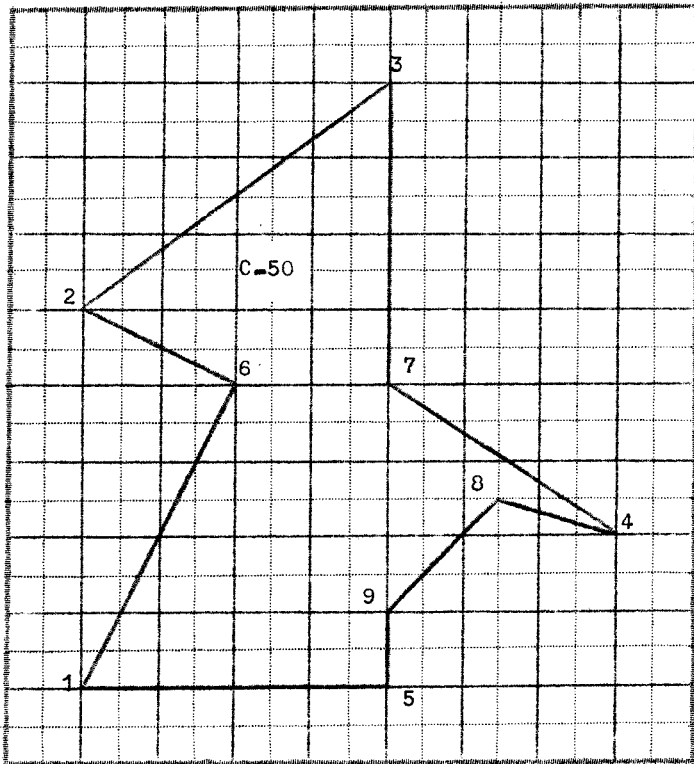


Itinéraire optimal

48 - 59 - 15 - 87 - 94 - 61 - 32 - 26 - 73

Coût = 50



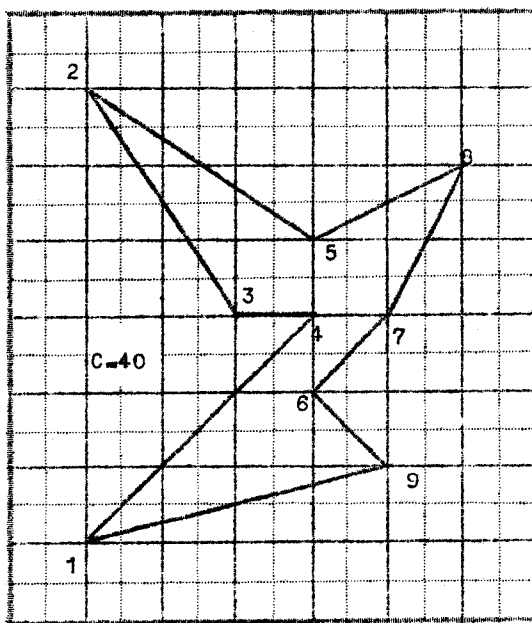


3.1.2.5 Essai 5 .

3.1.2.5.1 Application de l'algorithme heuristique.

Coordonnées des points

1	0	0
2	0	12
3	4	6
4	6	6
5	6	8
6	6	4
7	8	6
8	10	10
9	8	2



Itinéraire obtenu

1 - 4 - 3 - 2 - 5 - 8 - 7 - 6 - 9 - 1

Coût = 40

Matrice des coûts

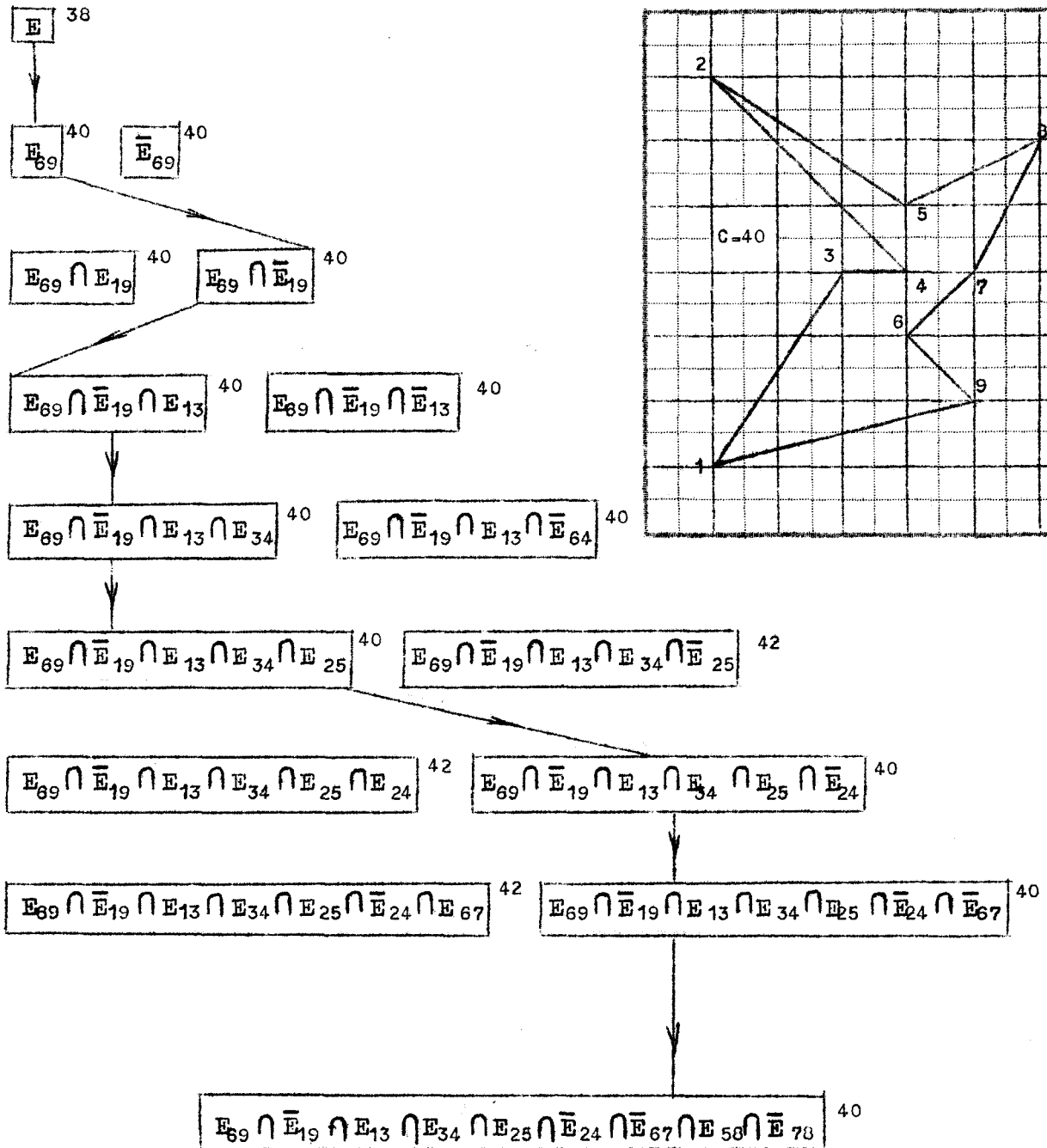
$\overline{[C]}$ =

	1	2	3	4	5	6	7	8	9
1	∞	12	6	6	8	6	8	10	8
2	12	∞	6	6	6	8	8	10	10
3	6	6	∞	2	2	2	4	6	4
4	6	6	2	∞	2	2	2	4	4
5	8	6	2	2	∞	4	2	4	6
6	6	8	2	2	4	∞	2	6	2
7	8	8	4	2	2	2	∞	4	4
8	10	10	6	4	4	6	4	∞	8
9	8	10	4	4	6	2	4	8	∞



3.1.2.5.2 Application de l'algorithme de Little.

Arborescence du graphe Es. 5



Itinéraire optimal

69 - 91 - 13 - 34 - 25 - 42 - 76 - 58 - 87

Coût = 40

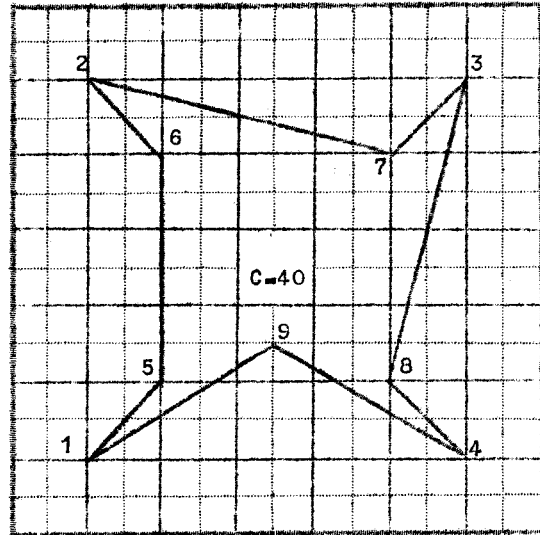


3.1.2.6 Essai 6 .

3.1.2.6.1 Application de l'algorithme heuristique.

Coordonnées des points

1	0	0
2	0	10
3	10	10
4	10	0
5	2	2
6	2	8
7	8	8
8	8	2
9	5	3



Itinéraire obtenu

1 - 5 - 6 - 2 - 7 - 3 - 8 - 4 - 9 - 1

Coût = 40

Matrice des coûts

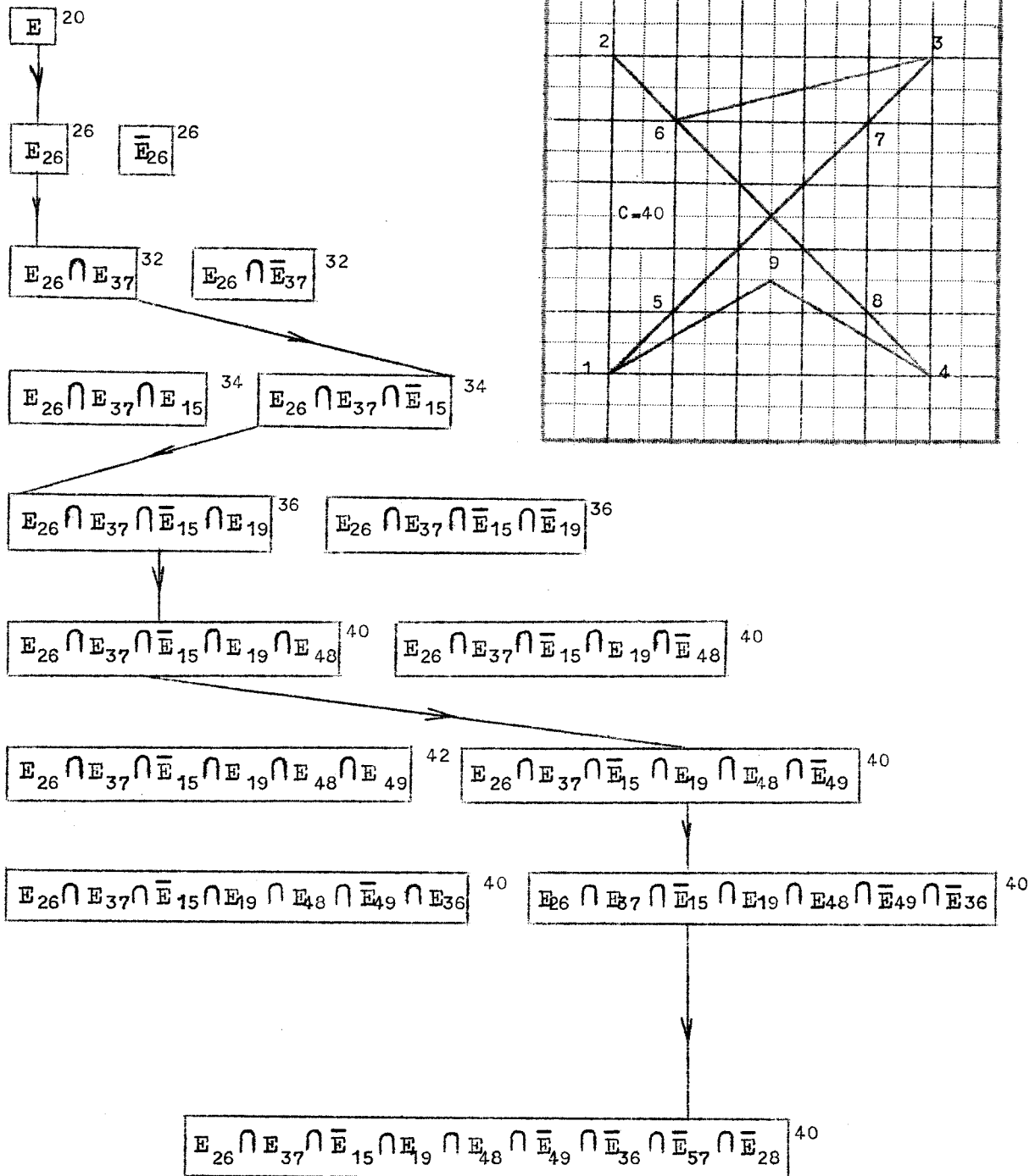
[C̄] =

	1	2	3	4	5	6	7	8	9
1	∞	10	10	10	2	8	8	8	5
2	10	∞	10	10	8	2	8	8	7
3	10	10	∞	10	8	8	2	8	7
4	10	10	10	∞	8	8	8	2	5
5	2	8	8	8	∞	6	6	6	3
6	8	2	8	8	6	∞	6	6	5
7	8	8	2	8	6	6	∞	6	5
8	8	8	8	2	6	6	6	∞	3
9	5	7	7	5	3	5	5	3	∞



3.1.2.6.2 Application de l'algorithme de Little.

Arborescence du graphe Es. 6



Itinéraire optimal

26 - 37 - 51 - 19 - 48 - 94 - 63 - 75 - 82

Coût = 40

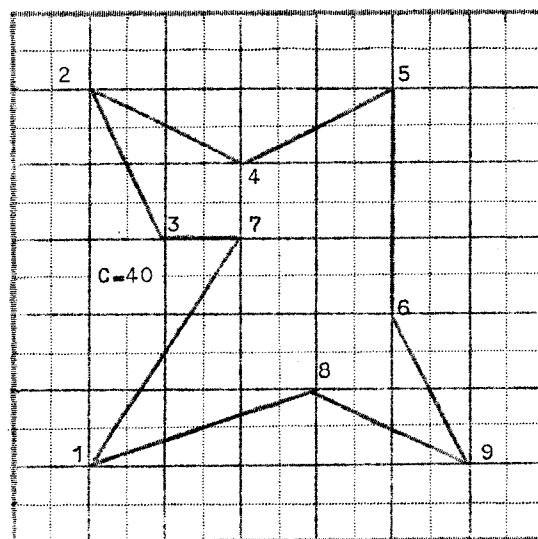


3.1.2.7 Essai 7 .

3.1.2.7.1 Application de l'algorithme heuristique.

Coordonnées des points

1	0	0
2	0	10
3	2	6
4	4	8
5	8	10
6	8	4
7	4	6
8	6	2
9	10	0



Itinéraire obtenu

1 - 7 - 3 - 2 - 4 - 5 - 6 - 9 - 8 - 1

Coût = 40

Matrice des coûts

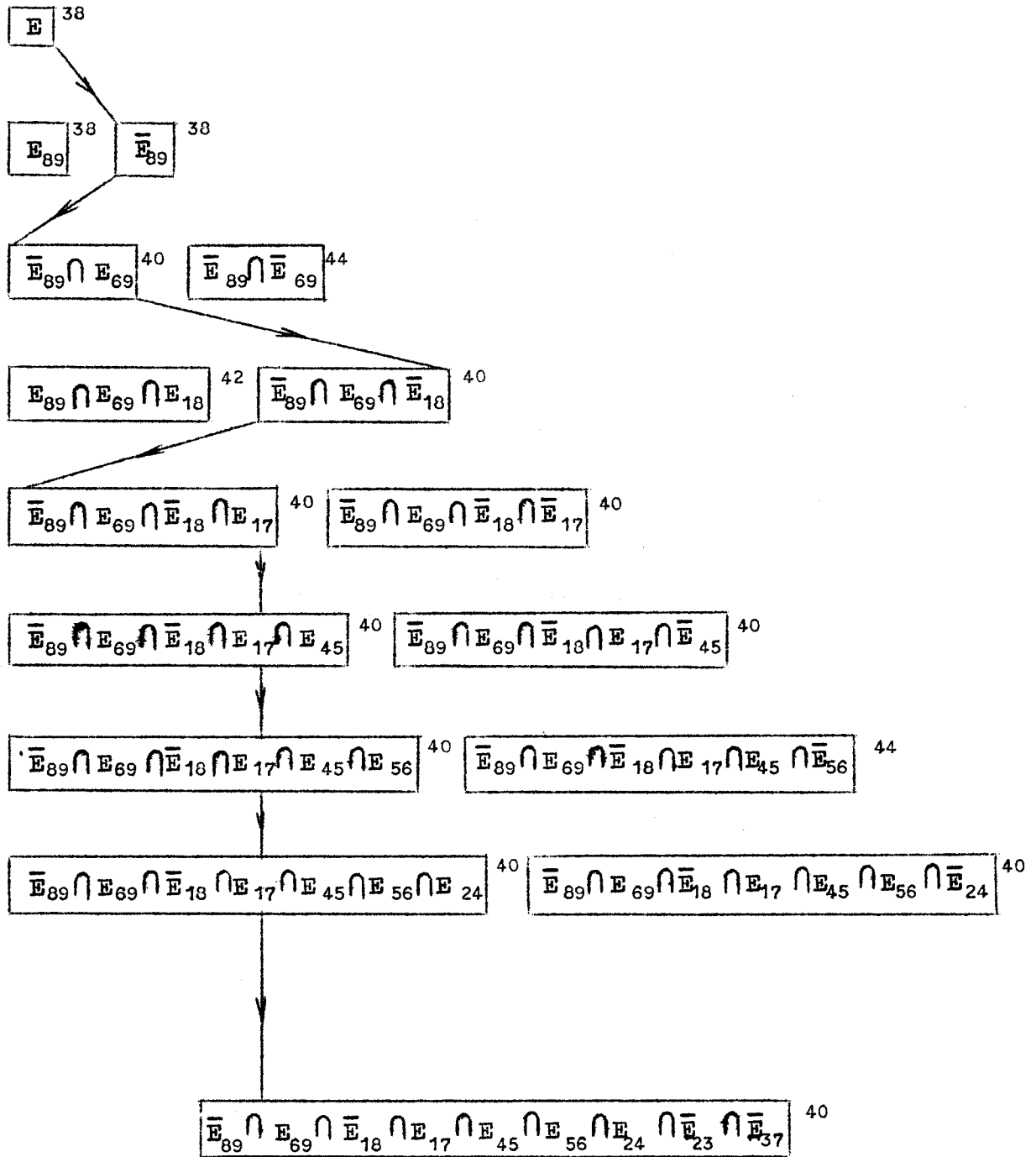
[\bar{C}] =

	1	2	3	4	5	6	7	8	9
1	∞	10	6	8	10	8	6	6	10
2	10	∞	4	4	8	8	4	8	10
3	6	4	∞	2	6	6	2	4	8
4	8	4	2	∞	4	4	2	6	8
5	10	8	6	4	∞	6	4	8	10
6	8	8	6	4	6	∞	4	2	4
7	6	4	2	2	4	4	∞	4	6
8	6	8	4	6	8	2	4	∞	4
9	10	10	8	8	10	4	6	4	∞



3.1.2.7.2 Application de l'algorithme de Little.

Arborescence du graphe Es. 7



Itinéraire optimal

98 - 69 - 81 - 17 - 45 - 56 - 24 - 32 - 73

Coût = 40



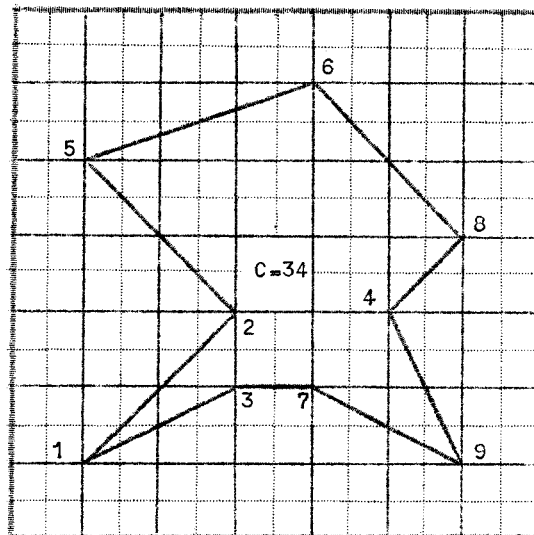
(même figure que la précédente)

3.1.2.8 Essai 8 .

3.1.2.8.1 Application de l'algorithme heuristique.

Coordonnées des points

1	0	0
2	4	4
3	4	2
4	8	4
5	0	8
6	6	10
7	6	2
8	10	6
9	10	0



Itinéraire obtenu

1 - 2 - 5 - 6 - 8 - 4 - 9 - 7 - 3 - 1

Coût = 34

Matrice des coûts

$[\bar{C}] =$

	1	2	3	4	5	6	7	8	9
1	∞	4	4	8	8	10	6	10	10
2	4	∞	2	4	4	6	2	6	6
3	4	2	∞	4	6	8	2	6	6
4	8	4	4	∞	8	6	2	2	4
5	8	4	6	8	∞	6	6	10	10
6	10	6	8	6	6	∞	8	4	10
7	6	2	2	2	6	8	∞	4	4
8	10	6	6	2	10	4	4	∞	6
9	10	6	6	4	10	10	4	6	∞



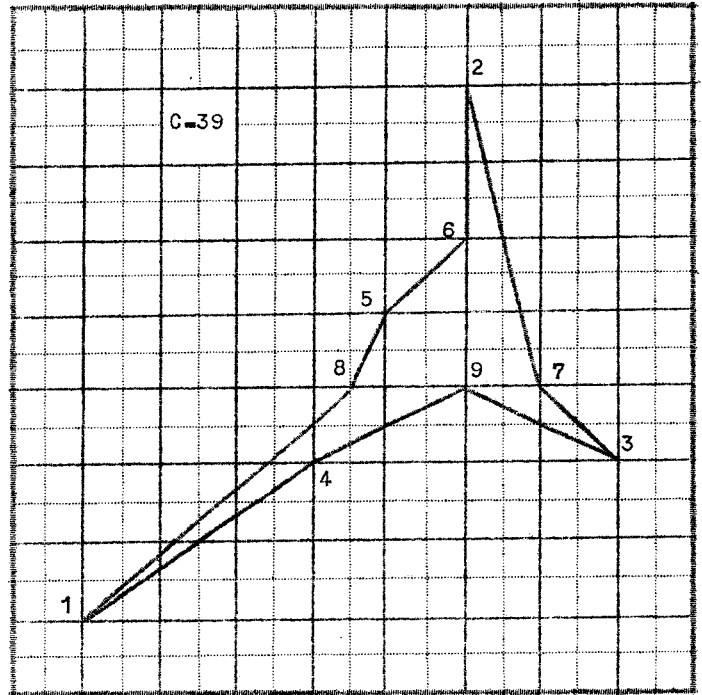
La borne inférieure = 34 . Le circuit obtenu est optimal.

3.1.2.9 Essai 9.

3.1.2.9.1 Application de l'algorithme heuristique.

Coordonnées des points

1	0	0
2	10	14
3	14	4
4	6	4
5	8	8
6	10	10
7	12	6
8	7	6
9	10	6



Itinéraire obtenu

1 - 8 - 5 - 6 - 2 - 7 - 3 - 9 - 4 - 1

Coût = 39

Matrice des coûts

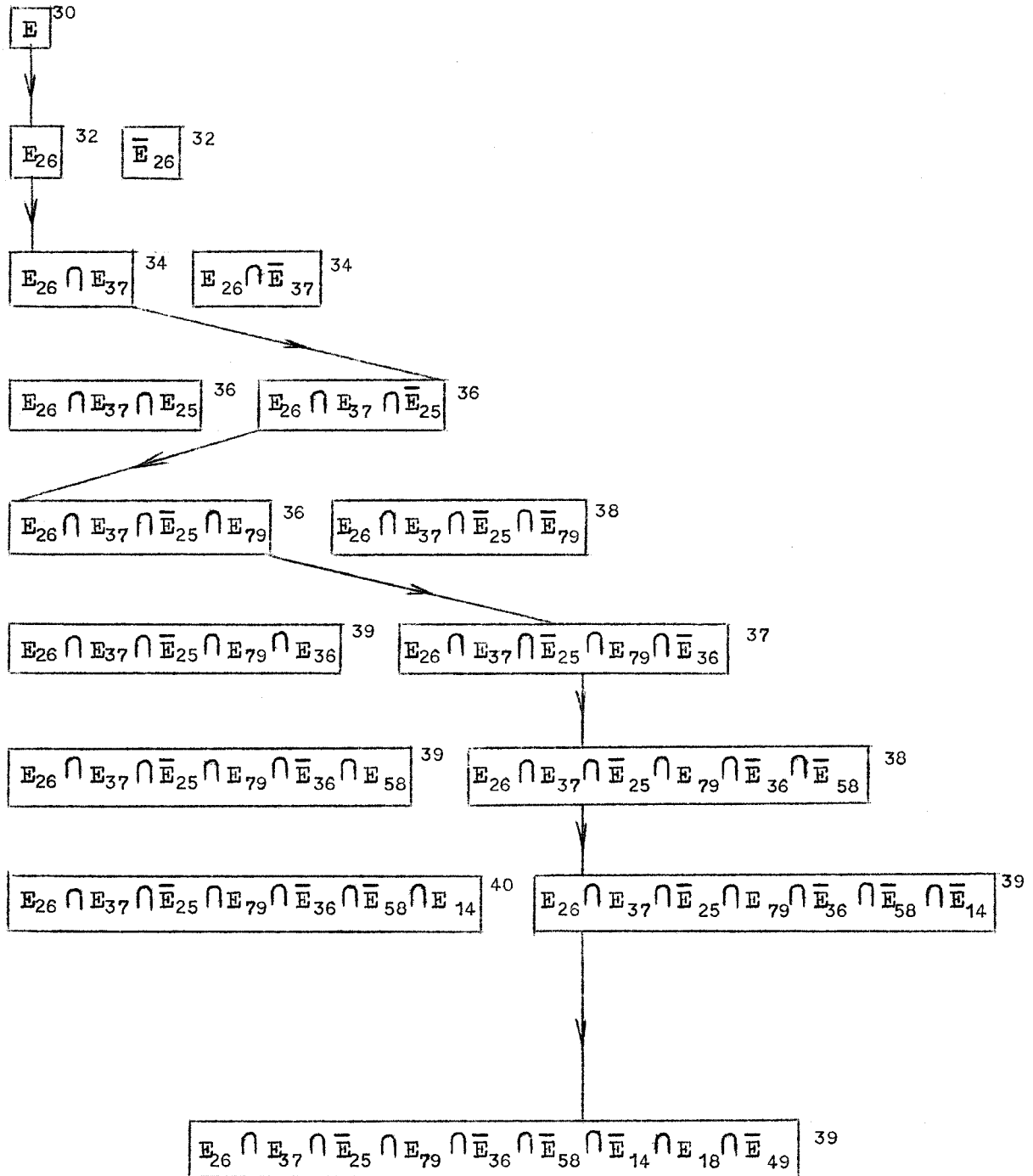
[C] =

	1	2	3	4	5	6	7	8	9
1	∞	14	14	6	8	10	12	7	10
2	14	∞	10	10	6	4	8	8	8
3	14	10	∞	8	6	6	2	7	4
4	6	10	8	∞	4	6	6	2	4
5	8	6	6	4	∞	2	4	2	2
6	10	4	6	6	2	∞	4	4	4
7	12	8	2	6	4	4	∞	5	2
8	7	8	7	2	2	4	5	∞	3
9	10	8	4	4	2	4	2	3	∞



3.1.2.9.2 Application de l'algorithme de Little.

Arborescence du graphe Es. 9

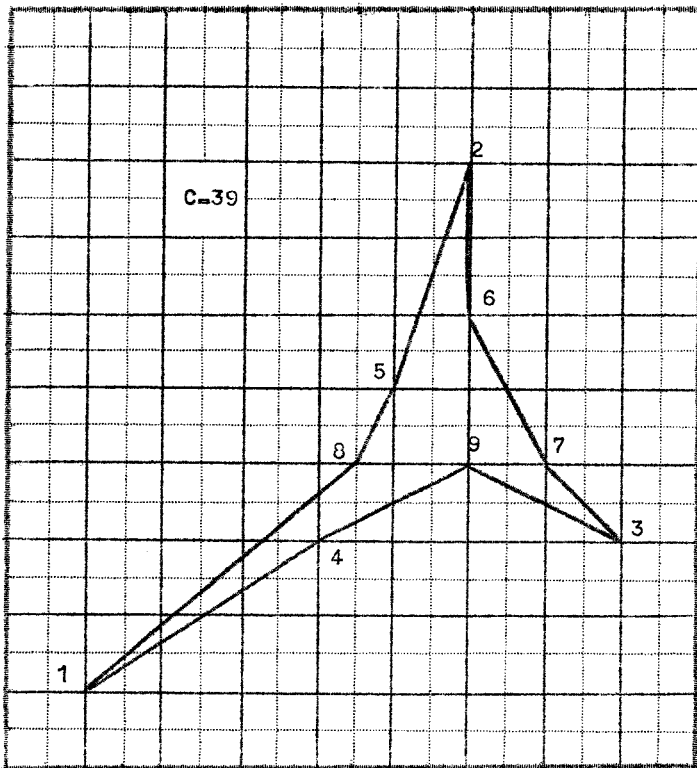
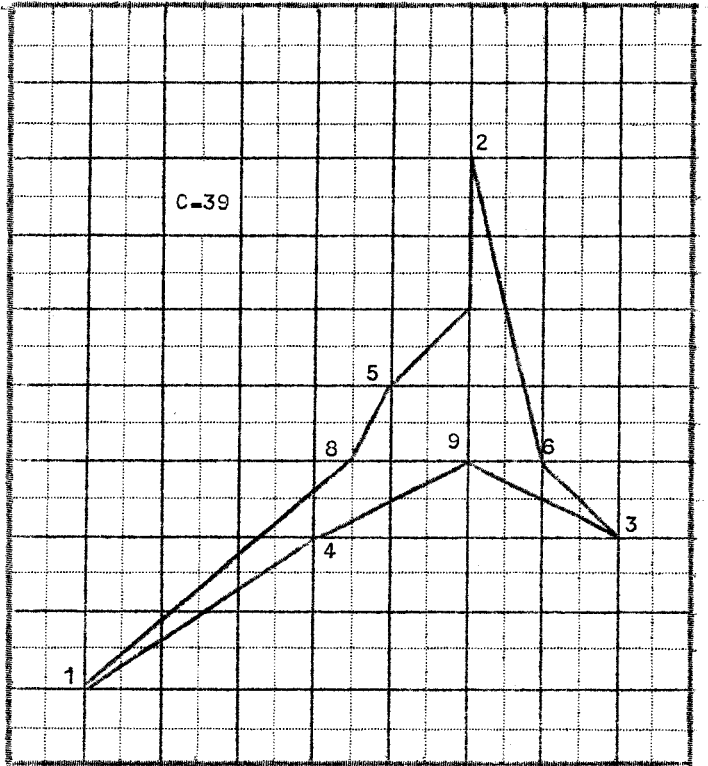
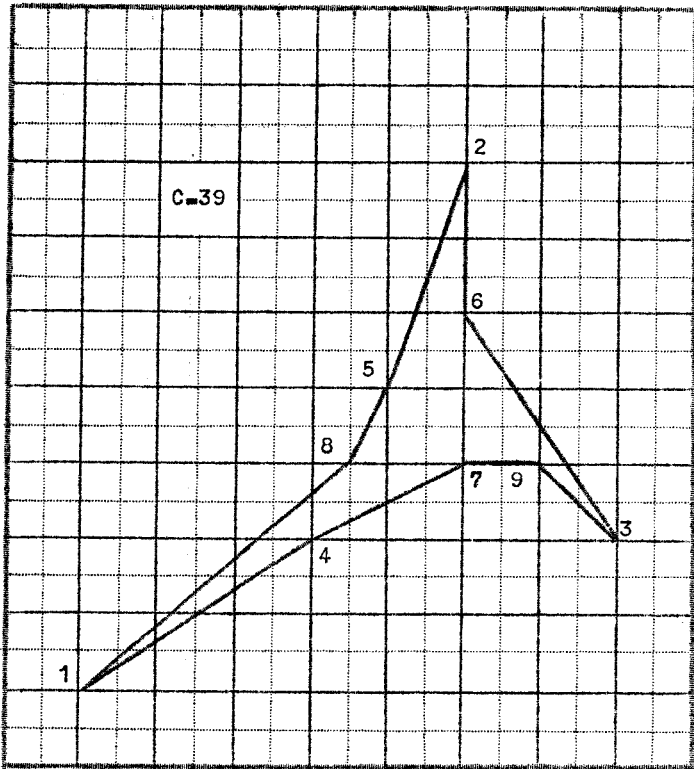


Itinéraire optimal

26 - 37 - 52 - 79 - 63 - 85 - 41 - 18 - 94

Coût = 39



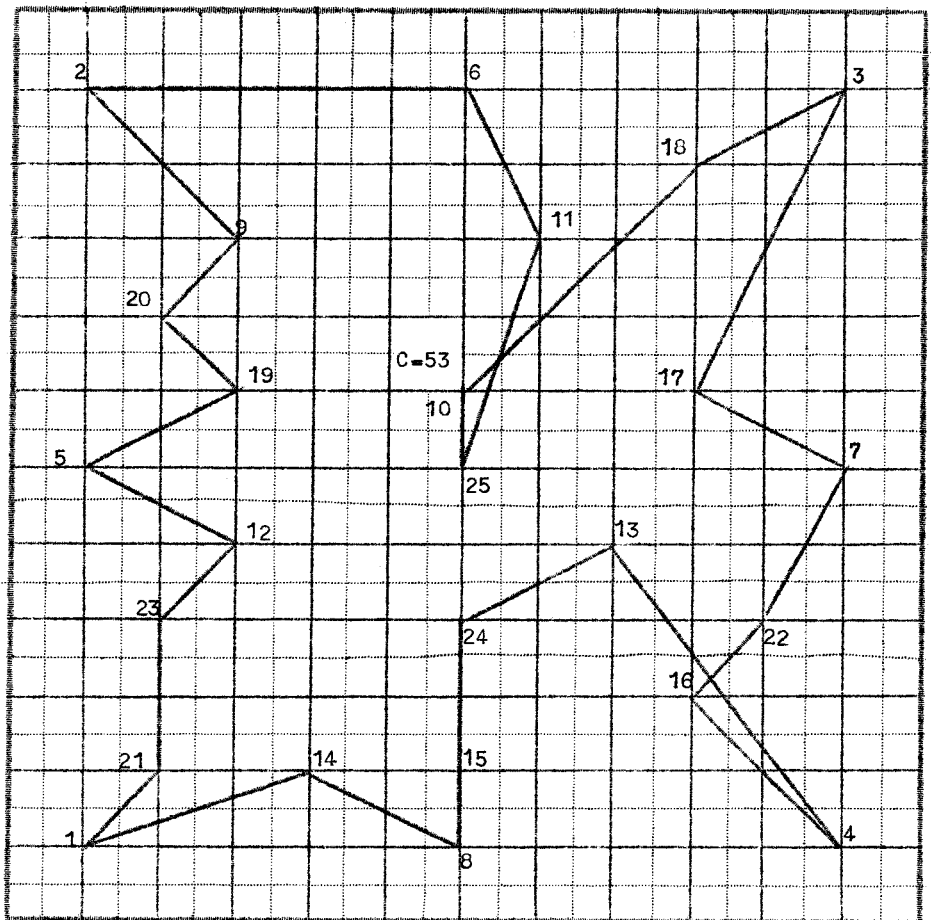


3.1.2.10 Essai 10 .

Application de l'algorithme heuristique

Coordonnées des points

1	0	0
2	0	10
3	10	10
4	10	0
5	0	5
6	5	10
7	10	5
8	5	0
9	2	8
10	5	6
11	6	8
12	2	4
13	7	4
14	3	1
15	5	1
16	8	2
17	8	6
18	8	9
19	2	6
20	1	7
21	1	1
22	9	3
23	1	3
24	5	3
25	5	5



Itinéraire obtenu



1 - 21 - 23 - 12 - 5 - 19 - 20 - 9 - 2 - 6 - 11 - 25 - 10 - 18 - 3 - 17 -
- 7 - 22 - 16 - 4 - 13 - 1

Coût = 53

3.2 ESSAIS INDUSTRIELS.

3.2.1 Commentaires.

Une multitude d'essais a été effectuée sur l'ordinateur HP 21 MX en utilisant le programme complet. Nous donnons ci-après un aperçu de certain de ces essais en donnant quelques résultats.

N ° de la plaquette	Nombre de points	Ancien coût	Nouveau coût	Gain réalisé %	T _c
Es.1 610505	163	684	549	19,7	29,65
Es.2 671397 (a)	487	1202	904	24,8	246,18
Es.3 671397 (b)	373	1404	945	32,7	146
Es.4 671397 (c)	97	719	380	47,2	11,13
Es.5 2413005 (a)	133	650	237	63,5	19,16
Es.6 2413005 (b)	266	2152	986	54,2	73,20
Es.7 2413005 (c)	890	2052	1818	11,4	827,59
Es.8 24151301 (a)	265	3363	1076	68	72,46
Es.9 24151301 (b)	224	2051	902	56	53,11
Es.10 709512	1041	2107	1772	15,9	1112,34
Es.11 709635	376	2156	1544	53,7	146,32
Es.12 709502	508	2346	1544	34,2	274,5
Es.13 2413004	1037	2489	2160	13,2	1114,2
Es.14 671396	530	1625	1312	19,24	234,25

Dans les paragraphes 3.2.2.1, 3.2.2.2, 3.2.2.3 et 3.2.2.4 sont figurés respectivement les résultats des plaquettes Es.1, Es.5, Es.8 et Es.14.

La figure du paragraphe 3.2.2.5 représente le temps de calcul T en fonction du nombre de points à relever. Nous constatons que T (temps réel) suit pratiquement la formule calculée :

$$(T_c = KN^2 + K_1 N$$

$$T_c \approx 0,00105 N^2$$

Remarquons que nous aurions pu compliquer l'algorithme avec certaines règles, données par BARACHET (Réf. 24) et ou par RAYMOND (Réf. 36) pour améliorer le degré d'optimalité de l'itinéraire mais cette opération entraînerait un temps de calcul plus long. Le nouveau bénéfice réalisé est faible et dans beaucoup de cas nul.

En utilisant le critère des moindres carrés l'expression du temps de calcul :

$$T_c = KN^2 + K_1N$$

peut se mettre sous la forme traditionnelle :

$$T_c = a N^b$$

avec :

$$a = e^c$$

$$c = \frac{1}{\Delta} \begin{vmatrix} \sum Y_i & \sum X_i \\ \sum X_i Y_i & \sum X_i^2 \end{vmatrix}$$

$$b = \frac{1}{\Delta} \begin{vmatrix} N' & \sum Y_i \\ \sum X_i & \sum X_i Y_i \end{vmatrix}$$

$$\Delta = \begin{vmatrix} N' & \sum X_i \\ \sum X_i & \sum X_i^2 \end{vmatrix}$$

$$X_i = \ln x_i \quad \text{et} \quad Y_i = \ln y_i$$



N' = nombre de points expérimentaux considéré :

$$(x_i, y_i) \quad V_i = 1, 2, \dots, N'$$

La variance sur les coefficients a, b et c est donnée par :

$$\sigma_a^2 = a^2 \sigma_c^2 \quad \sigma_b^2 = N' \frac{\sigma^2}{\Delta} \quad \sigma_c^2 = \frac{\sigma^2}{\Delta} \sum x_i^2$$

$$\sigma^2 = \frac{1}{N' - 2} (Y_i - c - bX_i)^2$$

En partant de cette technique l'expression du temps de calcul de l'algorithme proposé devient :

$$T_c = 0,00138 N^{1,955}$$

L'algorithme heuristique connu comme étant le meilleur à l'heure actuelle est celui de WEBB (Thèse de VAN DER CRUYSSSE Université d'Anvers - 1976) avec un temps de calcul $T_c = 0,00625 N^{1,8}$

Pour un problème à 10 noeuds, l'algorithme de WEBB donne une erreur de 4,36% sur l'optimalité et un T_c de 0,39 sec. L'algorithme heuristique que nous proposons donne pour un problème identique respectivement 0% d'erreur et $T_c = 0,125$ sec.

(mais $\hat{c}_y = \text{durée}$)

Note :

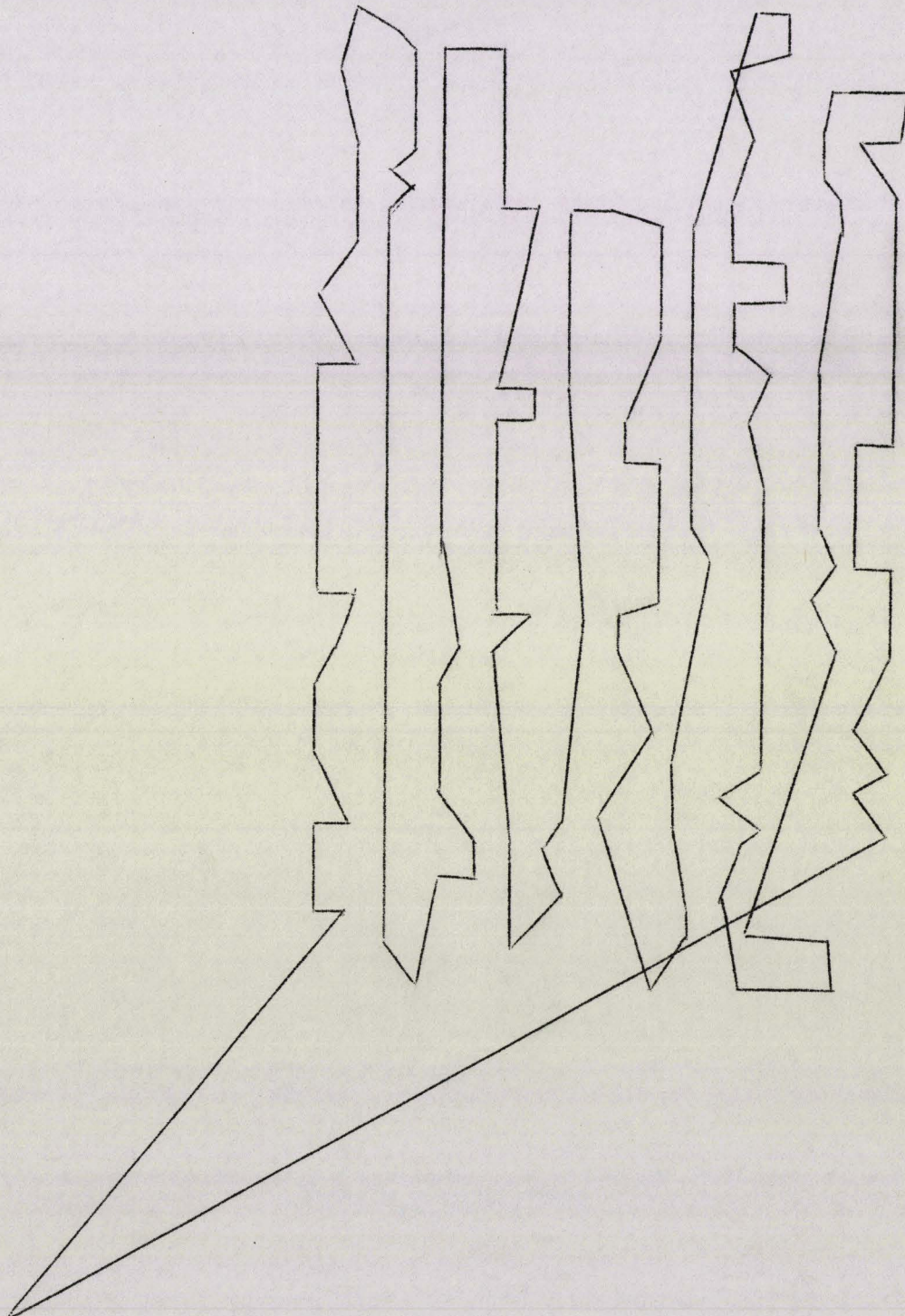
$$T_c \text{ (S.E.P)} = 0,00339 N^{3,36} \\ \text{erreur} = 0\%$$

3.2.2 Résultats.

3.2.2.1 Essai 1 .

3.2.2.1.1 Application de l'heuristique.

3.2.2.1.1.1 Ancien itinéraire (N = 163) .

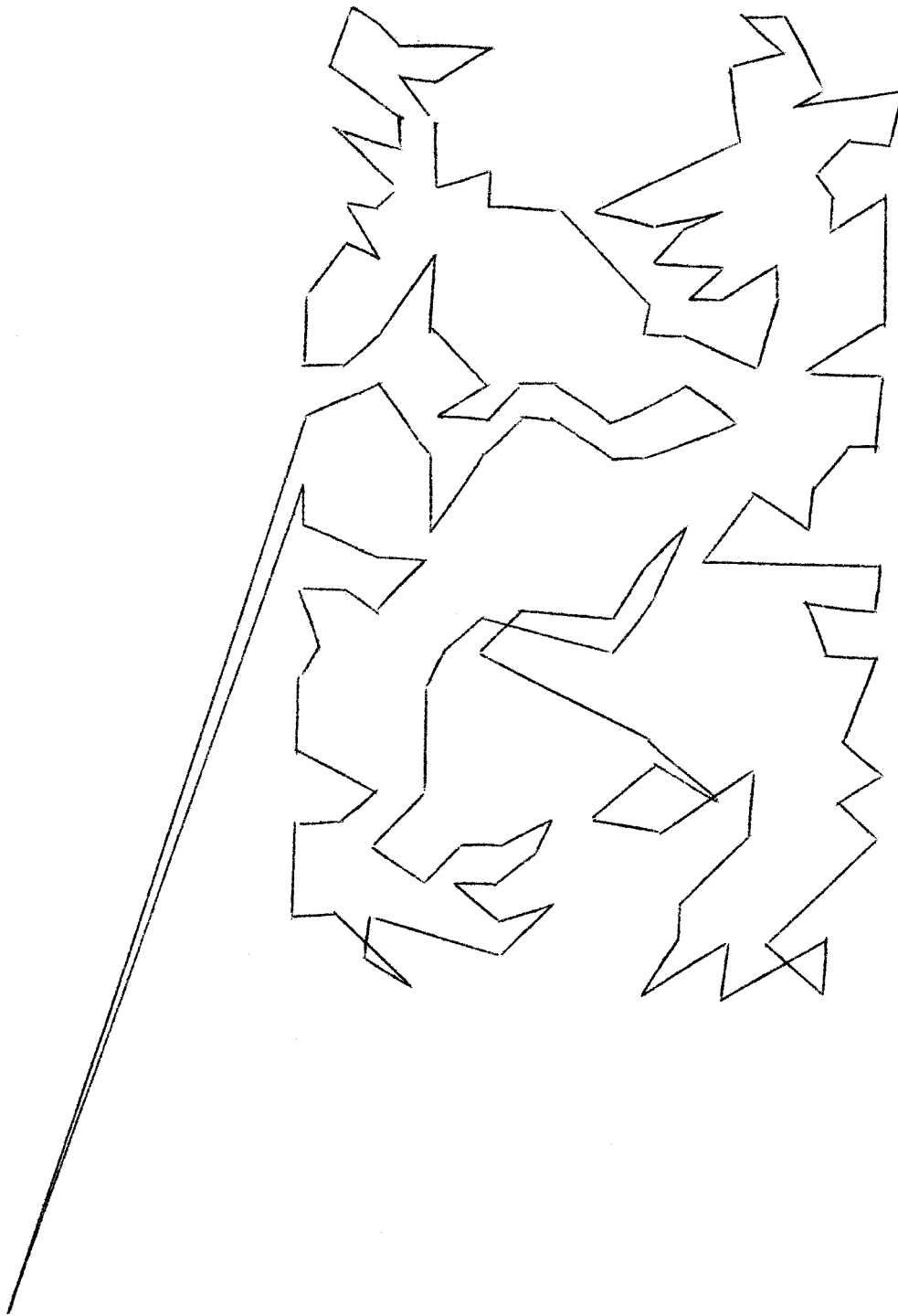


3.2.2.1.1.2 Nouvel itinéraire.

Gain 19,75 %

T = 29,65 sec

N = 163



3.2.2.1.1.3 Extrait de la feuille de calcul.

ER ZIJN 163 PUNTEN IN BESTAND AP2
ER ZIJN 163 PUNTEN IN BESTAND AP2
OORSPRONKELIJKE WEGLENGTE = 684.975
OORSPRONKELIJKE WEGLENGTE = 684.975
1~~0~~ H 43 M 54 S 46.
1~~0~~ H 43 M 54 S 46.
LOOP< 2 = 23
LOOP< 3 = 113

LOOP< 4> = 146
LOOP< 5> = 147
LOOP< 6> = 15~~0~~
LOOP< 7> = 153
LOOP< 8> = 151
LOOP< 9> = 163
LOOP< 1~~0~~> = 132
LOOP< 11> = 1

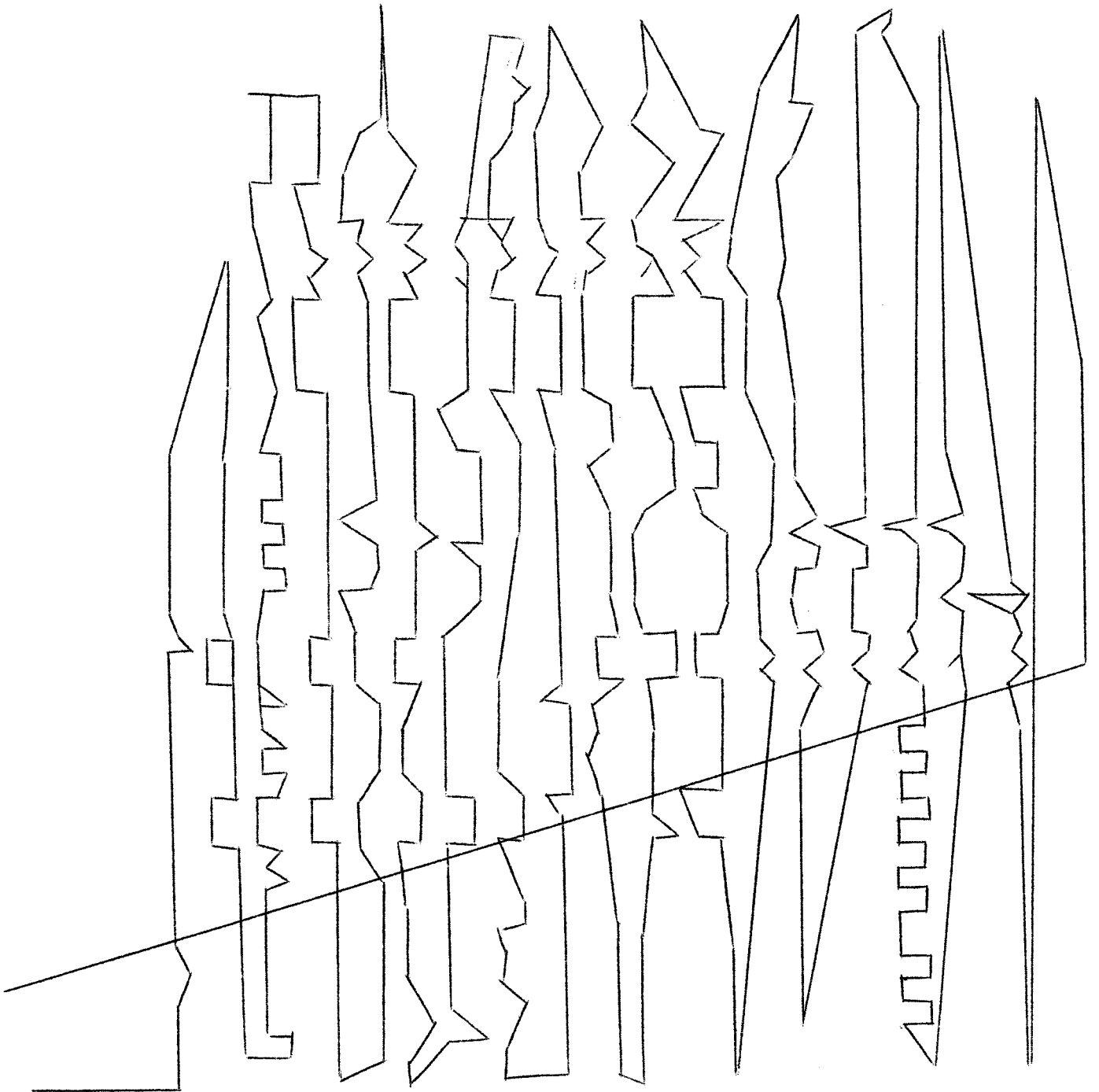
VERBETERINGSFACTOR : 1. ~~00~~ : NA 1 LOOPS ZIJN ER
VERBETERINGSFACTOR : 1. ~~00~~ : NA 1 LOOPS ZIJN ER
1~~0~~ H 44 M 23 S 52.
1~~0~~ H 44 M 23 S 52.
OUDE WEG = 684.97
NIEUWE WEG = 549.64
WINST = 19.76 %

1	15	34	53	52	51	71	69	83	92
93	124	1 07	91	84	68	7 0	54	67	55
56	57	33	17	16	18	19	32	2 0	31
3 0	29	21	28	27	22	23	24	25	62
63	61	26	5 0	59	58	64	65	66	85
89	9 0	1 08	122	123	12 0	119	121	1 09	118
11 0	98	111	117	87	86	116	115	114	112
113	145	144	146	147	148	143	142	141	149
15 0	151	14 0	152	153	154	155	139	138	125
1 05	137	156	157	158	136	135	159	16 0	161
162	163	134	132	133	131	13 0	1 00	1 01	1 02
129	128	126	1 03	99	1 04	127	98	74	73
82	96	94	1 06	95	97	72	49	48	47
46	45	38	42	44	75	81	8 0	76	43
77.	79	78	39	4 0	41	2	3	4	5
6	37	7	8	9	1 0	12	11	36	5 0
35	13	14	1						

3.2.2.2 Essais 14 .

3.2.2.2.1 Application de l'heuristique.

3.2.2.2.1.1 Ancien itinéraire (N = 530) .

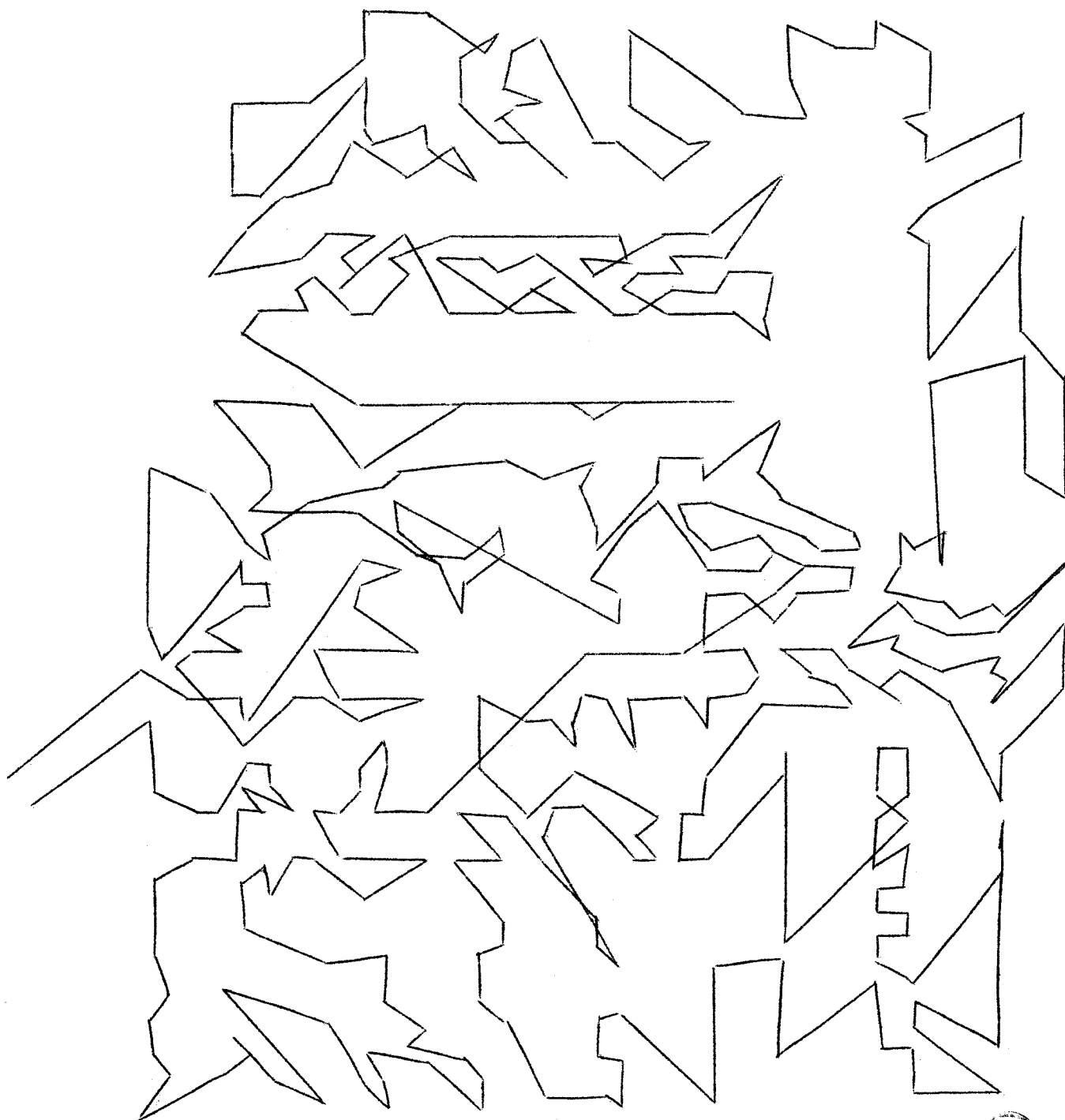


3.2.2.2.1.2 Nouvel itinéraire.

Gain 19,24 %

T = 234,25 sec

N = 530



3.2.2.2.1.3 Extrait de la feuille de calcul.

ER ZIJN 530 PUNTEN IN BESTAND AP19
ER ZIJN 530 PUNTEN IN BESTAND AP19
OORSPRONKELIJKL. WEGLENGTE = 1626.129
OORSPRONKELIJKE WEGLENGTE = 1626.129

12 H 55 M 42 S 51.

12 H 55 M 42 S 51.

LOOP< 2> = 79

LOOP< 3> = 1.35

LOOP< 4> = 1.99

LOOP< 5> = 4.18

LOOP< 7> = 523

LOOP< 8> = 424

LOOP< 9> = 525

LOOP< 10> = 508

LOOP< 11> = 1

VERBETERINGSFACTOR : 1. 00 : NA 1 LOOPS ZIJN ER

VERBETERINGSFACTOR : 1. 00 : NA 1 LOOPS ZIJN ER

13 H 0 M 33 S 76.

13 H 0 M 33 S 76.

OUDE WEG = 1.626.13

NIEUWE WEG = 1.313.33

WINST = 19.24 %

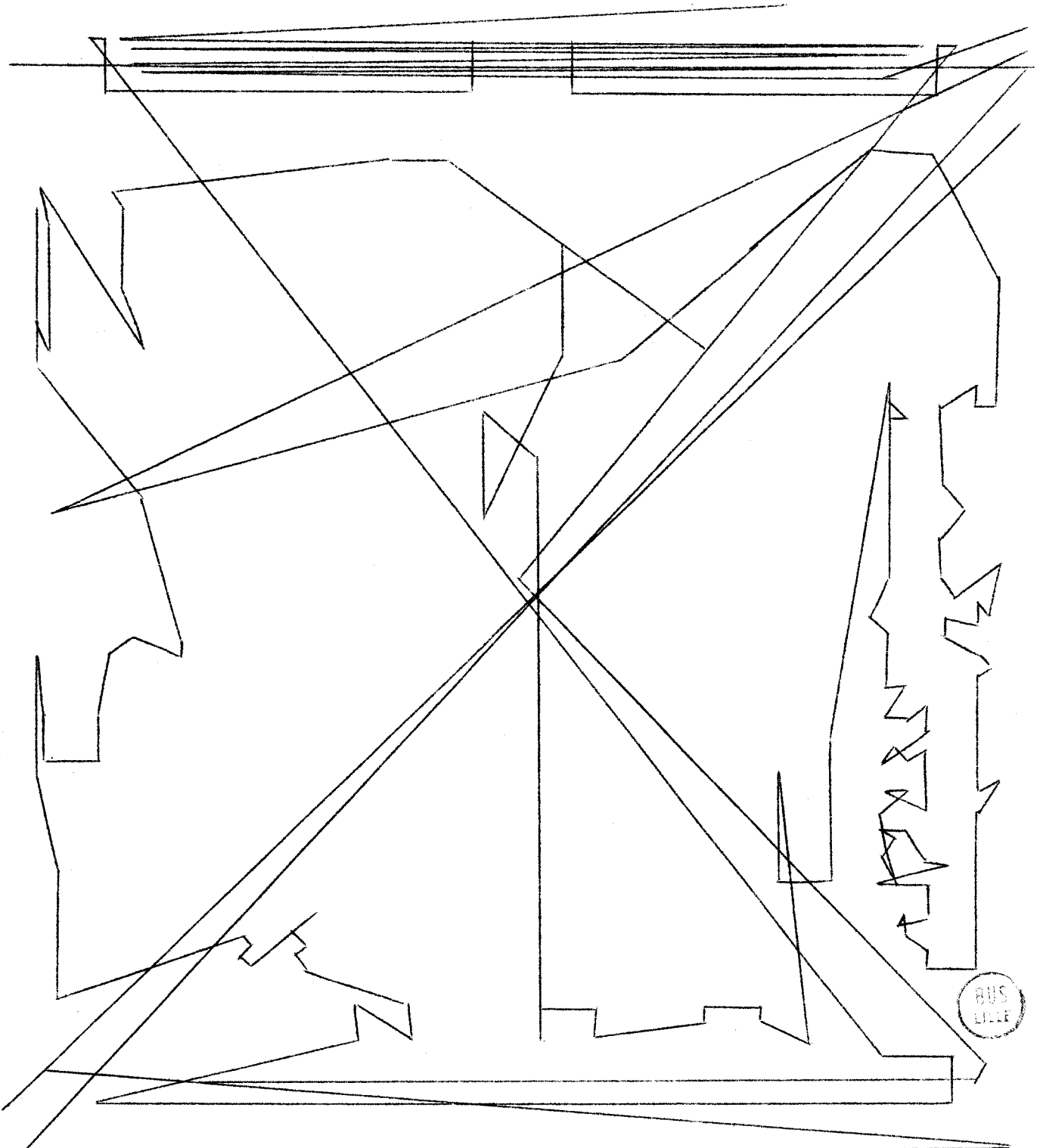
1	14	31	32	57	55	93	113	116	152
115	114	177	153	154	112	92	111	155	156
176	110	95	94	56	54	15	30	29	58
402	352	353	354	368	263	281	282	285	284
283	235	232	231	230	229	228	227	173	225
225	174	223	224	235	279	280	287	237	239
278	288	289	290	291	292	277	238	222	221
220	241	240	276	275	273	274	293	294	295
344	346	345	357	358	359	342	341	340	360
287	385	412	413	414	384	386	343	296	297
271	272	242	175	160	159	158	157	189	188
107	96	106	162	161	172	105	99	98	44
46	45	43	42	100	163	164	165	171	186
170	233	234	169	104	167	168	103	101	37
40	102	39	41	38	2	530	3	4	5
6	7	8	9	35	36	47	48	49	51
97	50	53	52	33	34	10	11	12	13



3.2.2.3 Essais 5 .

3.2.2.3.1 Application de l'heuristique.

3.2.2.3.1.1 Ancien itinéraire (N = 133) .

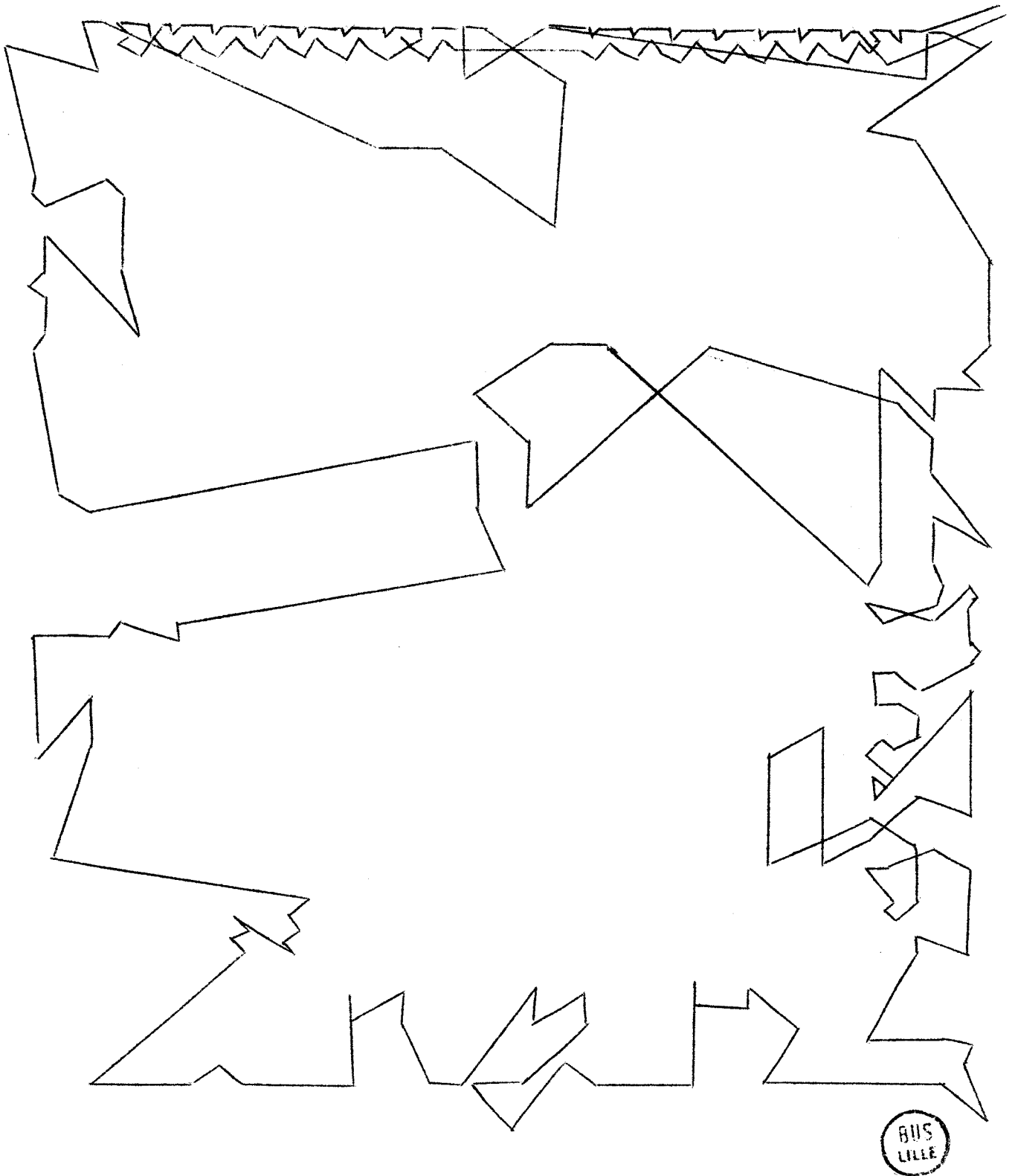


3.2.2.3.1.2 Nouvel itinéraire.

Gain 63,50 %

T = 19,160 sec

N = 133



3.2.2.3.1.3 Extrait de la feuille de calcul.

ER ZIJN 133 PUNTEN IN BESTAND AP8
ER ZIJN 133 PUNTEN IN BESTAND AP8
OORSPRONKELIJKE WEGLENGTE = ~~650.000~~
OORSPRONKELIJKE WEGLENGTE = ~~650.000~~
11 H 2 M 57 S 43.
11 H 2 M 57 S 43.
LOOP< 2> = 133
LOOP< 3> = 118
LOOP< 4> = ~~100~~
LOOP< 5> = 3
LOOP< 6> = 1
VERBETERINGSFACTOR : 1. ~~00~~ : NA 1 LOOPS ZIJN ER
VERBETERINGSFACTOR : 1. ~~00~~ : NA 1 LOOPS ZIJN ER
11 H 3 M 16 S 59.
11 H 3 M 16 S 59.
OUDE WEG = ~~650.000~~
NIEUWE WEG = ~~237.000~~
WINST = 63.54 %

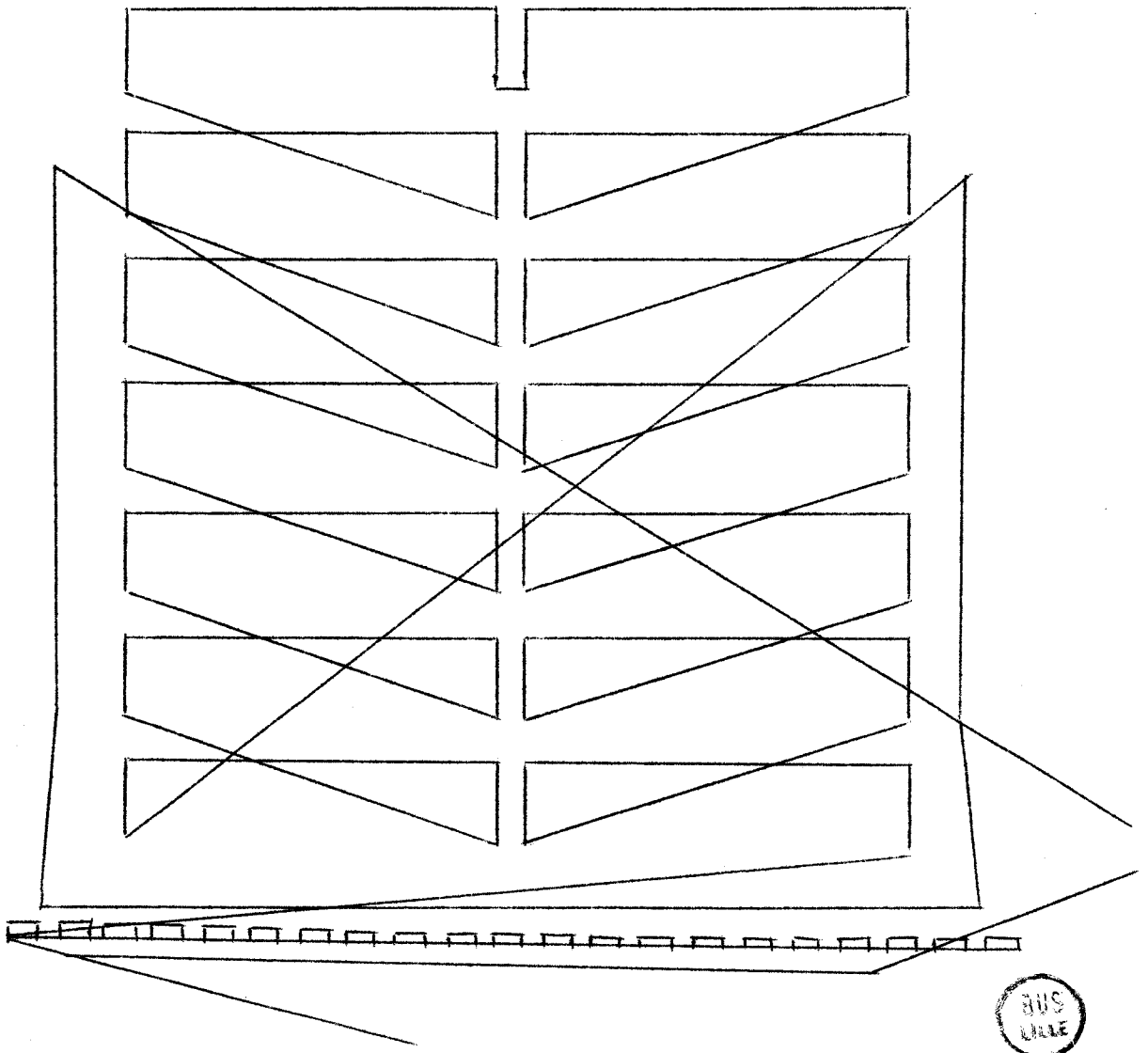
1	117	133	62	61	95	60	59	58	57
94	56	55	54	53	92	52	51	50	49
90	48	47	46	45	88	44	43	42	41
86	40	39	38	37	84	36	35	34	33
32	82	31	30	29	28	80	27	26	25
24	78	23	22	21	20	76	19	18	17
16	74	15	14	13	12	72	11	10	9
8	70	7	6	118	100	68	2	3	4
5	69	101	119	71	102	120	73	103	121
75	104	122	77	105	123	79	106	124	81
107	125	83	108	109	126	85	110	127	87
111	128	99	112	129	91	113	130	93	114
131	95	115	132	97	115	98	63	64	65
99	66	67	1						



3.2.2.4 Essais 8 .

3.2.2.4.1 Application de l'heuristique.

3.2.2.4.1.1 Ancien itinéraire (N = 265) .

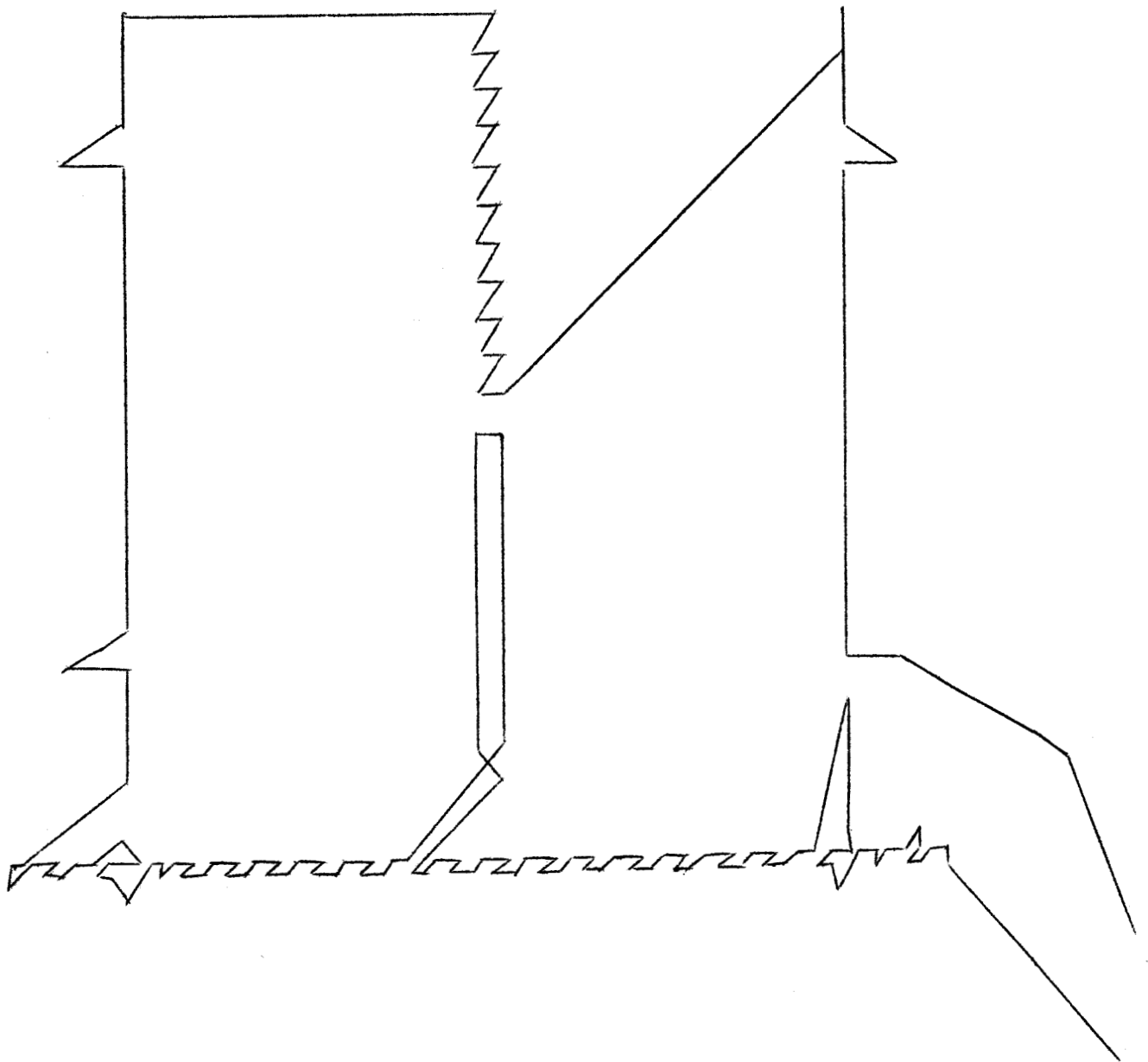


3.2.2.4.1.2 Nouvel itinéraire.

Gain 68 %

T = 72,460 sec

N = 265



3.2.2.4.1.3 Extrait de la feuille de calcul.

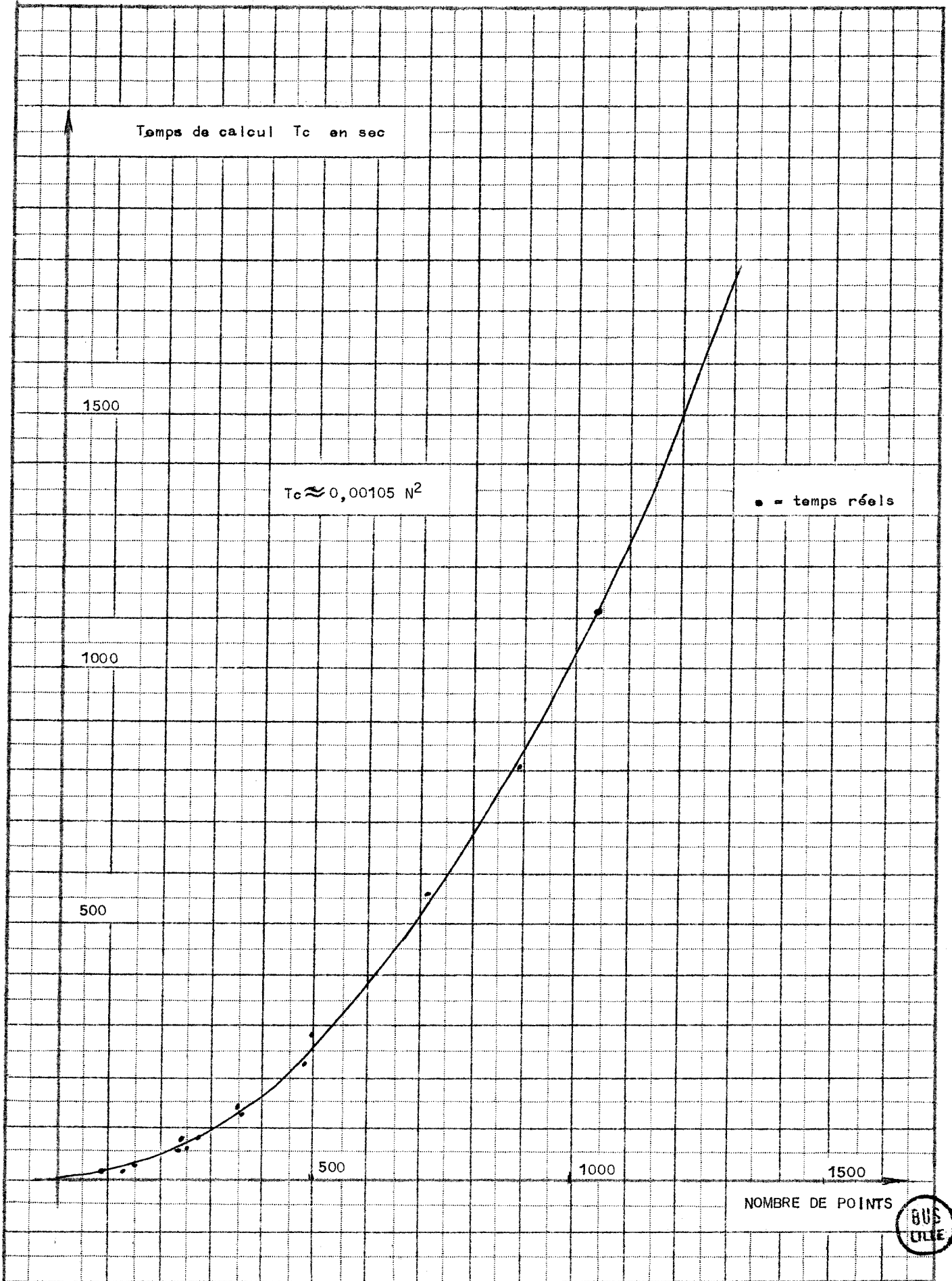
ER ZIJN 265 PUNTEN IN BESTAND AP11
ER ZIJN 265 PUNTEN IN BESTAND AP11
OORSPRONKELIJKE WEGLENGTE = 3363.5~~00~~
OORSPRONKELIJKE WEGLENGTE = 3363.5~~00~~
11 H 21 M 55 S 83.
11 H 21 M 55 S 83.
LOOP< 2> = 2
LOOP< 3> = 169
LOOP< 4> = 252
LOOP< 5> = 216
LOOP< 6> = 2~~08~~
LOOP< 7> = 255
LOOP< 9> = 263

VERBETERINGSFACTOR : 1.~~00~~ : NA 1 LOOPS ZIJN ER
VERBETERINGSFACTOR : 1.~~00~~ : NA 1 LOOPS ZIJN ER
11 H 23 M 8 S 29.
11 H 23 M 8 S 29.
OUDE WEG = 3363.5~~0~~
NIEUWE WEG = 1~~0~~76.75
WINST = 67.99 %

1	3	4	5	6	7	8	1 0	11	9
257	12	13	14	15	18	16	17	19	264
26	27	25	24	23	22	21	2 0	258	171
172	173	28	229	3 0	31	32	34	35	33
36	37	38	39	4 0	42	43	41	44	45
46	47	48	5 0	51	49	52	53	54	55
56	58	59	57	6 0	61	62	63	64	66
67	65	68	69	7 0	71	72	74	75	73



3.2.2.5 Temps de calcul (T_c) .



CONCLUSION GENERALE

L'algorithme heuristique que nous avons présenté, ne garantit pas la solution optimale (ce serait trop beau) mais il donne une très "bonne" solution pratique en un temps de calcul très court.

Compte tenu de ce temps de calcul et du degré d'optimalité obtenu, il fournit à notre humble avis, des résultats meilleurs que ceux obtenus avec les algorithmes heuristiques de KARG-THOMPSON (Réf. 31) et de WEBB.

Nous pensons que l'originalité de la méthode se trouve dans l'introduction et la formation initiale des graphes traversant l'ensemble des points. Ces graphes permettent une très bonne sélection des points en vue de l'évaluation de l'itinéraire. En plus, en considérant comme point de départ de la procédure les éléments situés sur le graphe G1 on divise le nombre de possibilités par un facteur :

$$\frac{a - 1}{2} !$$

L'algorithme heuristique décrit dans ce travail ne prétend pas avoir résolu le problème difficile posé, mais constitue un outil assez puissant pour obtenir une bonne solution pratique - et pratiquement il vaut mieux de disposer d'un petit outil de travail que de devoir trop longtemps attendre le "bulldozer scientifique analytique".

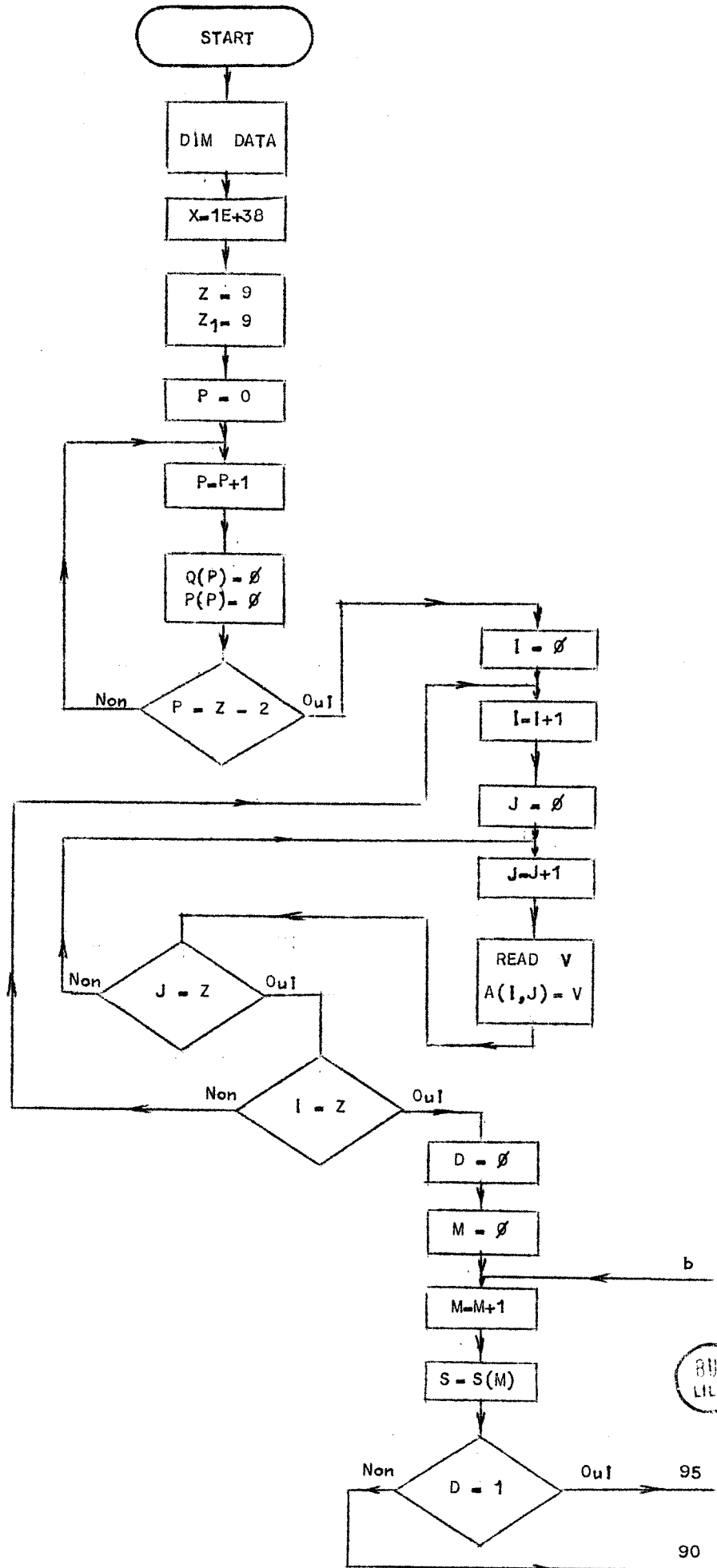
L'adoption d'une méthode heuristique est uniquement basée sur les résultats qu'elle procure; il est d'ailleurs, à l'heure actuelle, assez difficile de tester analytiquement la solution obtenue pour un ensemble élevé de points

" Such a judgment is, of course, bound to be condemned as subjective and unscientific however, we simply cannot wait until the theorists have developed a truly exact method and, as engineers, must proceed with the job of solving the problem with the resources at hand"

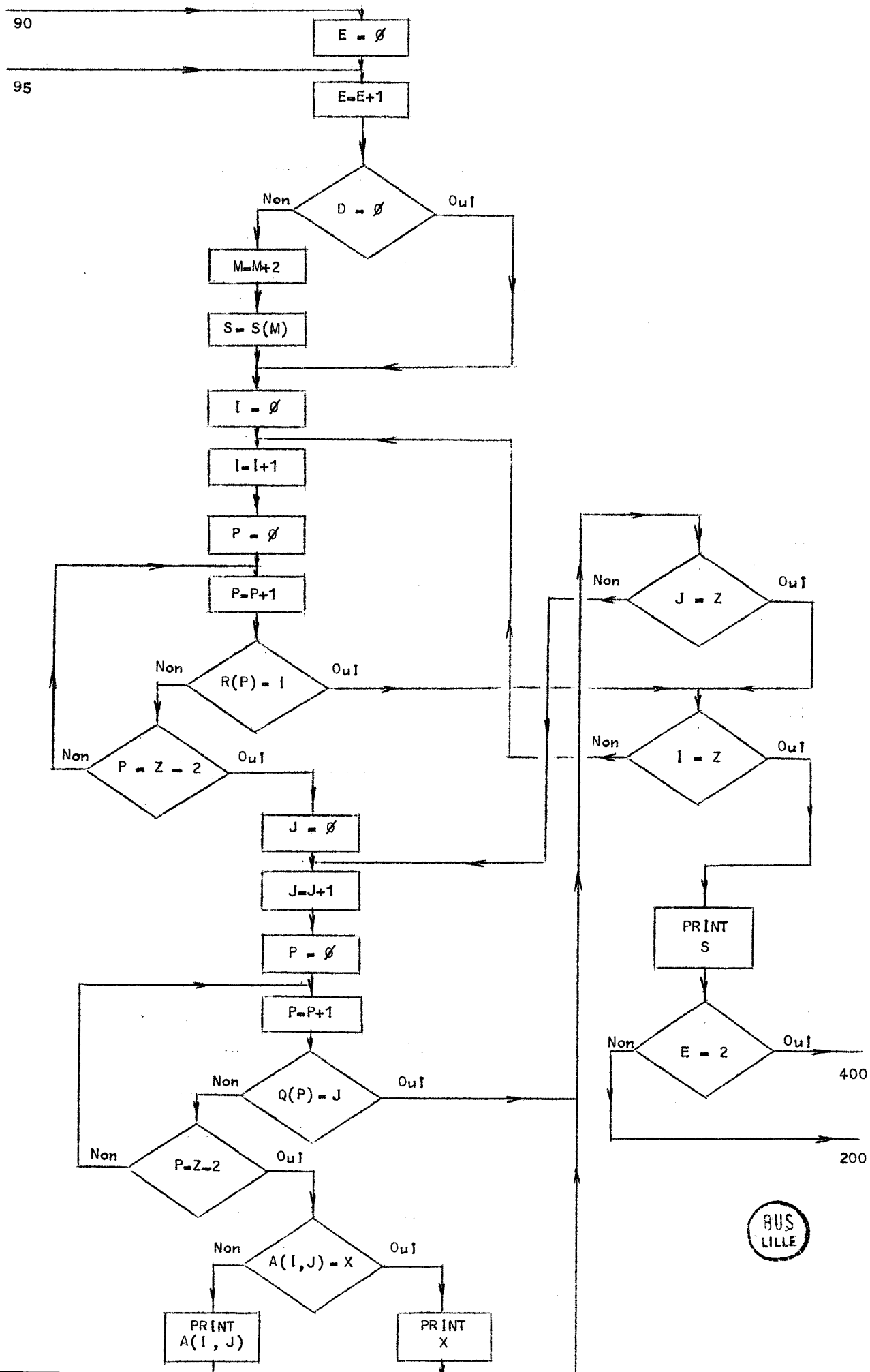
IGNIZIO , WYSKIDA , WILHELM (Réf. 40)

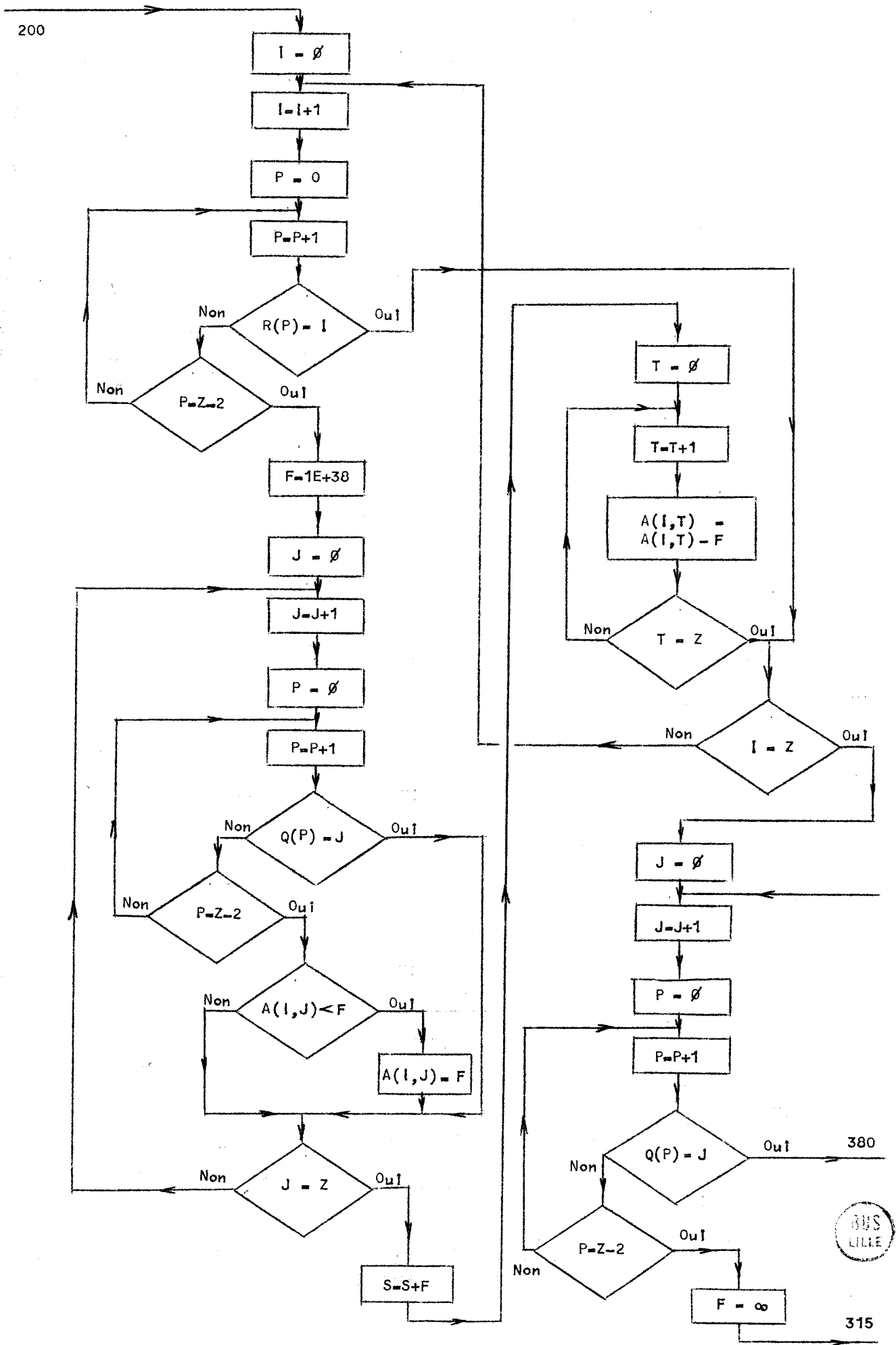
A N N E X E S
— * * * * * —

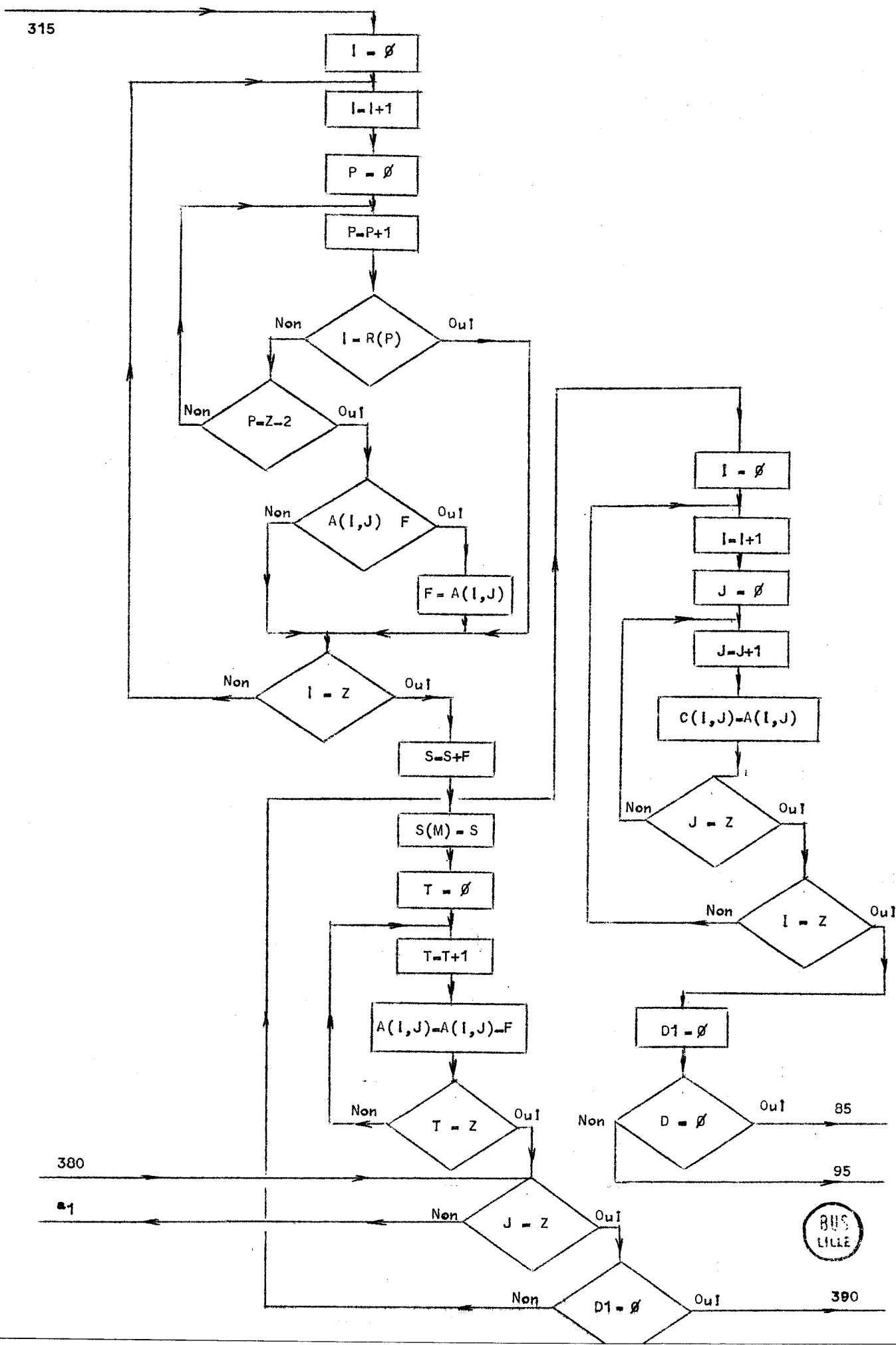
ANNEXE A1

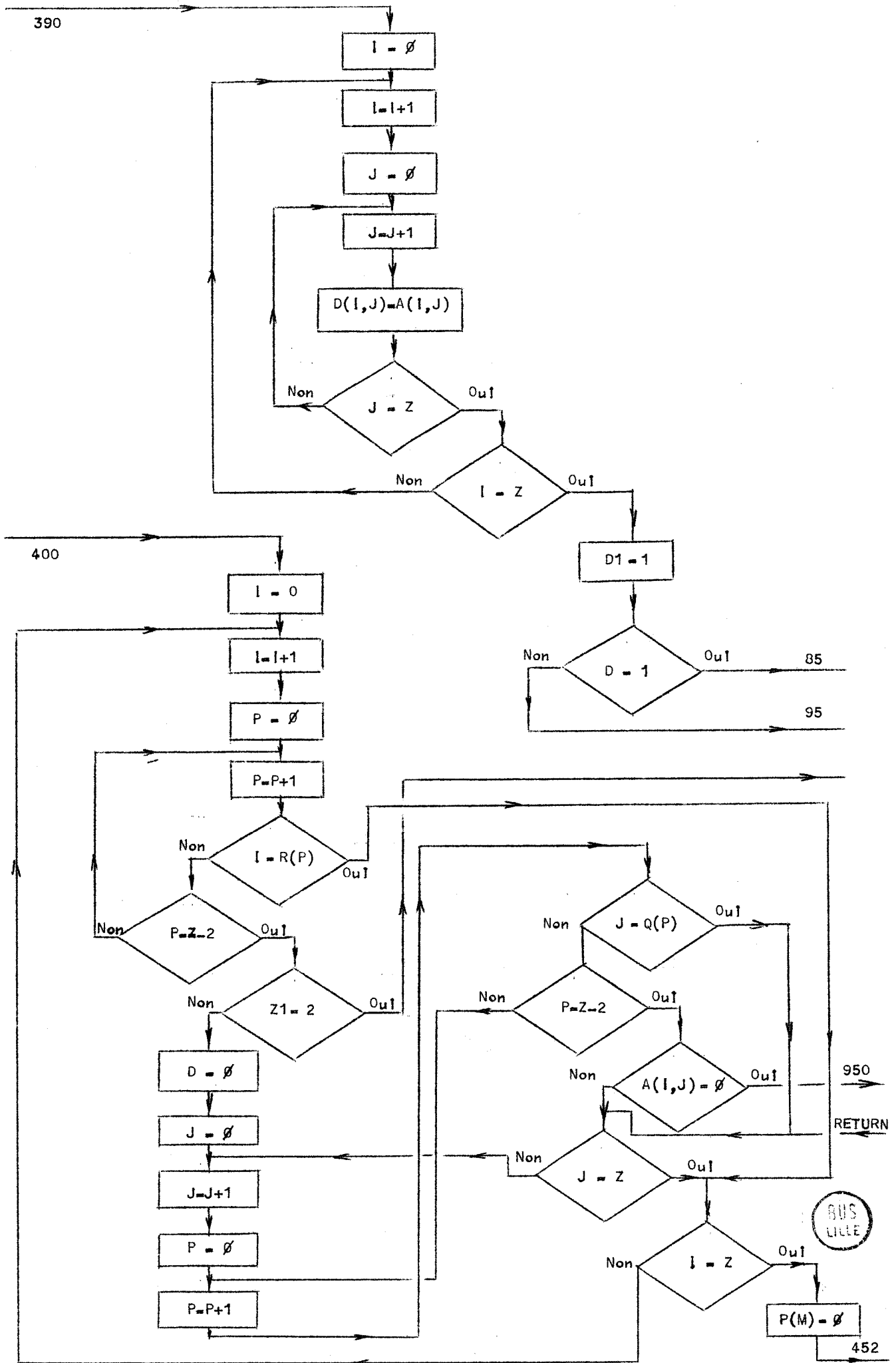


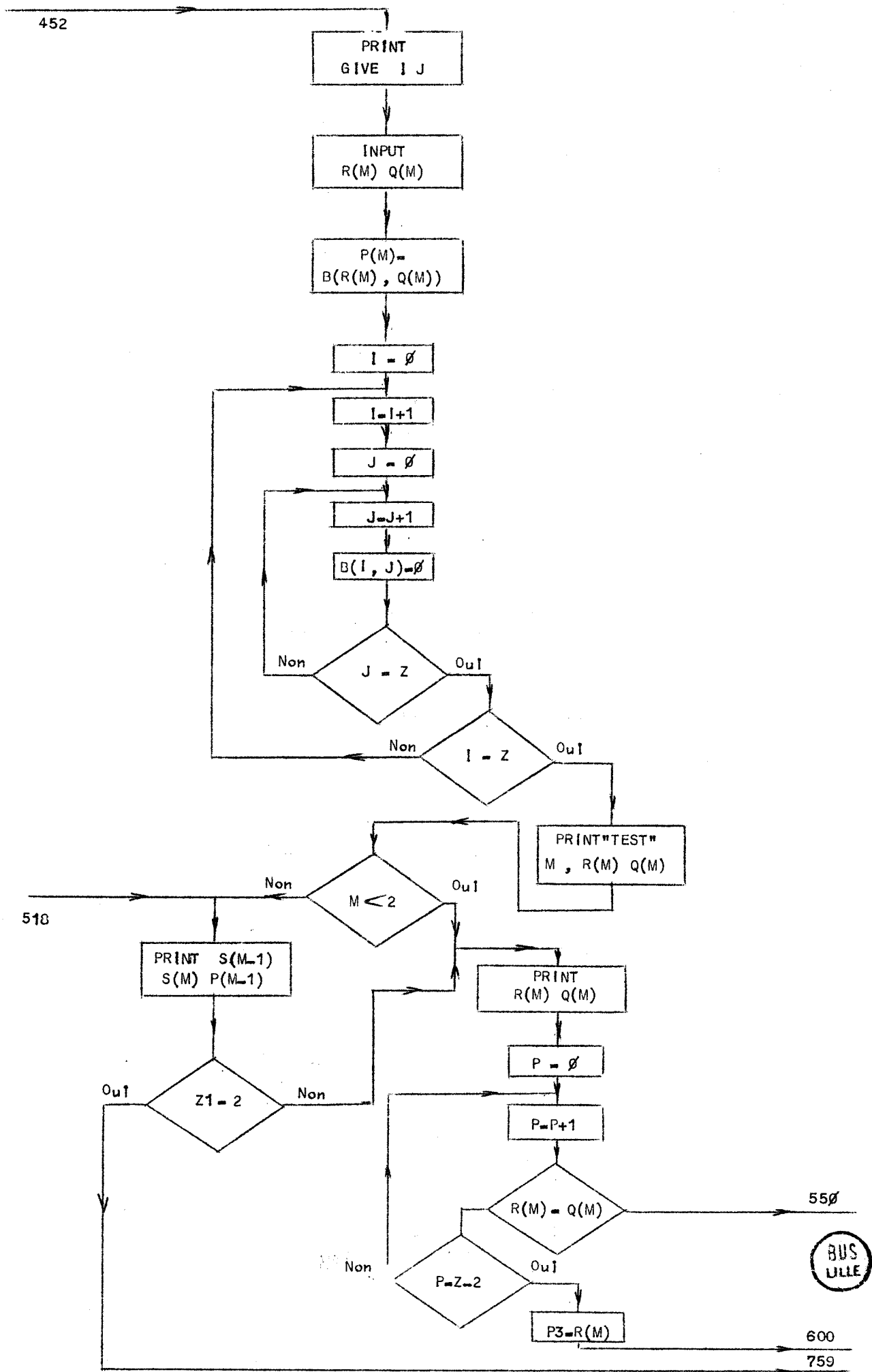
BUS
LILLE

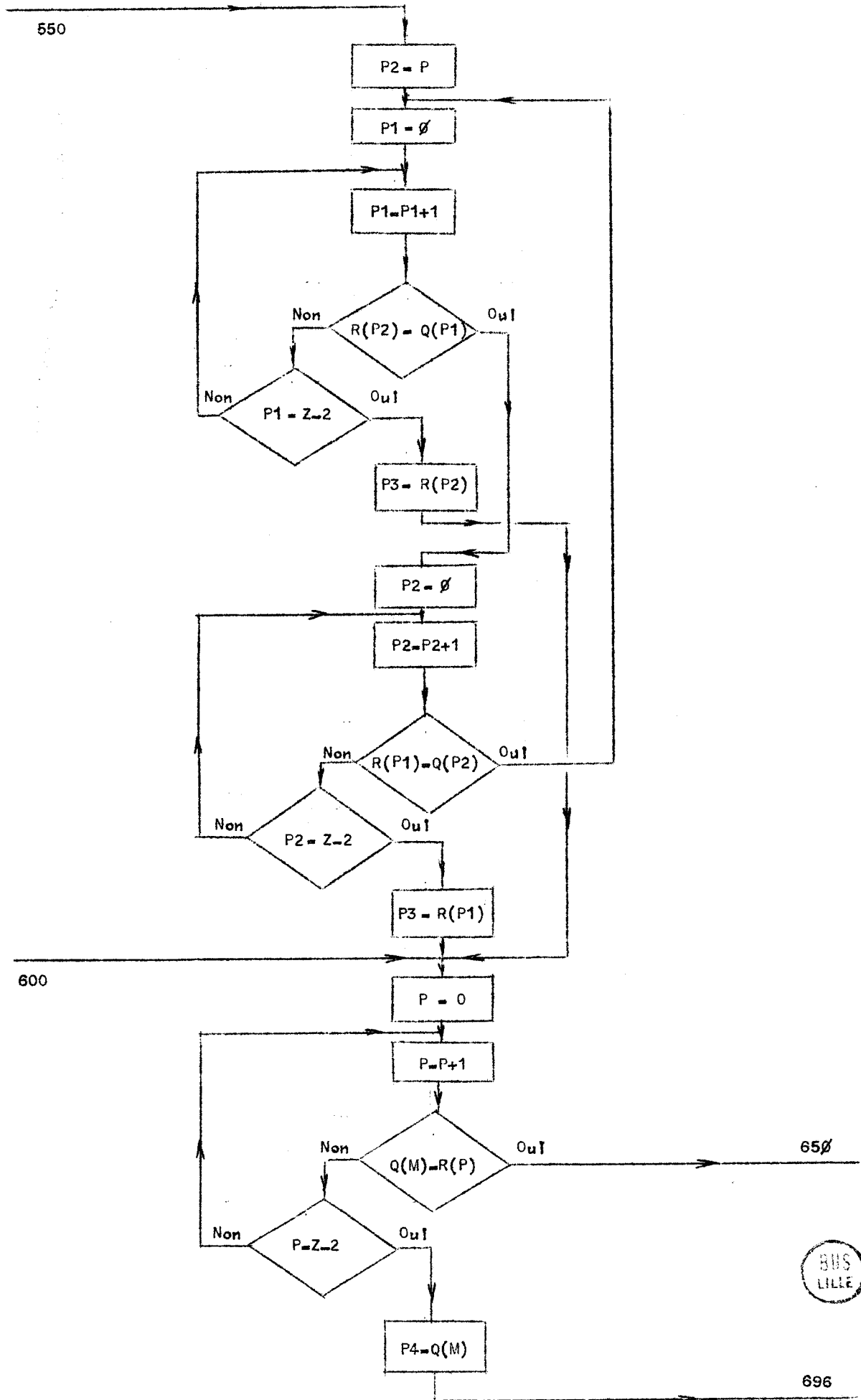




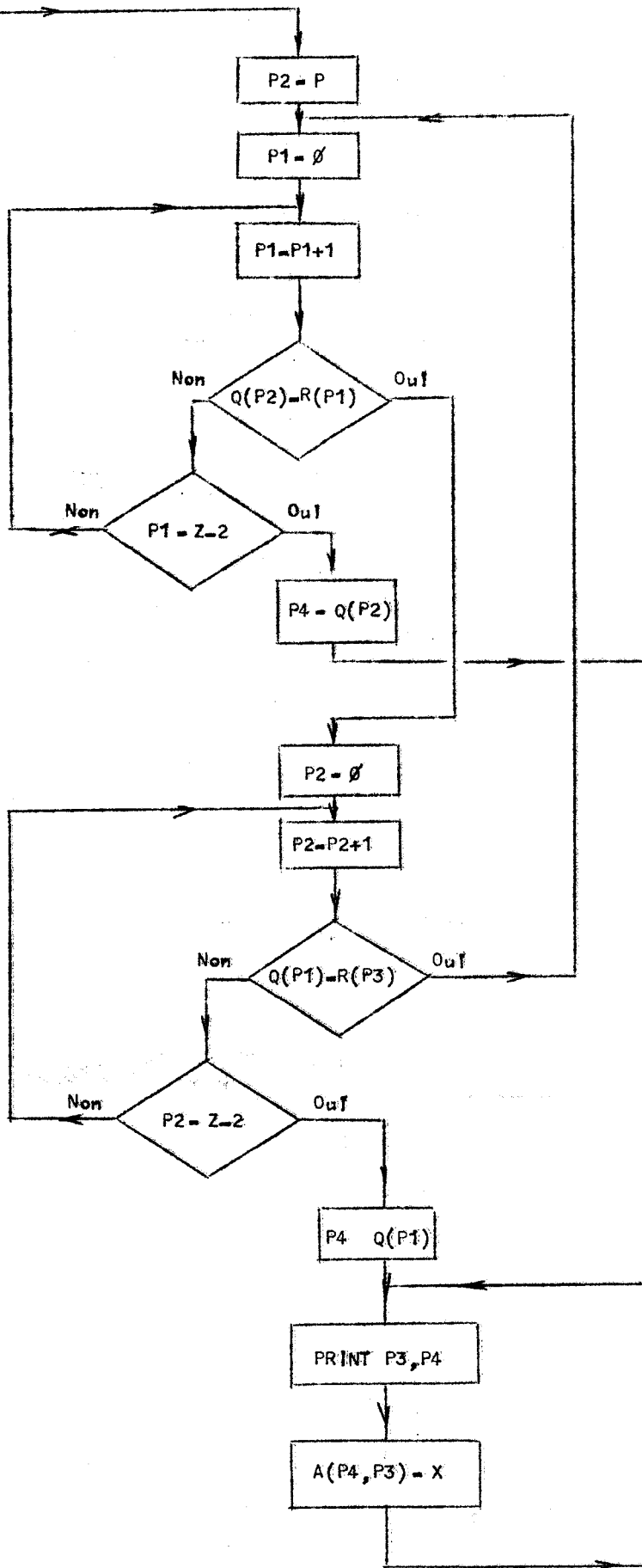




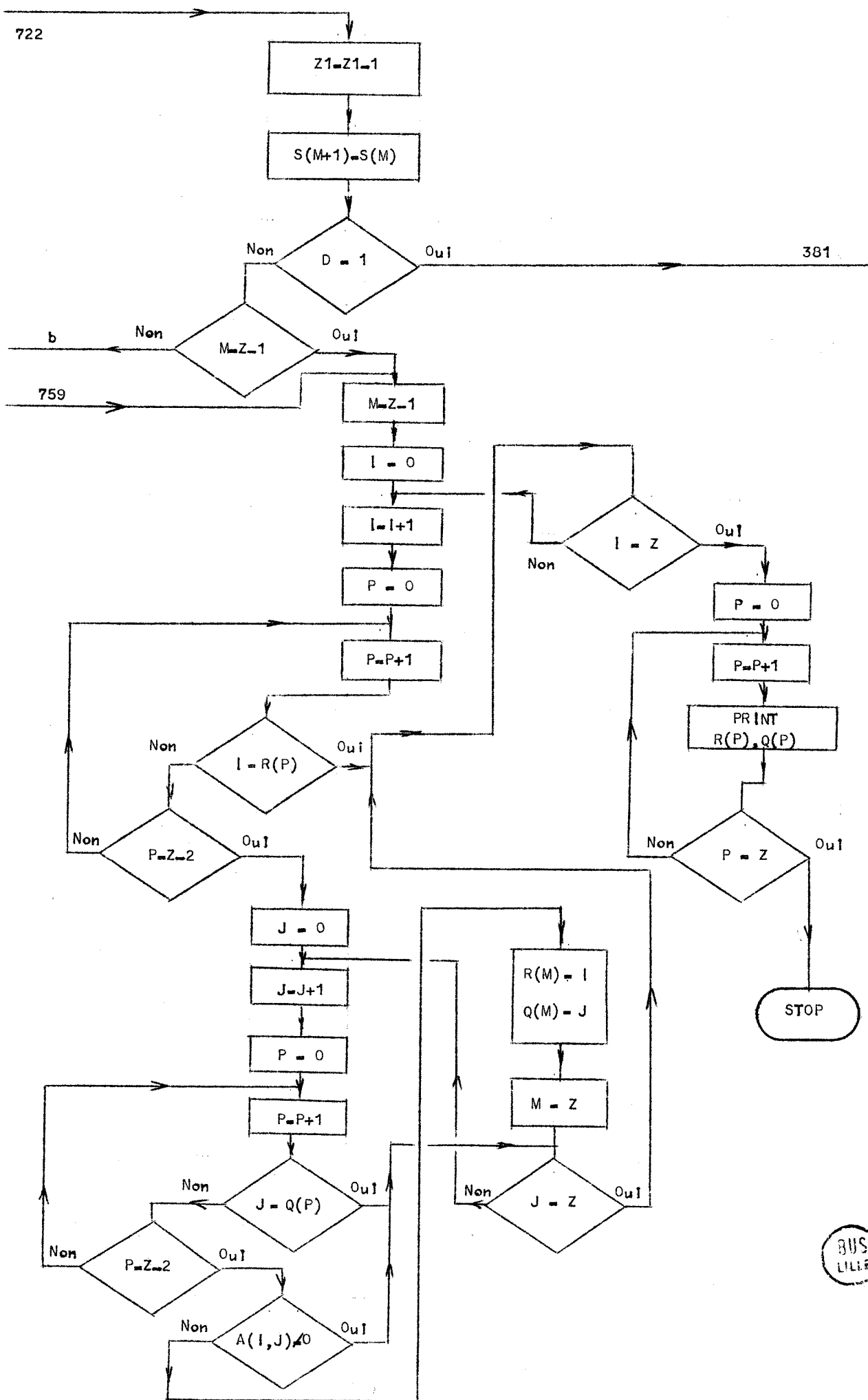




650

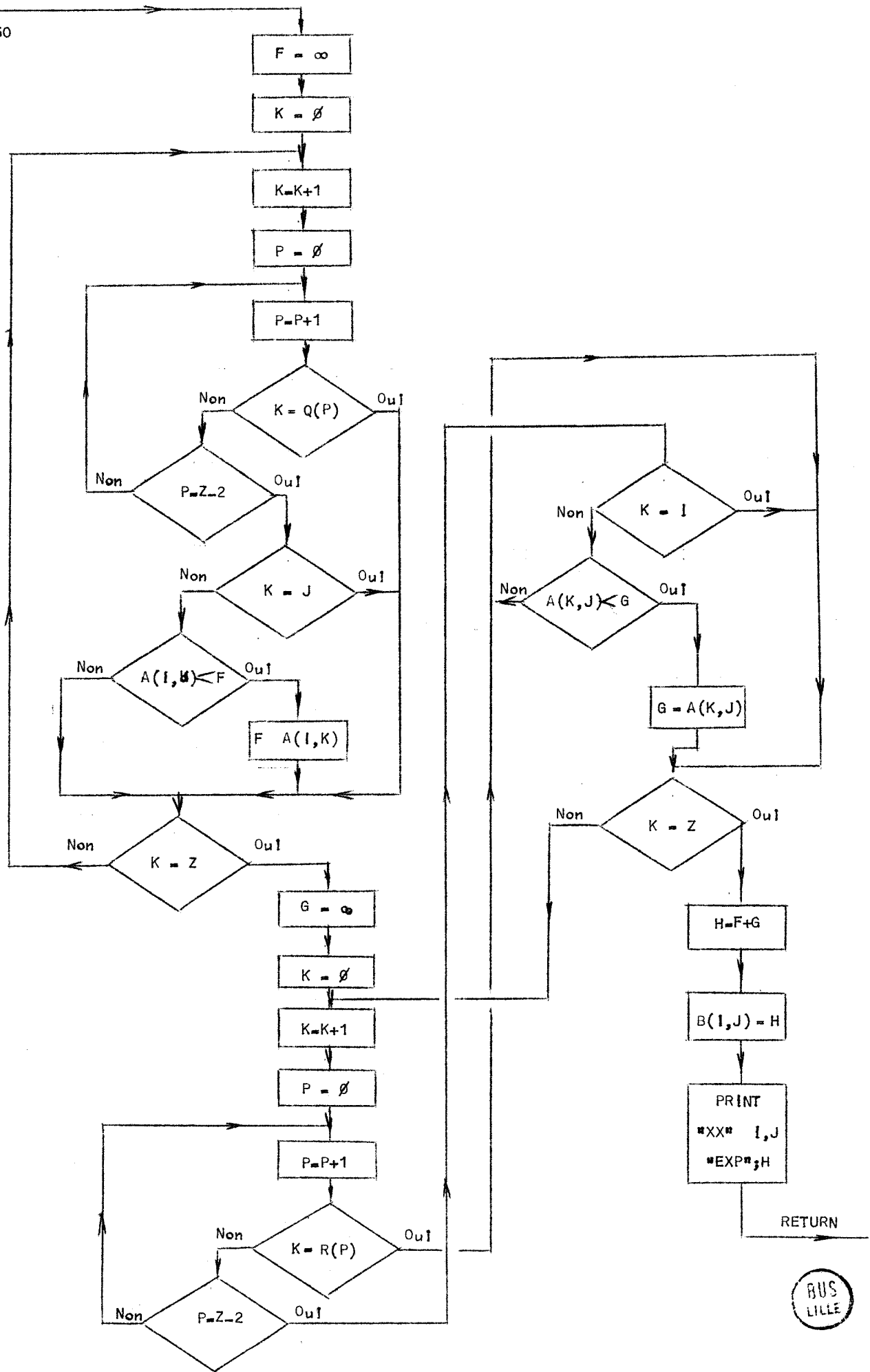


722



BUS LILLE

950



ANNEXE A2

```
8   DIM D(10,10)
10  DIM A(10,10),B(10,10)
11  DIM C(10,10)
12  DIM R(10),Q(10)
13  DIM P(10),S(10)
20  DATA
```

```
29  DATA
30  X = 1E + 38
33  Z = 9
34  Z1 = 9
35  FOR P = 1 TO Z - 2
36  R(P) = Ø
37  Q(P) = Ø
38  NEXT P
40  FOR I = 1 TO Z
45  FOR J = 1 TO Z
50  READ V
60  A(I,J) = V
70  NEXT J
80  NEXT I
82  D = Ø
85  FOR M = 1 TO Z - 1
87  S = S(M)
88  IF D = 1 THEN 95
90  E = Ø
95  E = E + 1
100 IF D = Ø THEN 11Ø
101 M = M + 2
102 S = S(M)
110 PRINT "M",M
111 FOR I = 1 TO Z
113 FOR P = 1 TO Z - 2
115 IF R(P) = I THEN 17Ø
117 NEXT P
120 FOR J = 1 TO Z
123 FOR P = 1 TO Z - 2
```

```
125 IF Q(P) = J THEN 150
127 NEXT P
130 IF A(I,J) = X THEN 145
140 PRINT A(I,J)
142 GOTO 150
145 PRINT "X"
150 NEXT J
160 PRINT
170 NEXT I
175 PRINT S
180 PRINT
190 ON E GOTO 200,400
200 FOR I = 1 TO Z
201 FOR P = 1 TO Z - 2
202 IF R(P) = I THEN 280
203 NEXT P
205 F = 1E + 38
210 FOR J = 1 TO Z
211 FOR P = 1 TO Z - 2
212 IF J = Q(P) THEN 230
213 NEXT P
220 IF A(I,J) < F THEN F = A(I,J)
230 NEXT J
235 S = S + F
240 FOR T = 1 TO Z
250 A(I,T) = A(I,T) - F
260 NEXT T
280 NEXT I
300 FOR J = 1 TO Z
301 FOR P = 1 TO Z - 2
302 IF Q(P) = J THEN 380
303 NEXT P
310 F = 1E + 38
315 FOR I = 1 TO Z
316 FOR P = 1 TO Z - 2
317 IF I = R(P) THEN 330
318 NEXT P
320 IF A(I,J) < F THEN F = A(I,J)
330 NEXT I
340 S = S + F
```

```
345 S(M) = S
350 FOR T = 1 TO Z
360 A(T,J) = A(T,J) - F
370 NEXT T
380 NEXT J
381 IF D1 = Ø THEN 39Ø
382 FOR I = 1 TO Z
383 FOR J = 1 TO Z
384 C(I,J) = A(I,J)
385 NEXT J
386 NEXT I
387 D1 = Ø
388 IF D = 1 THEN 85
389 GOTO 95
390 FOR I = 1 TO Z
391 FOR J = 1 TO Z
392 D(I,J) = A(I,J)
393 NEXT J
394 NEXT I
395 D1 = 1
396 IF D = 1 THEN 85
398 GOTO 95
400 FOR I = 1 TO Z
401 FOR P = 1 TO Z - 2
402 IF I = R(P) THEN 44Ø
403 NEXT P
404 IF Z1 = 2 THEN 518
405 D = Ø
410 FOR J = 1 TO Z
411 FOR P = 1 TO Z - 2
412 IF J = Q(P) THEN 43Ø
413 NEXT P
420 IF A(I,J) = Ø THEN GOSUB 95Ø
430 NEXT J
440 NEXT I
450 P(M) = Ø
452 PRINT "GIVE I AND J"
```

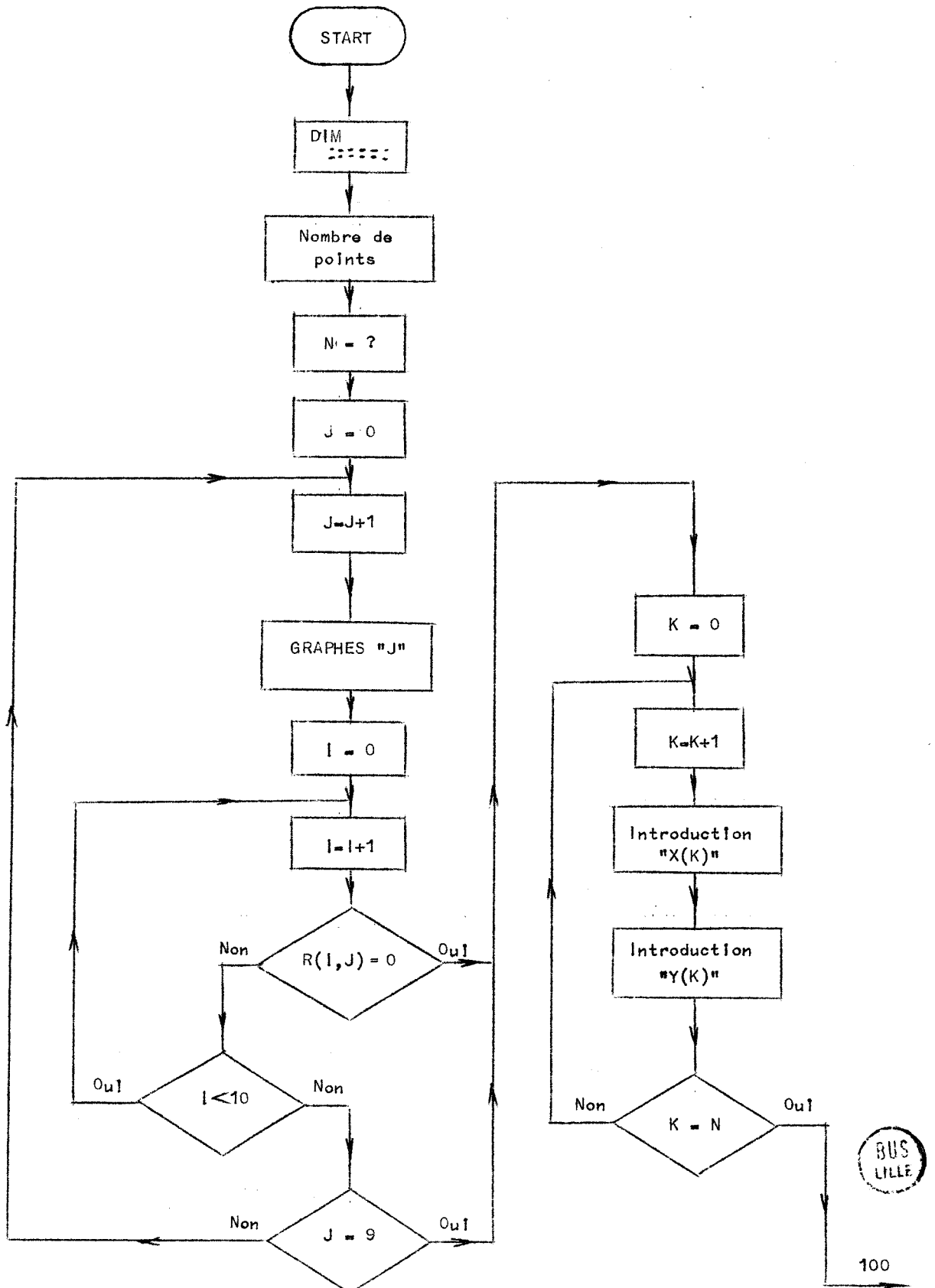
```
453 INPUT R(M),Q(M)
454 P(M) = B(R(M),Q(M))
455 FOR I = 1 TO Z
456 FOR J = 1 TO Z
457 B(I,J) = Ø
458 NEXT J
459 NEXT I
460 GOTO 516
516 PRINT "TEST" M,R(M),Q(M)
517 IF M<2 THEN 526
518 PRINT S(M - 1),S(M),P(M - 1)
519 IF Z1 = 2 THEN 759
526 PRINT R(M),Q(M)
530 FOR P = 1 TO Z - 2
535 IF R(M) = Q(M) THEN 55Ø
540 NEXT P
545 P3 = R(M)
546 GOTO 6ØØ
550 P2 = P
555 FOR P1 = 1 TO Z - 2
560 IF R(P2) = Q(P1) THEN 58Ø
565 NEXT P1
570 P3 = R(P2)
575 GOTO 6ØØ
580 FOR P2 = 1 TO Z - 2
585 IF R(P) = Q(P) THEN 555
590 NEXT P2
595 P3 = R(P1)
596 GOTO 6ØØ
600 FOR P = 1 TO Z - 2
635 IF Q(M) = R(P) THEN 65Ø
640 NEXT P
645 P4 = Q(M)
646 GOTO 696
650 P2 = P
655 FOR P1 = 1 TO Z - 2
```

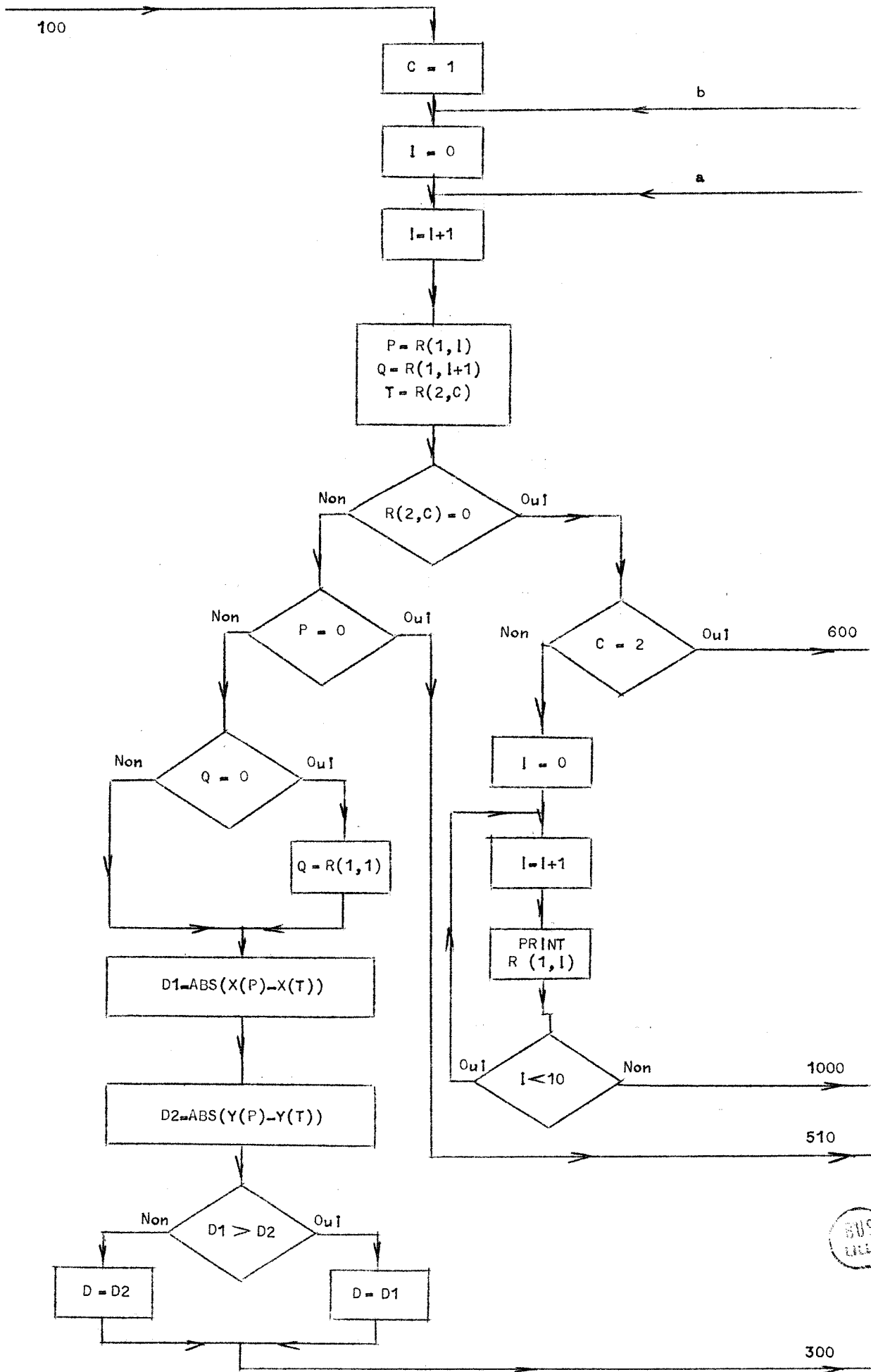


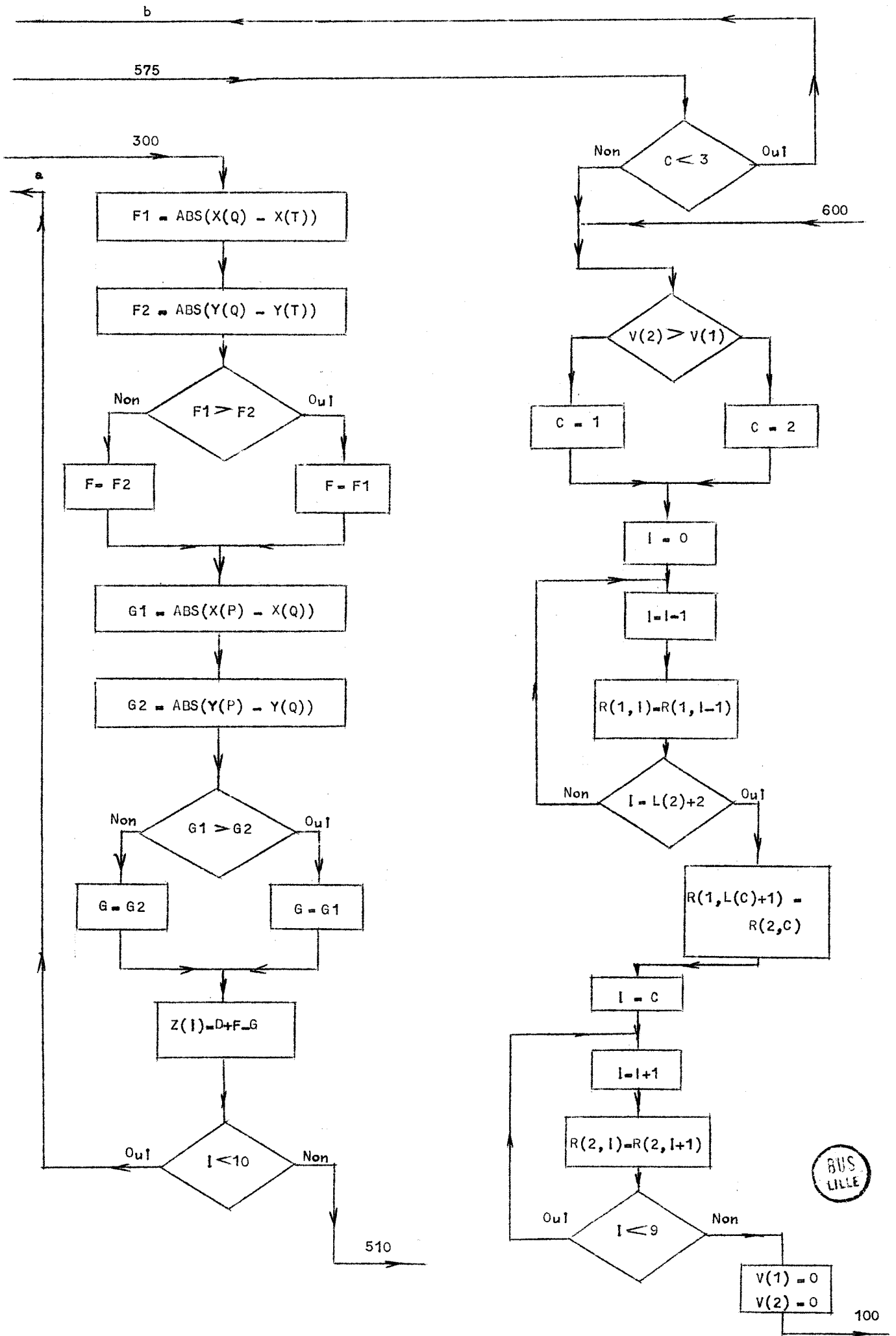
```
660 IF Q(P2) = R(P1) THEN 680
665 NEXT P1
670 P4 = Q(P2)
675 GOTO 696
680 FOR P2 = 1 TO Z - 2
685 IF Q(P1) = R(P2) THEN 655
690 NEXT P2
695 P4 = Q(P1)
696 PRINT P3,P4
697 A(P4,P3) = X
698 GOTO 722
722 Z1 = Z1 - 1
748 S(M + 1) = S(M)
749 IF D = 1 THEN 381
750 NEXT M
759 M = Z - 1
760 FOR I = 1 TO Z
762 FOR P = 1 TO Z - 2
764 IF I = R(P) THEN 780
766 NEXT P
768 FOR J = 1 TO Z
770 FOR P = 1 TO Z - 2
771 IF J = Q(P) THEN 778
772 NEXT P
773 IF A(I,J) < > 0 THEN 778
775 R(M) = I
776 Q(M) = J
777 M = Z
778 NEXT J
780 NEXT I
800 FOR P = 1 TO Z
802 PRINT R(P),Q(P)
804 NEXT P
900 END
950 F = 1E + 38
960 FOR K = 1 TO Z
961 FOR P = 1 TO Z - 2
```

```
963  IF K = Q(P) THEN 980
964  NEXT P
970  IF K = J THEN 980
975  IF A(I,K) < F THEN F = A(I,K)
980  NEXT K
985  G = 1E + 38
990  FOR K = 1 TO Z
991  FOR P = 1 TO Z - 2
993  IF K = R(P) THEN 1010
994  NEXT P
995  IF K = I THEN 1010
1000 IF A(K,J) < G THEN G = A(K,J)
1010 NEXT K
1020 H = F + G
1030 B(I,J) = H
1035 PRINT "XX" ,I,J," EXP =" ; H
1040 RETURN
```

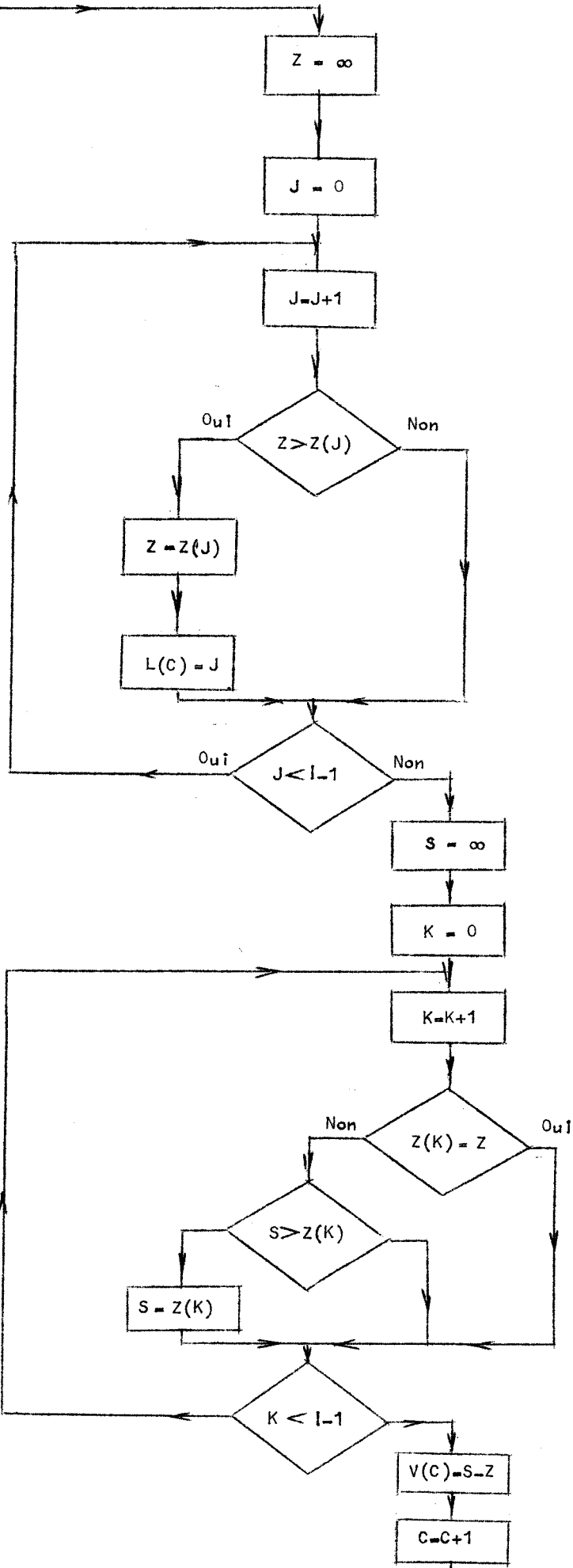
ANNEXE B1

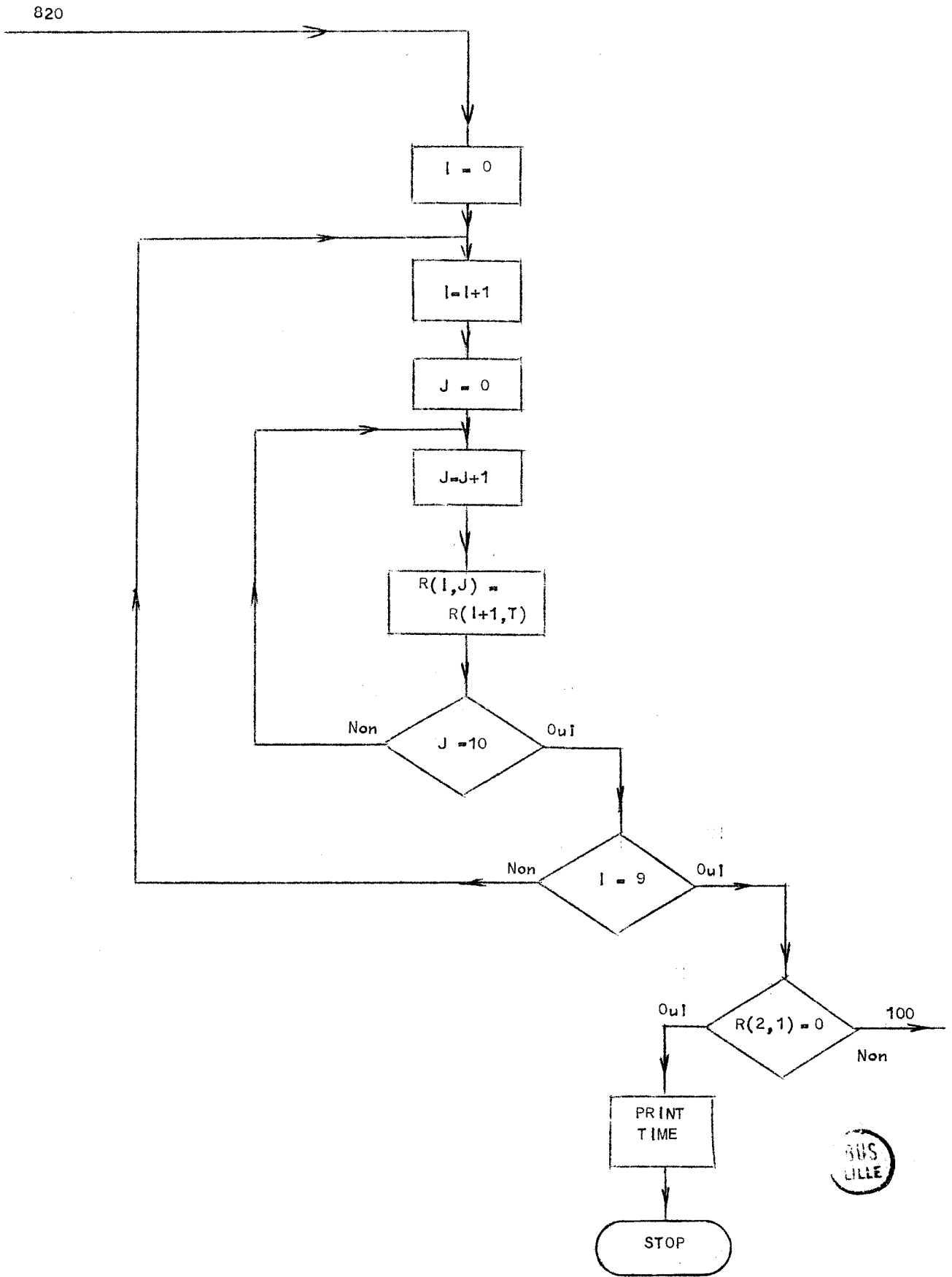


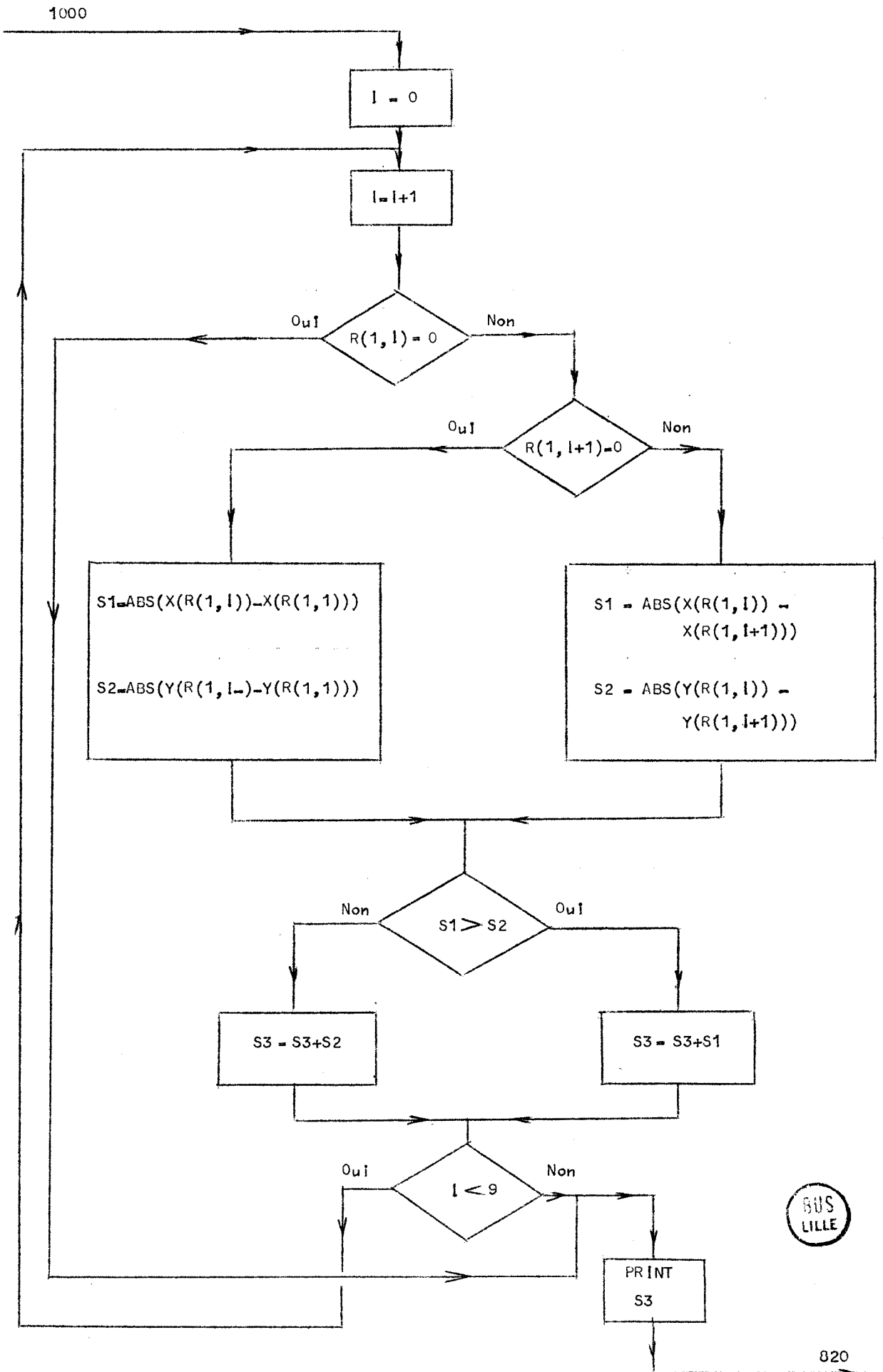




510







ANNEXE B2

```
5   DIM R(10,10),X(10),Y(10),Z(10)L(2)
6   DIM V(2)
20  PRINT "Nombre de points"
21  INPUT N
25  FOR J = 1 TO 9
30  PRINT "GRAPHE" ; J
35  FOR I = 1 TO 10
40  INPUT R(J,I)
41  IF R(J,I) = 0 THEN 55
45  NEXT I
50  NEXT J
55  FOR K = 1 TO N
60  PRINT "GIVE X ( " ; K ; " )"
65  INPUT X(K)
70  PRINT "GIVE Y ( " ; K ; " )"
75  INPUT Y(K)
80  NEXT K
90  TI $ = "000000"
100 C = 1
110 FOR I = 1 TO 10
115 P = R(1,I)
120 Q = R(1,I+1)
125 T = R(2,C)
130 IF R(2,C) = 0 THEN 138
135 GOTO 155
138 IF C = 2 THEN 600
140 GOTO 800
155 IF P = 0 THEN 510
160 IF Q = 0 THEN Q = R(1,1)
165 D1 = ABS(X(P) - X(T))
170 D2 = ABS(Y(P) - Y(T))
175 IF D1 > D2 THEN 200
180 D = D2
190 GOTO 300
200 D = D1
300 F1 = ABS(X(Q) - X(T))
305 F2 = ABS(Y(Q) - Y(T))
310 IF F1 > F2 THEN 350
```

```
315   F = F2
320   GOTO 400
350   F = F1
400   G1 = ABS(X(P) - X(Q))
405   G2 = ABS(Y(P) - Y(Q))
410   IF G1 > G2 THEN 450
415   G = G2
420   GOTO 500
450   G = G1
500   Z(I) = D + F - G
505   NEXT I
510   Z = 1E + 38 (∞)
515   FOR J = 1 TO I - 1
520   IF Z > Z(J) THEN 522
521   GOTO 530
522   Z = Z(J)
525   L(C) = J
530   NEXT J
535   S = 1E + 38
540   FOR K = 1 TO I - 1
545   IF Z(K) = z THEN 555
550   IF S > Z(K) THEN S = Z(K)
555   NEXT K
560   V(C) = S - Z
570   C = C + 1
575   IF C < 3 THEN 110
600   IF V(2) > V(1) THEN 650
610   C = 1
615   GOTO 700
650   C = 2
700   FOR I = 10 TO L(C) + 2 STEP - 1
705   R(1,I) = R(1,I - 1)
710   NEXT I
715   R(1,L(C) + 1) = R(2,C)
720   FOR I = C TO 9
725   R(2,I) = R(2,I + 1)
730   NEXT I
740   V(1) = 0
745   V(2) = 0
750   GOTO 100
800   FOR I = 1 TO 10
```

```
800 PRINT R(1,I); " ";
810 NEXT I
812 S3 = 0
815 GOSUB 1000
820 FOR I = 2 TO 10
825 FOR J = 1 TO 10
830 R(I,J) = R(I + 1,J)
835 NEXT J
840 NEXT I
845 IF R(2,1) = 0 THEN 850
847 GOTO 1000
850 PRINT TI/60; "sec"
860 END
1000 FOR I = 1 TO 9
1002 IF R(1,I) = 0 THEN 1035
1003 IF R(1,I + 1) = 0 THEN 1022
1010 S1 = ABS(X(R(1,I)) - X(R(1,I + 1)))
1020 S2 = ABS(Y(R(1,I)) - Y(R(1,I + 1)))
1021 GOTO 1025
1022 S1 = ABS(X(R(1,I)) - X(R(1,1)))
1023 S2 = ABS(Y(R(1,I)) - Y(R(1,1)))
1025 IF S1 > S2 THEN 1029
1026 S3 = S3 + S2
1027 GOTO 1030
1029 S3 = S3 + S1
1030 NEXT I
1035 PRINT S3
1040 RETURN
```

```
*****
*****
*
```

REFERENCES

- (1) ACKOFF - TSASIENI
Fundamentals of Operations Research.
Wiley International Edition (1968)
- (2) CHRISTOFIDES N
Graph Theory
An algorithmic approach.
Academic Press (1975)
- (3) COOPER - STEINBERG
Introduction to Methods of Optimization
Saunders Company (1970)
- (4) COTTLE RW - FRARUP J
Optimization Methods
English University Press Ltd London (1974)
- (5) FAURE R
Précis de recherche opérationnelle
Dunod (1978)
- (6) GOLDSTEIN E - YODINE D
Problèmes particuliers de la programmation linéaire
Editions de Moscou (1973)
- (7) HERROELEN W
Heuristische Programmatie
Aurelia Books Louven (1972)
- (8) KAUFMANN
Introduction à la combinatoire en vue des applications
Dunod (1968)
- (9) KAUFMANN - LABORDERE
Méthodes et Modèles de la recherche opérationnelle Tome 3
Dunod (1974)
- (10) MILLAU C
Mathematical Programming
Wiley and Sons (1970)

- (11) MITAL.KV.
Optimization Methods
Wiley-Eastern (1976)
- (12) LEIBOVICI - MOULLE
Recherche opérationnelle Tome 1
Cours ESE (1972)
- (13) NEMHAUSER - GARFINKEL
Integer Programming
Wiley and Sons (1972)
- (14) ORE O
Les graphes et leurs applications
Collection 21 Sigma Dunod (1970)
- (15) PRICE W.
Graphs and Networks
London Butterworths (1971)
- (16) SCOTT J.
Combinatorial Programming
Spatial Analysis and Planning
Methuen and Co London (1971)
- (17) TAHA HAMDY
Operations Research an Introduction
Collier Mac Millan international edition (1978)
- (18) TAHA HAMDY
Integer Programming
Academic Press (1975)
- (19) TEN BROEKE
Operationele Research
Samson uitgeverij Brussel (1977)
- (20) VAN FRAJER HELMUT EISELT HORST
Operations Research Handbook
De Gruyter (1977)
- (21) WAGNER H
Principles of Operation Research
Prentice/Hall international (1972)
- (22) WATSON - GANDY - EILON - CHRISTOFIDES
Distribution Management Mathematical Modelling and Spatial analysis
Griffin London (1970)
- (23) ZOUTENDIJK G
Mathematical Programming Methods
North - Holland Publishing Company (1976)

- (24) BARACHET
Graphic solution of the travelling salesman problem
Op. Research 5 (1957)
- (25) BOWMAN - FETTER
Analysis of production and Operations Management
R.D. Irwin Inc Homewood Illinois (1967)
- (26) DANTZIG - FULKERSON - JOHNSON
Solution of a large scale travelling salesman problem
Op. Research 2 (1954)
- (27) EASTMAN, W
Linear programming with pattern constraints
PH D Dissertation Havard (1958)
- (28) FLOOD M.
The travelling salesman problem
Op. Research 4 (1956)
- (29) GILMORE - GOMORY
Sequencing a one state variable machine
A solvable case of the travelling salesman problem
Op. Research 12 (1964)
- (30) HELD - KARP
A dynamic programming approach to sequencing problems
SIAM Journal 10 (1962)
- (31) KARG - THOMPSON
A heuristic approach to solving travelling salesman problem
Mgmt Sci 10 (1964)
- (32) KUEHN A
Heuristic programming: A useful technique .../... for marketing.
Proceeding of the 45th National Conference of the American Marketing
Association
June 20, 21, 22 (1962)
- (33) KRUSKAL J
On the shortest spanning subtree of a graph and the travelling salesman
Problem. Proc. AM Math. Soc. 7 (1956) .
- (34) LIN S
Computer solutions of the travelling salesman problem
Bell-systems technique J 44 (1965)
- (35) LITTLE - MURTY - SWEWEY
An algorithm for the travelling salesman problem
Op. Research 11 (1963)

- (36) RAYMOND, IC.
Heuristic algorithm for the travelling salesman problem
IBM Journal of Research Development July (1969)
- (37) REITER, - SHERMAN.
Discrete Optimizing
SIAM Revue 13 (1965)
- (38) ROBERTS - FLORES.
An engineering approach to the travelling salesman problem
Mgmt Sc. 13 (1966)
- (39) SHAPIRO D.
Algorithms for the solution of the optimal cost travelling salesman
problem
ScD. Thesis Washington University St Louis (1966)
- (40) WYSKIDA - IGNIZIO - WILHELM.
A rationale for heuristic program selection and evaluation
Industrial Engineering 4 (1) January (1972)

*

